



# COMUNE DI ZAGAROLO

- UFFICIO TECNICO LL.PP. - VI<sup>a</sup> AREA -

**OGGETTO : RIQUALIFICAZIONE EDILIZIA DELL'ISTITUTO  
SECONDARIO DI PRIMO GRADO "A. TIBULLO"  
MEDIANTE SOSTITUZIONE DEL BLOCCO AULE  
SUD**

## **PROGETTO DEFINITIVO**

**LOCALITA' : Via Colle dei Frati, 7**

**Progettista:**  
Arch. Erasmo Di Girolamo

**R.U.P.:**  
Ing. Cesare Rinaldi

# 100

RELAZIONE TECNICA GENERALE  
E DI CALCOLO DELLE STRUTTURE

-

Giugno 2018

## SOMMARIO

1	PREMESSA.....	3
2	DESCRIZIONE GENERALE DELL'INTERVENTO.....	4
3	NORMATIVA DI RIFERIMENTO .....	8
4	GENERALITA' SUL METODO DI CALCOLO E ANALISI .....	10
5	AZIONI DI PROGETTO .....	11
5.1	PESI PROPRI STRUTTURALI .....	11
5.2	CARICHI PERMANENTI.....	11
5.3	SOVRACCARICHI ACCIDENTALI .....	12
5.1	CARICO DA NEVE .....	13
5.2	CARICO DA VENTO.....	14
5.3	AZIONE SISMICA.....	15
6	COMBINAZIONI DELLE AZIONI DI PROGETTO .....	21
6.1	COMBINAZIONE DELLE AZIONI STATICHE .....	21
6.2	COMBINAZIONE DELLE AZIONI SISMICHE.....	23
7	ANALISI STRUTTURALE.....	24
7.1	DESCRIZIONE DEL MODELLO.....	24
7.2	VERIFICA STATICA DELLE STRUTTURE .....	26
7.2.1	VERIFICA SOLAI LIGNEI .....	26
7.2.3	VERIFICA TRAVI LIGNEE.....	39
7.2.4	VERIFICA PILASTRO LIGNEO .....	55
7.2.5	VERIFICA STATICA PARETI LIGNEE (XLAM).....	57
7.2.6	VERIFICA SOLAIO ALLEGGERITO IN CALCESTRUZZO ARMATO.....	62
7.3	VERIFICA DINAMICA DELLE STRUTTURE.....	67
7.3.1	VERIFICA SISMICA PARETI IN XLAM .....	70
7.3.2	VERIFICA SISMICA PARETI IN CALCESTRUZZO ARMATO.....	85
8	CORRIDOIO DISTRIBUTIVO.....	96
8.1	CARICHI AGENTI.....	97
8.2	MODELLO FEM.....	97
8.3	VERIFICHE STRUTTURALI .....	99
8.3.1	COLLEGAMENTO TRAVI IPE 200 SECONDARIE.....	100

8.3.2	COLLEGAMENTO TRAVI IPE 200 PRINCIPALI.....	100
8.3.3	VERIFICA DEL NODO DI BASE DELLA COLONNA HEA 140.....	101
8.3.4	VERIFICA DEL NODO DI BASE DELLA COLONNA HEA 180.....	104

---

## **1 PREMESSA**

Il presente documento costituisce la relazione tecnica generale e di calcolo delle strutture della progettazione definitiva dell'intervento di *“Riqualificazione edilizia dell'Istituto secondario di primo grado “A. Tibullo”* sito in via Colle dei Frati 10, nel Comune di Zagarolo (RM).

---

## 2 DESCRIZIONE GENERALE DELL'INTERVENTO

L'edificio oggetto dell'intervento di riqualificazione e ampliamento, allo stato attuale, ha forma a ferro di cavallo, ed è sostanzialmente composto da 6 blocchi principali:

- Blocco atrio ingresso: si sviluppa su due piani fuori terra ed è interamente occupato dalla Scuola Media "A. Tibullo";
- Blocco aule Nord: ospita su tutto il piano terra e per la maggior parte del piano primo attività legate al Liceo Scientifico;
- Blocco aule Sud: ospita principalmente aule di tipo ordinario relative alla Scuola Media "A. Tibullo" e si sviluppa su due livelli fuori terra e risulta rialzato rispetto alla quota del terreno circostante;
- Blocco segreteria: si sviluppa parzialmente su quattro piani, di cui il primo occupato dal Liceo Scientifico, mentre i restanti occupati dalla Scuola Media. Al secondo piano, di appartenenza dell'Istituto "A. Tibullo", si trova l'Auditorium.
- Blocco spogliatoi;
- Blocco palestra.



Si riporta di seguito un'immagine dell'area di intervento.



---

Il progetto di Riqualificazione edilizia dell'Istituto secondario di primo grado "A. Tibullo" prevede la demolizione e ricostruzione del blocco aule sud, garantendo l'eliminazione di criticità statiche e di natura sismica di tale porzione di fabbricato, che non è mai stato oggetto di interventi di miglioramento sismico. Tale intervento consente, inoltre, di ottenere maggiori spazi per l'attività didattica e risolvere problematiche di sicurezza per gli studenti.

La vetustà dell'edificio determina l'economicità della ricostruzione di tale blocco, al posto di un intervento di adeguamento o miglioramento sismico ed inoltre, si possono ottenere molteplici vantaggi dal punto di vista funzionale. I punti chiave che determinano la scelta di operare con la demolizione e successiva ricostruzione sono i seguenti:

- Adeguare l'intero blocco sud alle vigenti normative (sismiche, igienico sanitarie, impiantistiche; ecc.) raggiungendo così un altro importante traguardo nei confronti della sicurezza sismica dell'intero complesso scolastico;
- Rivedere il layout distributivo adeguando alla vigente normativa tutte le aule e ottenendone una in più per ogni piano;
- Ricavare un piano interrato in cui poter collocare dei laboratori, sfruttando il vantaggio che parte dello scavo risulta esser già stato fatto;
- Riorganizzare planimetricamente il blocco in modo da allargare e rendere più comodo l'esistente accesso carraio e prevedere un'area di sosta per i pulmini scolastici;
- Realizzare un foyer di collegamento tra il nuovo blocco aule sud/blocco ingresso ed il blocco spogliatoi, in modo che i ragazzi riescano a raggiungere gli spogliatoi, la palestra e la mensa, attualmente in corso di realizzazione al di sotto dell'ala sud-ovest, tramite un percorso sicuro e coperto, senza obbligatoriamente passare davanti agli uffici amministrativi che, per quanto possibile, richiederebbero privacy e silenzio;
- Prevedere, già in questa fase, strutture adeguate ad un'eventuale sopraelevazione di un piano dell'intero blocco, con la possibilità quindi di ricavare, con una minima spesa, altre 7 aule didattiche;
- Riqualificare l'area esterna compresa tra i blocchi: ingresso, aule sud, spogliatoi e palestra, al fine di creare un'area a verde a disposizione degli studenti e ricavare dei parcheggi interni adeguati ed ordinati, tra cui un posto riservato ai disabili.

---

Il nuovo blocco presenta una pianta pressoché rettangolare di dimensioni circa 38,80x18,05 m e si sviluppa su tre livelli, di cui due fuori terra, a quota +1,63 m e +5,28 m ed uno interrato, a quota -2.02 m. L'ingresso principale all'edificio scolastico viene confermato lungo Via Colle dei Frati e si trova a quota +0.00 m, da questo sarà possibile accedere al nuovo blocco sud, tramite un blocco scale ed un ascensore, che collegherà tutti i livelli.

Il piano ammezzato ed il piano primo del nuovo volume sono dedicati alle aule didattiche, sono entrambi organizzati mediante un corridoio distributivo centrale su cui si affacciano sette aule, tutte almeno di 45,00 mq, di cui tre addirittura superiori a 50,00 mq.

Agli estremi del prospetto est sono collocati due vani scala, entrambi dotati di filtro antifumo e che collegano tutti i livelli. Il blocco scale principale, accessibile dall'ingresso, condurrà anche alla copertura in modo da garantire un percorso protetto e sicuro per il personale addetto alla manutenzione, mentre nel blocco scale più a sud è stata prevista, a quota -0,19 m, un'uscita di sicurezza che conduce direttamente al cortile che si affaccia lungo Via Colle dei Frati.

Sull'angolo sud-est, ad ogni piano, è prevista un'area dedicata ai servizi, in cui trovano posto due servizi igienici divisi per sesso, un servizio igienico per disabili ed un ripostiglio a disposizione del personale ausiliario. Un altro ripostiglio è stato inoltre ricavato in adiacenza all'ascensore.

La struttura del blocco oggetto della presente relazione è costituita principalmente dai seguenti elementi caratteristici:

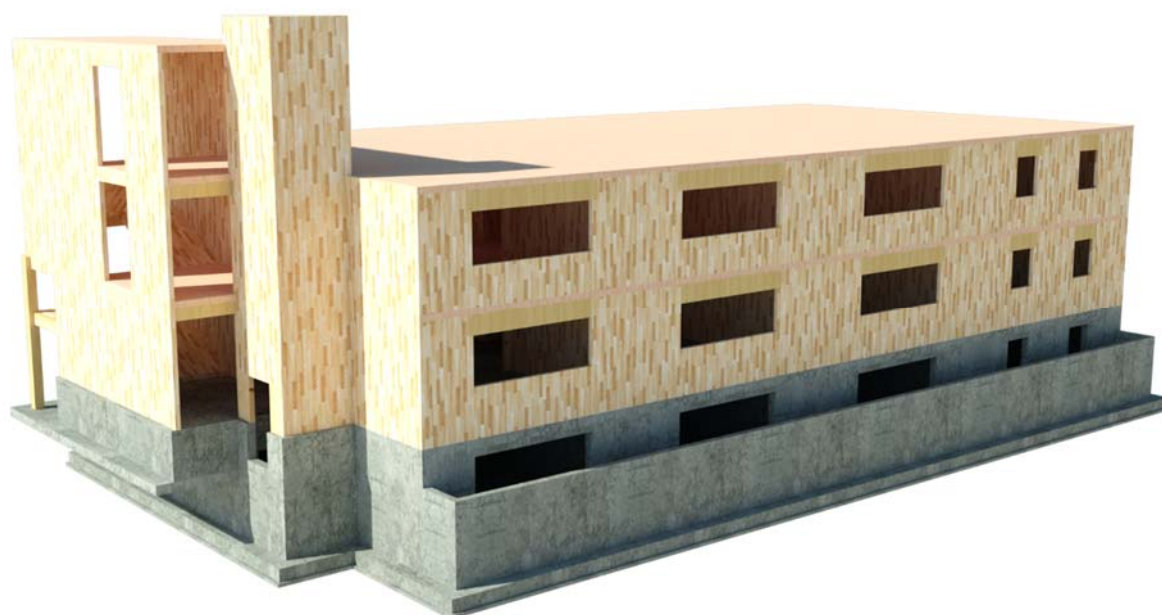
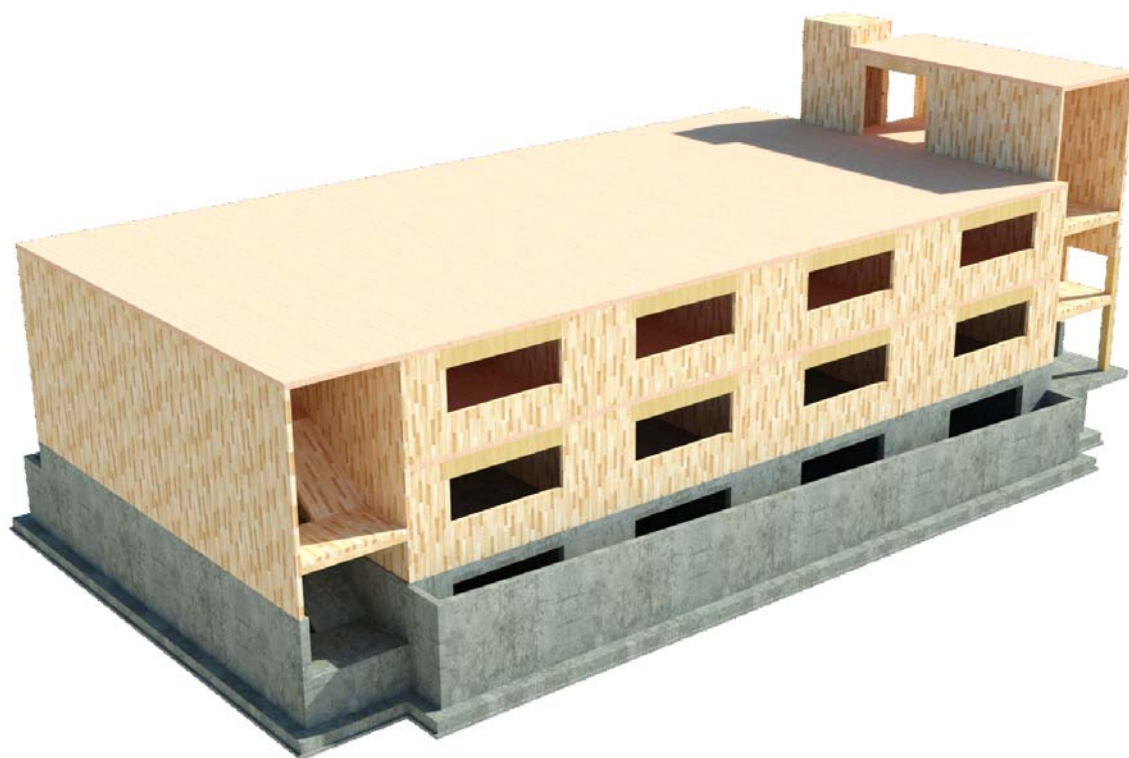
- Platea di fondazione in calcestruzzo armato, al di sotto del piano seminterrato, che permette una corretta ed omogenea ripartizione dei carichi al terreno sottostante;
- Diaframmi perimetrali e setti in calcestruzzo armato al piano seminterrato, con rampe di scale sempre in calcestruzzo armato;
- Solaio del piano terra costituito da una soletta in calcestruzzo armato alleggerita da elementi plastici prefabbricati a formare un piastra nervata bidirezionale. In vicinanza di bordi e setti saranno previste zone non alleggerite che garantiscono una maggiore rigidità e ripartizione dei carichi. Tale soletta garantisce inoltre la formazione del piano rigido per la trasmissione delle forze orizzontali derivanti dal sisma e dal vento.
- Pareti a pannelli in Xlam a 5 strati, perimetralmente a tutta altezza, mentre interamente di altezza pari all'interpiano;
- Solai di piano in lamellare sdraiato giuntati tra loro a formare un corretto piano rigido per la ripartizione delle forze sismiche e statiche orizzontali.

Il seguente progetto considera già l'eventuale sopraelevazione per poter, oltre a verificare le strutture a configurazione finale, predisporre le eventuali piastre di collegamento tra le strutture dell'ampliamento e quelle precedenti senza dover rimuovere eventuali finiture.

---

---

Si riportano di seguito delle immagini esplicative del progetto appena descritto.





---

### 3 NORMATIVA DI RIFERIMENTO

La presente relazione è stata approntata sulla base delle “Norme Tecniche per le Costruzioni” come da D.M. 17 gennaio 2018 “Aggiornamento delle Norme Tecniche per le Costruzioni”.

Non essendo stata redatta ad oggi la relativa Circolare Applicativa, per quanto non compiutamente descritto nel suddetto decreto, e non in contrasto con lo stesso si è fatto riferimento alle seguenti normative di comprovata affidabilità.

#### Strutture

- **D.M. 17 Gennaio 2018** – “Aggiornamento delle norme tecniche per le costruzioni”;
  - **D.M. 14 Gennaio 2008** – “Norme tecniche per le costruzioni”;
  - **Circ. n. 617 del 02 Febbraio 2009 C.S.LL.PP.** – “Circolare applicativa delle norme tecniche per le costruzioni”;
  - **L. 5 Novembre 1971 n. 1086** – “Norme per la disciplina delle opere in conglomerato cementizio armato, normale e precompresso ed a struttura metallica”;
  - **D.M. 9 Gennaio 1996** - “Norme tecniche per il calcolo, l’esecuzione ed il collaudo delle strutture in cemento armato, normale e precompresso e per le strutture metalliche” (relativamente al metodo di verifica agli Stati Limite);
  - **Circ. Min. LL. PP. 15 Ottobre 1996** – “Istruzioni per l’applicazione delle Norme Tecniche per il calcolo, l’esecuzione ed il collaudo delle strutture in cemento armato, normale e precompresso e per le strutture metalliche di cui al D.M. 09 Gennaio 1996” (relativamente al metodo di verifica agli Stati Limite);
  - **D.M. 16 Gennaio 1996** – “ Criteri generali per la verifica di sicurezza delle costruzioni e dei carichi e sovraccarichi”;
  - **UNI EN 1990** – “Eurocodice - Criteri generali di progettazione strutturale”;
  - **UNI EN 1991** – “Eurocodice 1 – Azioni sulle strutture”;
  - **UNI EN 1992** – “Eurocodice 2 – Progettazione delle strutture in calcestruzzo”;
  - **UNI EN 1993** – “Eurocodice 3 – Progettazione delle strutture in acciaio”;
  - **UNI EN 1995** – “Eurocodice 5 – Progettazione delle strutture in legno”;
  - **UNI EN 1997** – “Eurocodice 7 – Progettazione geotecnica”;
  - **UNI EN 1998** – “Eurocodice 8 – Progettazione delle strutture per la resistenza sismica”;
  - **D.M. 16 Gennaio 1996** – “Norme tecniche relative alle costruzioni sismiche”
  - **L. 02 febbraio 1974 n. 64** – “Provvedimenti per le costruzioni con particolari prescrizioni per le zone sismiche”;
  - **CNR-DT 206** – “Istruzioni per la progettazione, l’esecuzione ed il controllo di strutture di legno”.
-

---

### Materiali

- **D.P.R. 21/04/93 n. 246** – “Regolamento di attuazione della direttiva 89/106/CEE relativa ai prodotti da costruzione”;
- **UNI EN 206-1 Ottobre 2014** – “Calcestruzzo – Specificazione, prestazione, produzione e conformità”;
- **UNI 11104 Marzo 2004** – “Calcestruzzo – Specificazione, prestazione, produzione e conformità – Istruzioni complementari per l’applicazione delle EN 206-1”;
- **UNI EN 14080:2013** – “Strutture di legno – Legno lamellare incollato e legno massiccio – Requisiti”;
- **UNI EN 338:2009** – “Legno strutturale – Classi di resistenza”;
- **UNI EN 10025:2005** – “Prodotti laminati a caldo di acciai per impieghi strutturali”;
- **UNI EN ISO 898:2013** – “Caratteristiche meccaniche degli elementi di collegamento di acciaio”;
- **UNI 5132:1974** – “Elettrodi rivestiti per la saldatura ad arco degli acciai non legati e debolmente legati al manganese. Condizioni tecniche generali, simboleggiatura e modalità di prova”.

---

#### **4 GENERALITA' SUL METODO DI CALCOLO E ANALISI**

Il dimensionamento e la verifica delle strutture è eseguita con il metodo degli stati limite (S.L.U. e S.L.E.). Il calcolo delle sollecitazioni sulla struttura e il dimensionamento delle varie sezioni caratteristiche è stato condotto con i metodi della Scienza e della Tecnica delle Costruzioni. L'analisi strutturale adottata è di norma nell'ambito della teoria elastica lineare che ben rappresenta il comportamento globale dell'intera struttura. Nello spirito della verifica agli stati limite le strutture devono essere verificate sia in condizioni di carico prossimo a quello di rottura (Verifiche agli Stati Limite Ultimi), sia per livelli di carico di esercizio (Verifiche agli Stati Limite di Esercizio). Rispetto agli SLU devono essere verificate: la rottura per sollecitazioni normali, di taglio o di torsione, l'instabilità dell'equilibrio globale e locale. Rispetto agli S.L.E. deve essere limitata la deformabilità strutturale.

---

## 5 AZIONI DI PROGETTO

Si riportano in questo paragrafo i valori dei carichi di progetto utilizzati nelle analisi strutturali. In accordo con la vigente normativa, le azioni vengono divise in permanenti ( $g_1$  e  $g_2$ ) e accidentali.

### 5.1 PESI PROPRI STRUTTURALI

Peso specifico strutture in calcestruzzo armato	25.0	[kN/m <sup>3</sup> ]
Peso specifico strutture in acciaio	78.5	[kN/m <sup>3</sup> ]
Peso specifico strutture in legno	5.0	[kN/m <sup>3</sup> ]

### 5.2 CARICHI PERMANENTI

- SOLAIO LIGNEO COPERTURA

Macchinari	3.17	kN/mq
Sistema a verde copertura	1.00	kN/mq
Isolamento in EPS sp.12cm	0.10	kN/mq
Controsoffitto	0.15	kN/mq
Carichi appesi	0.30	kN/mq
tot	4.70	kN/mq

- SOLAIO LIGNEO DI PIANO

Pavimento in piastrelle	0.40	kN/mq
Massetto sabbia-cemento	0.93	kN/mq
Impianto radiante	0.14	kN/mq
Massetto alleggerito	0.80	kN/mq
Controsoffitto	0.15	kN/mq
Carichi appesi	0.30	kN/mq
tot	2.70	kN/mq

- RAMPE E PIANEROTTOLI LIGNEI

Piastrelle	0.40	kN/mq
Struttura gradino	0.425	kN/mq
Allettamento gradino	0.20	kN/mq
Controsoffitto	0.150	kN/mq
tot	1.20	kN/mq

- SOLAIO ALLEGGERITO IN C.A.

Pavimento in piastrelle	0.40	kN/mq
Massetto sabbia-cemento	0.93	kN/mq
Impianto radiante	0.14	kN/mq
Massetto alleggerito	0.80	kN/mq
Controsoffitto	0.15	kN/mq
Carichi appesi	0.30	kN/mq
tot	2.70	kN/mq

---

---

- **SOLAIO SOPRA PLATEA IN C.A.**

Pavimento in piastrelle	0.40	kN/mq
Massetto sabbia-cemento	0.93	kN/mq
Impianto radiante	0.14	kN/mq
Massetto alleggerito	0.80	kN/mq
Vespaio con elementi plastici	2.25	kN/mq
Isolamento in EPS sp.12cm	0.20	kN/mq
Membrane impermeabilizzanti e varie	0.30	kN/mq
tot	5.00	kN/mq

- **RAMPE E PIANEROTTOLI IN C.A.**

Piastrelle	0.40	kN/mq
Struttura gradino	2.13	kN/mq
Allettamento gradino	0.20	kN/mq
Controsoffitto	0.150	kN/mq
tot	2.88	kN/mq

- **PARETE STRUTTURALE**

Cappotto 12cm	0.20	kN/mq
Membrana e barriere varie	0.20	kN/mq
Controparete interna isolata con doppia lastra	0.20	kN/mq
Lastre ignifughe	0.30	kN/mq
tot	0.90	kN/mq

- **TAMPONAMENTO**

Cappotto 12cm	0.20	kN/mq
Membrana e barriere varie	0.20	kN/mq
Pannello in Xlam 16cm	0.80	kN/mq
Controparete interna isolata con doppia lastra	0.20	kN/mq
tot	1.40	kN/mq

- **VETRATE**

Si considera a favore di sicurezza un peso a metro quadrato di vetrata pari a 0.8 kN/m<sup>2</sup>

### **5.3 SOVRACCARICHI ACCIDENTALI**

Il sovraccarico accidentale viene determinato secondo NTC'18 in base alla destinazione d'uso dell'edificio o della porzione interessata, in particolare:

Cat.H	SOVRACCARICO COPERTURE	0.5 [kN/m <sup>2</sup> ]
Cat.C1	SOVRACCARICO AULE DIDATTICHE	3.0 [kN/m <sup>2</sup> ]
Cat.C1	SOVRACCARICO DISTRIBUTIVO	3.0 [kN/m <sup>2</sup> ]
Cat.C	SOVRACCARICO SCALE	4.0 [kN/m <sup>2</sup> ]

---

---

## 5.1 CARICO DA NEVE

Il carico accidentale verticale distribuito da neve è così determinato:

$$q_s = \mu_i \cdot q_{sk} \cdot C_E \cdot C_t$$

$\mu_i$  è il coefficiente di forma della copertura

$q_{sk}$  è il valore caratteristico di riferimento del carico da neve al suolo (kN/m<sup>2</sup>)

$C_E$  è il coefficiente di esposizione

$C_t$  è il coefficiente termico

$\mu_i = 0.8$  (copertura con  $0^\circ < \alpha < 30^\circ$ )

$q_{sk} = 0.71$  in kN/m<sup>2</sup> (Zona III,  $a_s = 303$  m slm)

$C_E = 1.0$  (Aree in cui non è presente una significativa rimozione di neve sulla costruzione prodotta dal vento, a causa del terreno, altre costruzioni o alberi)

$C_t = 1.0$  (Edificio ben isolato termicamente)

Il carico da neve di progetto diventa pertanto  $\rightarrow \mathbf{0.6 \text{ kN/m}^2}$

Nella fase prima della realizzazione della sopraelevazione tra il vano scale e la copertura piana vi è una zona di accumulo. Tale accumulo però risulta inferiore al sovraccarico relativo alle aule didattiche ed è quindi trascurabile nella fase intermedia.

---

## 5.2 CARICO DA VENTO

Il carico accidentale orizzontale distribuito da vento è così determinato:

$$p = q_b \cdot c_e \cdot c_p \cdot c_d$$

$q_b$  è la pressione cinetica di riferimento (in N/m<sup>2</sup>), calcolata come  $q_b = 1/2 \cdot \rho \cdot v_b^2$ ;

$\rho$  è la densità dell'aria assunta convenzionalmente costante e pari a 1.25 kg/m<sup>3</sup>;

$v_b$  è la velocità di riferimento del vento (in m/s);

$c_e$  è il coefficiente di esposizione, dato dalla formula:

$$c_e(z) = \begin{cases} k_r^2 \cdot c_t \cdot \ln(z/z_0) \cdot [7 + c_t \cdot \ln(z/z_0)] & \text{per } z \geq z_{\min} \\ c_e(z_{\min}) & \text{per } z < z_{\min} \end{cases}$$

$c_p$  è il coefficiente di forma (o aerodinamico),

$c_d$  è il coefficiente dinamico, assunto pari ad 1 nelle costruzioni di tipologia ricorrente.

L'azione statica equivalente del vento è determinata nel modo seguente:

Comune di Zagarolo

Lazio

Zona 3

$v_{b,0} = 27$  [m/s]

$a_0 = 500$  [m]

$k_s = 0,37$  [1/s]

$T_R = 50$  anni

$\rho = 1,25$  [kg/m<sup>3</sup>]

$q_b = 0,46$  [kN/m<sup>2</sup>]

$c_d = 1$

Classe di rugosità B, Categoria di esposizione III  $\rightarrow C_E \approx 2.3$

$$P_e = q_b \cdot C_E \cdot c_d = 1.06 \text{ [kN/m}^2\text{]}$$

Facciata Sopravento:  $P_e^{(+)} = c_p \cdot P_e = 0.8 \cdot 1.06 = 0.85 \text{ [kN/m}^2\text{]}$

Facciata Sottovento/Copertura:  $P_e^{(-)} = c_p \cdot P_e = -0.4 \cdot 1.06 = -0.425 \text{ [kN/m}^2\text{]}$

---

---

### 5.3 AZIONE SISMICA

L'azione sismica è stata calcolata nel rispetto delle Norme Tecniche per le Costruzioni.

Si verifica la struttura soggetta all'azione sismica, valutata per lo stato limite di salvaguardia della Vita (SLV) e per lo stato limite di Danno (SLD).

Si adottano i parametri di calcolo ricavati dalle relazione geologica:

- 031-PE.OC.D.GL.31.00 Relazione Geologica

Per la verifica del comportamento sismico dei terreni di fondazione, come riporta la relazione geologica, sono state eseguite specifiche indagini per determinare la velocità di propagazione delle onde sismiche nel sottosuolo. Le indagini in sito sono consistite nell'esecuzione di n° 2 stendimento di sismica multicanale con acquisizione delle onde di superficie con elaborazione dei dati secondo la procedura MASW e di n° 1 indagine sismica passiva con metodo HVSR. Inoltre sono stati eseguiti n°2 sondaggi a carotaggio continuo di cui n°1 allestito Down Hole, l'altro con SPT in foro. Sono state svolte n°3 prove penetrometriche dinamiche DPSH e n°1 campione e prova di laboratorio per la caratterizzazione fisica e meccanica ei terreni di fondazione.

Mediante tali metodologie è stato possibile ricostruire l'andamento medio delle onde Vs in profondità ed eseguire la valutazione del parametro  $V_{s30}$  di sito al fine di classificare il terreno di fondazione e stimare la frequenza di risonanza di sito.

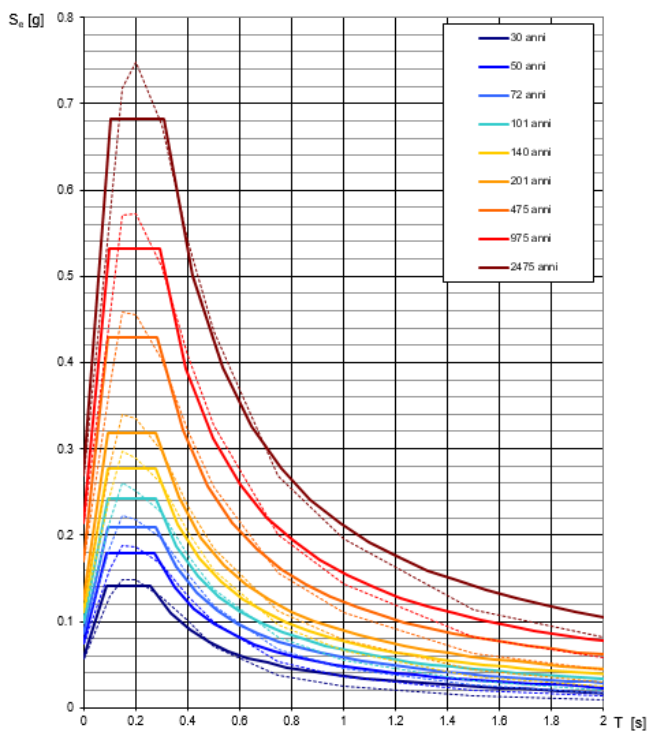
A partire dai risultati ottenuti mediante analisi MASW in onde di Rayleigh, in modo congiunto con la curva HVSR, sono state determinate velocità di propagazione delle onde di taglio che riportano il terreno in **CATEGORIA DI SOTTOSUOLO DI TIPO B**, secondo la tabella 3.2.II delle NTC'18 fornita di seguito.

Categoria	Caratteristiche della superficie topografica
A	<i>Ammassi rocciosi affioranti o terreni molto rigidi caratterizzati da valori di velocità delle onde di taglio superiori a 800 m/s, eventualmente comprendenti in superficie terreni di caratteristiche meccaniche più scadenti con spessore massimo pari a 3 m.</i>
B	<i>Rocce tenere e depositi di terreni a grana grossa molto addensati o terreni a grana fina molto consistenti, caratterizzati da un miglioramento delle proprietà meccaniche con la profondità e da valori di velocità equivalente compresi tra 360 m/s e 800 m/s.</i>
C	<i>Depositi di terreni a grana grossa mediamente addensati o terreni a grana fina mediamente consistenti con profondità del substrato superiori a 30 m, caratterizzati da un miglioramento delle proprietà meccaniche con la profondità e da valori di velocità equivalente compresi tra 180 m/s e 360 m/s.</i>
D	<i>Depositi di terreni a grana grossa scarsamente addensati o di terreni a grana fina scarsamente consistenti, con profondità del substrato superiori a 30 m, caratterizzati da un miglioramento delle proprietà meccaniche con la profondità e da valori di velocità equivalente compresi tra 100 e 180 m/s.</i>
E	<i>Terreni con caratteristiche e valori di velocità equivalente riconducibili a quelle definite per le categorie C o D, con profondità del substrato non superiore a 30 m.</i>

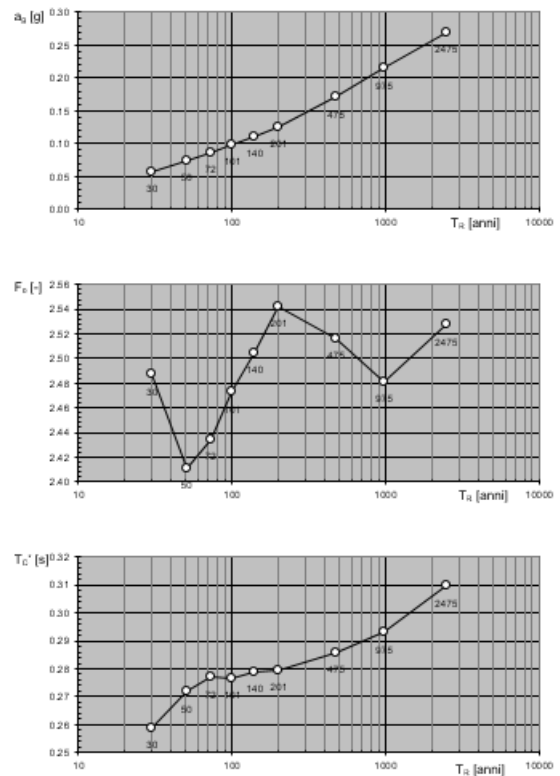


Per quanto concerne le caratteristiche geomorfologiche facendo riferimento alla tabella 3.2.III del D.M.2018 e analizzando la cartografia dell'area di studio a scale da 1:5.000 a 1:10.000, la relazione geologica riporta il terreno ad una **CATEGORIA TOPOGRAFICA T3**, alla quale, secondo quanto riportato nella Tabella 3.2.V del D.M. 2018, corrisponde un coefficiente topografico  $S_T$  pari a 1,2.

Spettri di risposta elastici per i periodi di ritorno  $T_R$  di riferimento



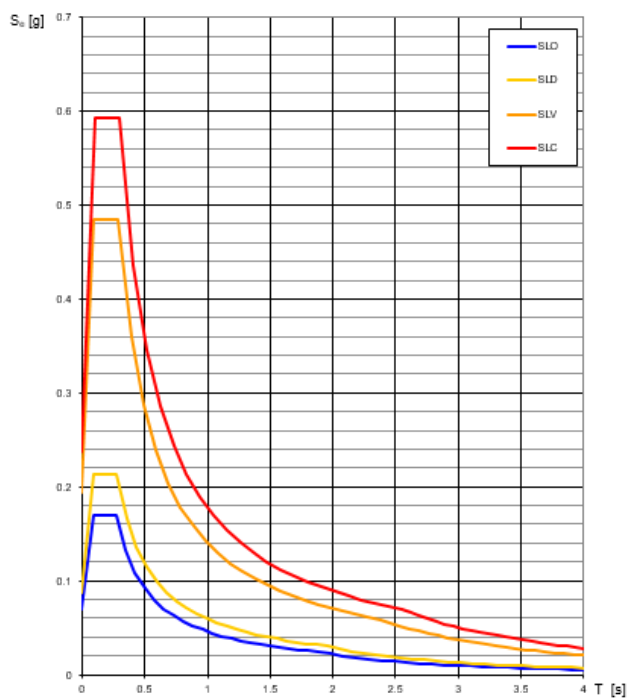
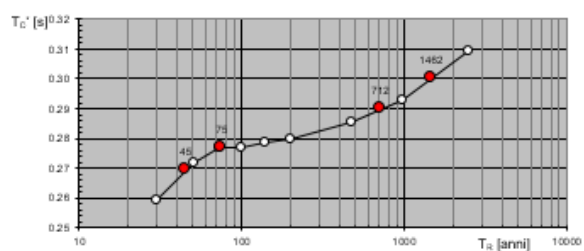
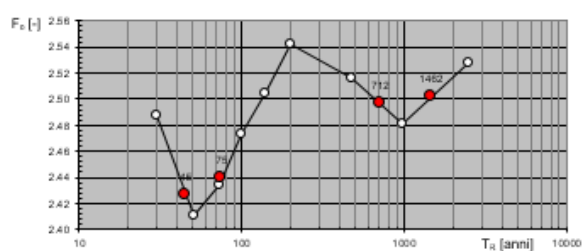
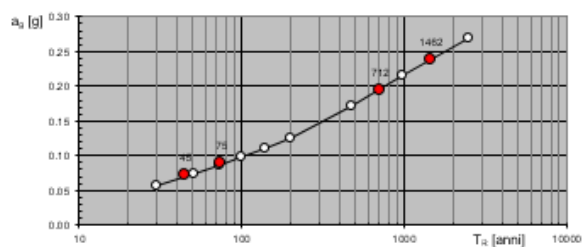
Valori dei parametri  $a_g$ ,  $F_o$ ,  $T_C^*$ : variabilità col periodo di ritorno



$T_R$ [anni]	$a_g$ [g]	$F_o$ [-]	$T_C^*$ [s]
30	0.057	2.487	0.259
50	0.074	2.411	0.272
72	0.086	2.434	0.277
101	0.098	2.473	0.277
140	0.111	2.504	0.279
201	0.125	2.542	0.280
475	0.170	2.516	0.286
975	0.214	2.482	0.293
2475	0.270	2.527	0.310

# Valori di progetto dei parametri $a_g$ , $F_o$ , $T_C^*$ in funzione del perio

## Spettri di risposta elastici per i diversi Stati Limite



SLATO LIMITE	$T_R$ [anni]	$a_g$ [g]	$F_o$ [-]	$T_C^*$ [s]
SLO	45	0.070	2.426	0.269
SLD	75	0.088	2.440	0.277
SLV	772	0.194	2.497	0.290
SLC	1462	0.237	2.501	0.300

---

Per la definizione dell'azione sismica è necessaria la conoscenza della tipologia strutturale dalla quale dipende la risposta dinamica delle struttura alle azioni orizzontali.

Nel caso di comportamento strutturale dissipativo, il valore del fattore di comportamento  $q$ , da utilizzare per lo stato limite considerato e nella direzione considerata per l'azione sismica, dipende dalla tipologia strutturale, dal suo grado di iperstaticità e dai criteri di progettazione adottati e tiene conto, convenzionalmente, delle capacità dissipative del materiale. Le strutture possono essere classificate come appartenenti ad una tipologia in una direzione orizzontale e ad un'altra tipologia nella direzione orizzontale ortogonale alla precedente, utilizzando per ciascuna direzione il fattore di comportamento corrispondente. Il limite superiore  $q_{lim}$  del fattore di comportamento relativo allo SLV è calcolato tramite la seguente espressione:

$$q_{lim} = q_0 * K_R$$

Dove:

- $q_0$  è il valore base del fattore di comportamento allo SLV, i cui massimi valori sono riportati in tabella 7.3.II in dipendenza della Classe di Duttilità, della tipologia strutturale, del coefficiente  $\lambda$  di cui al § 7.9.2.1 e del rapporto  $\alpha_u/\alpha_1$  tra il valore dell'azione sismica per il quale si verifica la plasticizzazione in un numero di zone dissipative tale da rendere la struttura un meccanismo e quello per il quale il primo elemento strutturale raggiunge la plasticizzazione a flessione; la scelta di  $q_0$  deve essere esplicitamente giustificata;
- $K_R$  è un fattore che dipende dalle caratteristiche di regolarità in altezza della costruzione, con valore pari ad 1 per costruzioni regolari in altezza e pari a 0,8 per costruzioni non regolari in altezza.

Vita nominale	50 anni
Classe d'uso	III
Coefficiente d'uso	1.5
Periodo di riferimento	75 anni
Tipologia strutturale	PANNELLI DI TAVOLE INCOLLATE A STRATI INCROCIATI, COLLEGATI MEDIANTE CHIODI, VITI E BULLONI.
Classe di duttilità	CD "B"
Regolarità in altezza	IRREGOLARE
Fattore $K_R$	1.0
Valore base del fattore di comportamento allo SLV $q_0$	2.5
Valore fattore di comportamento allo SLV $q_{lim}$ orizzontale	2.0
Valore fattore di comportamento allo SLD $q_{lim}$	1.5

## Parametri e punti dello spettro di risposta orizzontale per lo stato lir8LV

### Parametri indipendenti

STATO LIMITE	SLV
$a_s$	0.194 q
$F_s$	2.497
$T_c$	0.290 s
$S_s$	1.200
$C_c$	1.409
$S_T$	1.200
q	2.000

### Parametri dipendenti

S	1.440
$\eta$	0.500
$T_B$	0.136 s
$T_C$	0.408 s
$T_D$	2.375 s

### Espressioni dei parametri dipendenti

$$S = S_s \cdot S_T \quad (\text{NTC-08 Eq. 3.2.5})$$

$$\eta = \sqrt{10/(5+z)} \geq 0.55 \quad \eta = 1/q \quad (\text{NTC-08 Eq. 3.2.6; § 3.2.3.5})$$

$$T_B = T_c/3 \quad (\text{NTC-07 Eq. 3.2.8})$$

$$T_c = C_c \cdot T_c^* \quad (\text{NTC-07 Eq. 3.2.7})$$

$$T_D = 4.0 \cdot a_s / g + 1.6 \quad (\text{NTC-07 Eq. 3.2.9})$$

### Espressioni dello spettro di risposta (NTC-08 Eq. 3.2.4)

$$0 \leq T < T_B \quad S_d(T) = a_s \cdot S \cdot \eta \cdot F_b \cdot \left[ \frac{T}{T_B} + \frac{1}{\eta \cdot F_b} \left( 1 - \frac{T}{T_B} \right) \right]$$

$$T_B \leq T < T_c \quad S_d(T) = a_s \cdot S \cdot \eta \cdot F_b$$

$$T_c \leq T < T_D \quad S_d(T) = a_s \cdot S \cdot \eta \cdot F_b \cdot \left( \frac{T_c}{T} \right)$$

$$T_D \leq T \quad S_d(T) = a_s \cdot S \cdot \eta \cdot F_b \cdot \left( \frac{T_c T_D}{T^2} \right)$$

Lo spettro di risposta  $S_d(T)$  per le verifiche agli Stati Limite Ultimi è attenuato dalle espressioni dello spettro elastico  $S_e(T)$  moltiplicando con  $1/q$ , dove  $q$  è il fattore di struttura. (NTC-08 § 3.2.3.5)

### Punti dello spettro di risposta

	T [s]	Se [g]
	0.000	0.279
$T_B \leftarrow$	0.136	0.348
$T_C \leftarrow$	0.408	0.348
	0.502	0.283
	0.596	0.239
	0.689	0.206
	0.783	0.182
	0.877	0.162
	0.970	0.147
	1.064	0.134
	1.158	0.123
	1.251	0.114
	1.345	0.106
	1.439	0.099
	1.532	0.093
	1.626	0.088
	1.720	0.083
	1.813	0.078
	1.907	0.075
	2.001	0.071
	2.094	0.068
	2.188	0.065
	2.282	0.062
$T_D \leftarrow$	2.375	0.060
	2.453	0.056
	2.530	0.053
	2.607	0.050
	2.685	0.047
	2.762	0.044
	2.840	0.042
	2.917	0.040
	2.994	0.039
	3.072	0.039
	3.149	0.039
	3.226	0.039
	3.304	0.039
	3.381	0.039
	3.458	0.039
	3.536	0.039
	3.613	0.039
	3.691	0.039
	3.768	0.039
	3.845	0.039
	3.923	0.039
	4.000	0.039

## Parametri e punti dello spettro di risposta orizzontale per lo stato lir&LD

### Parametri indipendenti

STATO LIMITE	SLD
$a_s$	0.088 $q$
$F_s$	2.440
$T_c$	0.277 $x$
$S_s$	1.200
$C_c$	1.422
$S_T$	1.200
$q$	1.000

### Parametri dipendenti

$S$	1.440
$\eta$	1.000
$T_B$	0.131 $x$
$T_C$	0.394 $x$
$T_D$	1.950 $x$

### Espressioni dei parametri dipendenti

$$S = S_s \cdot S_q \quad (\text{NTC-08 Eq. 3.2.5})$$

$$\eta = \sqrt{10 \cdot (5 + \xi)} \geq 0.5 \xi \quad \eta = 1/q \quad (\text{NTC-08 Eq. 3.2.6; § 3.2.3.5})$$

$$T_B = T_c / 3 \quad (\text{NTC-07 Eq. 3.2.8})$$

$$T_c = C_c \cdot T_c^* \quad (\text{NTC-07 Eq. 3.2.7})$$

$$T_D = 4.0 \cdot a_s / g + 1.6 \quad (\text{NTC-07 Eq. 3.2.9})$$

### Espressioni dello spettro di risposta (NTC-08 Eq. 3.2.4)

$$0 \leq T < T_B \quad S_d(T) = a_s \cdot S \cdot \eta \cdot F_0 \cdot \left[ \frac{T}{T_B} + \frac{1}{\eta \cdot F_0} \left( 1 - \frac{T}{T_B} \right) \right]$$

$$T_B \leq T < T_c \quad S_d(T) = a_s \cdot S \cdot \eta \cdot F_0$$

$$T_c \leq T < T_D \quad S_d(T) = a_s \cdot S \cdot \eta \cdot F_0 \cdot \left( \frac{T_c}{T} \right)$$

$$T_D \leq T \quad S_d(T) = a_s \cdot S \cdot \eta \cdot F_0 \cdot \left( \frac{T_c \cdot T_D}{T^2} \right)$$

L'azpettra di praqetta  $S_d(T)$  per le verifike agli Stati Limite Ultimi & attenuata dalle esprezzioni della azpettra elastika  $S_e(T)$  rartituenda con  $1/q$ , dave q & il fattore dirstruttura. (NTC-08 § 3.2.3.5)

### Punti dello spettro di risposta

	T [s]	Se [g]
	0.000	0.126
$T_B \leftarrow$	0.131	0.307
$T_C \leftarrow$	0.394	0.307
	0.468	0.259
	0.542	0.223
	0.616	0.197
	0.690	0.175
	0.764	0.158
	0.838	0.144
	0.913	0.133
	0.987	0.123
	1.061	0.114
	1.135	0.107
	1.209	0.100
	1.283	0.094
	1.357	0.089
	1.431	0.085
	1.505	0.080
	1.580	0.077
	1.654	0.073
	1.728	0.070
	1.802	0.067
	1.876	0.065
$T_D \leftarrow$	1.950	0.062
	2.048	0.056
	2.145	0.051
	2.243	0.047
	2.341	0.043
	2.438	0.040
	2.536	0.037
	2.633	0.034
	2.731	0.032
	2.829	0.030
	2.926	0.028
	3.024	0.026
	3.121	0.024
	3.219	0.023
	3.317	0.021
	3.414	0.020
	3.512	0.019
	3.610	0.018
	3.707	0.017
	3.805	0.016
	3.902	0.016
	4.000	0.015

## 6 COMBINAZIONI DELLE AZIONI DI PROGETTO

### 6.1 COMBINAZIONE DELLE AZIONI STATICHE

La verifiche sulle strutture vengono effettuate secondo il metodo agli stati limite ultimi e di esercizio considerando le azioni secondo le seguenti combinazioni.

- Combinazione fondamentale, generalmente impiegata per gli stati limite ultimi (SLU):

$$\gamma_{G1} \cdot G_1 + \gamma_{G2} \cdot G_2 + \gamma_P \cdot P + \gamma_{Q1} \cdot Q_{k1} + \gamma_{Q2} \cdot \psi_{02} \cdot Q_{k2} + \gamma_{Q3} \cdot \psi_{03} \cdot Q_{k3} + \dots \quad (2.5.1)$$

- Combinazione caratteristica, cosiddetta rara, generalmente impiegata per gli stati limite di esercizio (SLE) irreversibili:

$$G_1 + G_2 + P + Q_{k1} + \psi_{02} \cdot Q_{k2} + \psi_{03} \cdot Q_{k3} + \dots \quad (2.5.2)$$

- Combinazione frequente, generalmente impiegata per gli stati limite di esercizio (SLE) reversibili:

$$G_1 + G_2 + P + \psi_{11} \cdot Q_{k1} + \psi_{22} \cdot Q_{k2} + \psi_{23} \cdot Q_{k3} + \dots \quad (2.5.3)$$

- Combinazione quasi permanente (SLE), generalmente impiegata per gli effetti a lungo termine:

$$G_1 + G_2 + P + \psi_{21} \cdot Q_{k1} + \psi_{22} \cdot Q_{k2} + \psi_{23} \cdot Q_{k3} + \dots \quad (2.5.4)$$

I valori dei coefficienti parziali delle azioni da assumere per la determinazione degli effetti delle azioni nelle verifiche agli stati limite ultimi sono:

Tab. 2.6.I – Coefficienti parziali per le azioni o per l'effetto delle azioni nelle verifiche SLU

		Coefficiente	EQU	A1	A2
		$\gamma_F$			
Carichi permanenti $G_1$	Favorevoli	$\gamma_{G1}$	0,9	1,0	1,0
	Sfavorevoli		1,1	1,3	1,0
Carichi permanenti non strutturali $G_2^{(1)}$	Favorevoli	$\gamma_{G2}$	0,8	0,8	0,8
	Sfavorevoli		1,5	1,5	1,3
Azioni variabili $Q$	Favorevoli	$\gamma_Q$	0,0	0,0	0,0
	Sfavorevoli		1,5	1,5	1,3

<sup>(1)</sup> Nel caso in cui l'intensità dei carichi permanenti non strutturali o di una parte di essi (ad es. carichi permanenti portati) sia ben definita in fase di progetto, per detti carichi o per la parte di essi nota si potranno adottare gli stessi coefficienti parziali validi per le azioni permanenti.

---

dove:

$\gamma_{G1}$  coefficiente parziale dei carichi permanenti  $G_1$ ;

$\gamma_{G2}$  coefficiente parziale dei carichi permanenti non strutturali  $G_2$ ;

$\gamma_{Qi}$  coefficiente parziale delle azioni variabili  $Q$ .

Nelle verifiche nei confronti degli stati limite ultimi strutturali si è impiegata un'unica combinazione dei gruppi di coefficienti parziali definiti per le Azioni (A), per la resistenza dei materiali (M) e per la resistenza globale (R). In tale approccio, per le azioni si impiegano i coefficienti  $\gamma_F$  riportati nella colonna A1.

Nelle combinazioni per SLE, si intende che vengono omessi i carichi  $Q_{kj}$  che danno un contributo favorevole ai fini delle verifiche e, se del caso, i carichi  $G_2$ .

I valori dei coefficienti parziali di sicurezza  $\gamma_{Gi}$  e  $\gamma_{Qi}$  sono :

<b>Categoria/Azione variabile</b>	<b><math>\psi_{0j}</math></b>	<b><math>\psi_{1j}</math></b>	<b><math>\psi_{2j}</math></b>
Categoria A - Ambienti ad uso residenziale	0,7	0,5	0,3
Categoria B - Uffici	0,7	0,5	0,3
Categoria C - Ambienti suscettibili di affollamento	0,7	0,7	0,6
Categoria D - Ambienti ad uso commerciale	0,7	0,7	0,6
Categoria E - Biblioteche, archivi, magazzini e ambienti ad uso industriale	1,0	0,9	0,8
Categoria F - Rimesse e parcheggi (per autoveicoli di peso $\leq 30$ kN)	0,7	0,7	0,6
Categoria G - Rimesse e parcheggi (per autoveicoli di peso $> 30$ kN)	0,7	0,5	0,3
Categoria H – Coperture accessibili per sola manutenzione	0,0	0,0	0,0
Categoria I – Coperture praticabili	Da valutarsi caso per caso		
Categoria K – Coperture per usi speciali (impianti, eliporti, ...)			
Vento	0,6	0,2	0,0
Neve (a quota $\leq 1000$ m s.l.m.)	0,5	0,2	0,0
Neve (a quota $> 1000$ m s.l.m.)	0,7	0,5	0,2
Variazioni termiche	0,6	0,5	0,0

---

## 6.2 COMBINAZIONE DELLE AZIONI SISMICHE

L'azione sismica è da considerarsi un evento di tipo accidentale e quindi cumulabile con le altre cause di sollecitazione. Le verifiche agli stati limite ultimi e di esercizio vengono effettuate per la seguente combinazione degli effetti della azione sismica con le altre azioni:

- Combinazione sismica, impiegata per gli stati limite ultimi e di esercizio connessi all'azione sismica E:

$$E + G_1 + G_2 + P + \psi_{21} Q_{k1} + \psi_{22} Q_{k2} + \dots \quad (2.5.5)$$

dove:

E è l'azione sismica per lo stato limite in esame;

G<sub>k</sub> sono i carichi permanenti al loro valore caratteristico;

P<sub>k</sub> è il valore caratteristico dell'azione di precompressione, a cadute di tensione avvenute;

Ψ<sub>2i</sub> è il coefficiente di combinazione;

Q<sub>ki</sub> è il valore caratteristico dell'azione variabile Q<sub>i</sub>

Gli effetti dell'azione sismica sono valutate tenendo conto della massa sismica W<sub>a</sub> considerata nel modo seguente:

$$W_a = G_1 + G_2 + \sum_i (\Psi_{2i} Q_{ki})$$

Le NTC 2018 al § 7.3.5 indicano la possibilità di calcolare separatamente per ciascuna direzione del sisma gli effetti sulla struttura (in termini di sollecitazioni e deformazioni) e poi combinarli secondo l'espressione:

$$1.00 E_x + 0.30 E_y + 0.30 E_z$$

Gli effetti più gravosi si ricavano dal confronto tra le tre combinazioni ottenute permutando circolarmente i coefficienti moltiplicativi.

In ogni caso:

- la componente verticale deve essere tenuta in conto unicamente nei casi previsti al § 7.2.2;
- la risposta deve essere combinata con gli effetti pseudo-statici indotti dagli spostamenti relativi prodotti dalla variabilità spaziale del moto unicamente nei casi previsti al § 3.2.4.1, utilizzando, salvo per quanto indicato al § 7.2.2 in merito agli appoggi mobili, la radice quadrata della somma dei quadrati (SRSS).



---

## 7 ANALISI STRUTTURALE

In questo capitolo verranno descritte ed effettuate le principali verifiche statiche e sismiche relative alla porzione di edificio oggetto della presente relazione. Verrà descritto il modello di calcolo e le considerazioni non espressamente indicate nei capitoli precedenti.

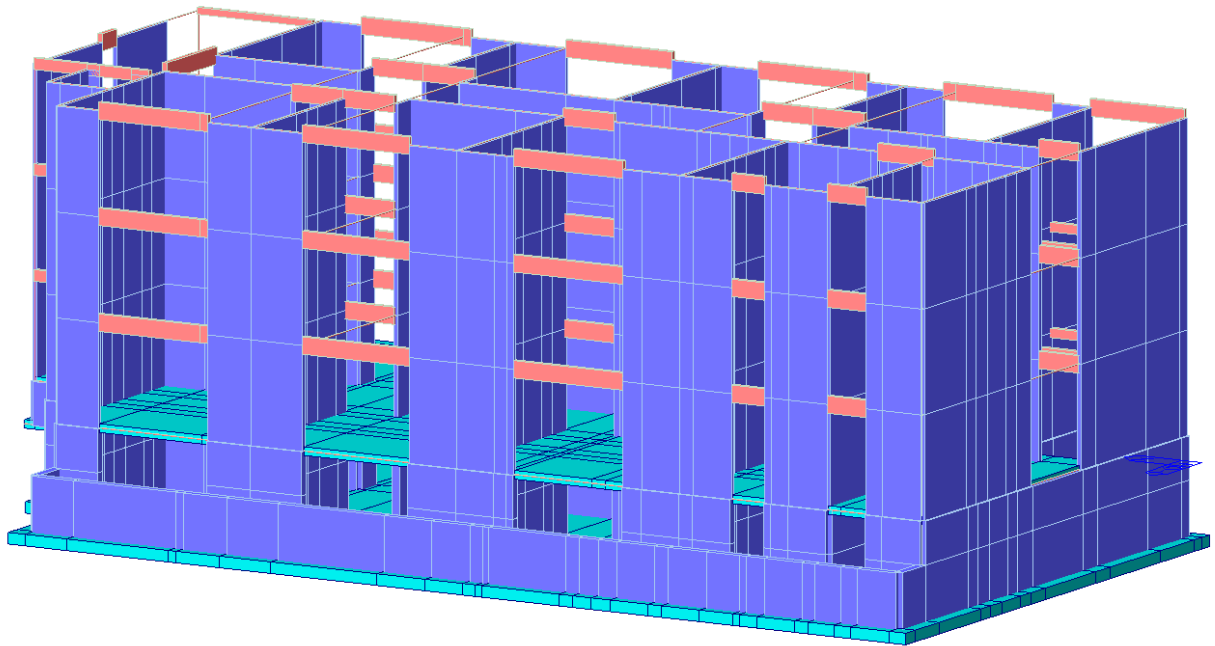
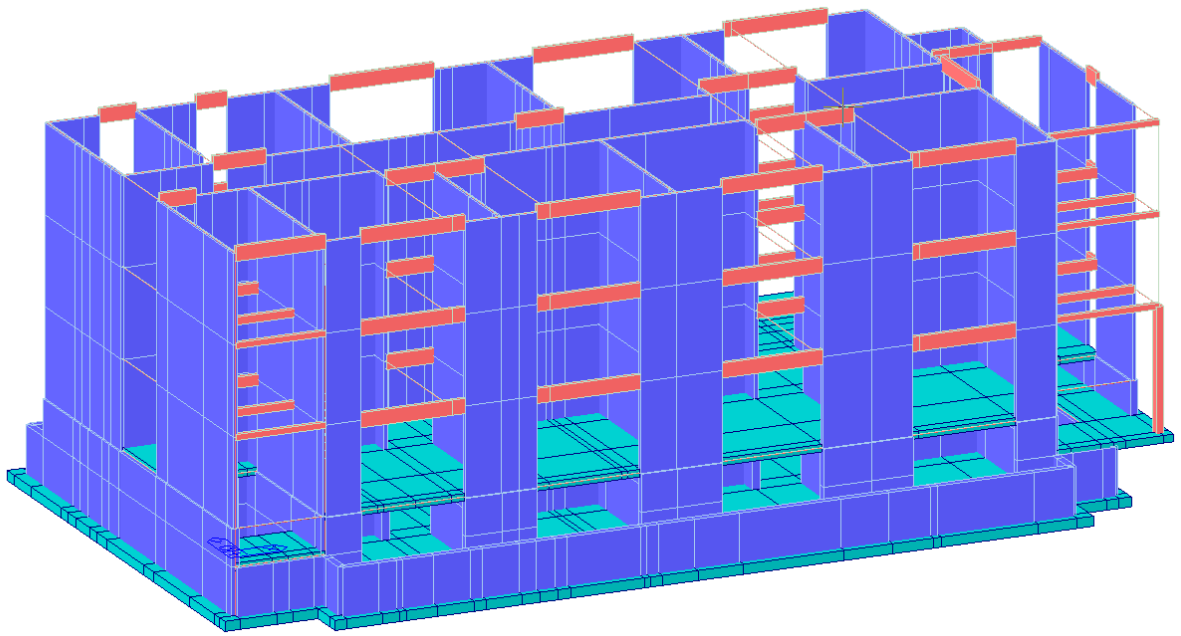
### 7.1 DESCRIZIONE DEL MODELLO

Il blocco oggetto della presente relazione risulta abbastanza regolare ed omogeneo, ad eccezione della presenza del seminterrato in calcestruzzo, che determina uno stacco netto con la struttura superiore lignea. Gli elementi a telaio, quali travi e pilastri in legno calcestruzzo o legno, sono stati modellati con elementi *beam*. I setti sono stati modellati mediante elementi *wall* per poter ottenere più agevolmente le sollecitazioni ed ulteriori informazioni sul comportamento strutturale. La soletta del piano terra e le platee di fondazioni sono state modellate come elementi *plate*, ma assegnati ad un sottodominio *slab* che permette la determinazione delle sollecitazioni flessionali in modo più rapido ed agevole, ed inoltre, permette l'attribuzione ad ogni singolo elemento della *mesh* di una armatura di progetto e ne effettua la relativa verifica. Alle platee di fondazione, è stato applicato un letto di molle di superficie, con costante di *winkler* pari a 4.32 kg/cm<sup>3</sup>, che è poi stato convertito in molle puntuali ai nodi della meshatura. Le molle sono state applicate solo in direzione verticale mentre gli spostamenti nel piano di fondazione sono stati bloccati. I solai lignei non sono stati modellati fisicamente ma con l'attribuzione del piano rigido alle relative quote degli stessi.

Sono state applicate le proprietà dei materiali, quali calcestruzzo C25/30 per le platee di fondazione, C28/35 per i setti del seminterrato e la soletta alleggerita del piano terra, l'xlam è stato attribuito come materiale ortotropo con i moduli elastici tipici forniti dai produttori per le diverse direzioni che caratterizzano le sezioni, ed infine il lamellare che costituisce le travi pilastri e architravi lignee è stato implementato con modulo elastico pari a 11000Mpa.

I carichi verticali di impalcato sono stati applicati come *pressure load* sui *plate* di solaio o *patch load* sui solai lignei non modellati, i carichi distribuiti, come quelli delle vetrature, sono stati applicati come carichi di linea sulle travi stesse. Il vento è stato applicato sempre come carico di linea sulle travi, oppure come *load patch* di facciata, in relazione alle diverse direzioni di incidenza dello stesso. I pesi propri modellati sono stati implementati attraverso l'imposizione della forza di gravità. Per l'azione sismica, sono stati inseriti gli spettri orizzontale e verticale per gli stati limite di salvaguardia alla vita SLV e stato limite di danno SLD.

Si riportano delle immagini esplicative del modello appena descritto.



---

## **7.2 VERIFICA STATICA DELLE STRUTTURE**

### **7.2.1 VERIFICA SOLAI LIGNEI**

Gli impalcati lignei del blocco in oggetto della presente relazione, sono realizzati in travi in lamellare sdraiato di spessore 20cm e di classe GL24h. Tali elementi sono orditi in direzione del lato corto dell'edificio e generalmente dispongono di 4 appoggi e quindi 3 campate. Ogni elemento di solaio viene affiancato a quello successivo mediante un contatto maschio-femmina con listello superiore di fissaggio chiodato ai due pannelli sdraiati. Agli elementi lignei, alle piastre e alle pareti è richiesta una resistenza al fuoco REI 60'.

Si riportano di seguito le principali verifiche condotte per tali elementi.

## 7.2.1.1 SOLAIO LIGNEO DI PIANO

VERIFICHE LEGNO - LAMELLARE SDRAIATO SOLAIO TIPO				
<b>Materiali:</b>				
Legno		Legno lamellare incollato		
Classe		Gl24h		
Resistenza a flessione	fmk	24.00	MPa	
Resistenza a trazione parallela	ft,0,k	19.20	MPa	
Resistenza a trazione perpendicolare	ft,90,k	0.50	MPa	
Resistenza a compressione parallela	fc,0,k	24.00	MPa	
Resistenza a compressione perpendicolare	fc,90,k	2.50	MPa	
Resistenza a taglio	fv,k	3.50	MPa	
Modulo elastico parallelo medio	E0,mean	11500	MPa	
Modulo elastico parallelo caratteristico	E0,05	9600	MPa	
Modulo elastico perpendicolare medio	E90,mean	300.0	MPa	
Modulo elastico tangenziale medio	G,mean	650.00	MPa	
Massa volumica	pk	385.00	kg/mc	
Classe di servizio		1		
Classe di durata del carico		azione breve durata		
Coefficiente correttivo per durata del carico e umidità	kmod	0.9		
Coefficiente correttivo per durata del carico	kdef	0.6		
Coefficiente amplificativo resistenza	kh	1.10		
Combinazione di carico		SLU_comb. fondam. - legno lamellare incollato		
Coefficiente di sicurezza sul materiale	ym	1.45		
Coefficiente di combinazione (scuola)	ψ2	0.60		
<b>Analisi dei carichi:</b>				
peso proprio	pp	1.00	kN/mq	
carico permanente	G	2.70	kN/mq	
sovraccarico accidentale (scuola)	Qsov	3.00	kN/mq	
pp+carico permanente	pp+G	3.70	kN/m	
carico accidentale	Q	3.00	kN/m	
carico amplificato sle	qsle	6.70	kN/m	
carico amplificato slu	qslu	9.31	kN/m	
carico combinazione incendio	qfuoco	5.50	kN/m	
<b>Geometria:</b>				
interasse trave	i	1.00	m	
larghezza appoggio	bp	0.12	m	
luce di calcolo	Lc	7.15	m	
larghezza	b	1.00	m	
altezza	h	0.200	m	
area	A	2.00E-01	m2	
momento d'inerzia	J	6.67E-04	m4	
modulo resistente	W	6.67E-03	m3	
<b>Sollecitazioni slu:</b>				
momento flettente positivo	MSd	42.70	kNm	
sforzo di taglio	VSd	38.70	kN	
reazione all'appoggio	RSd	63.50	kN	
<b>Verifica a taglio</b>				
sforzo di taglio	VSd	38.70	kN	
area	A	0.20	m2	
coefficiente di fessurazione	kcr	0.67		
tensione tangenziale di calcolo	τd	0.43	MPa	
resistenza di calcolo a taglio	fvd	2.17		
verifica: τd≤fvd		0.20		OK

<b>Verifica a compressione ortogonale alla fibra</b>				
reazione all'appoggio	RSd	63.50	kN	
lunghezza retrotrave	a		m	
distanza netta tra due successive impronte di carico (forze o reazioni)	l1		m	
lunghezza efficace di appoggio	lef	0.18	m	
area di contatto efficace in compressione	Aef	0.18	m <sup>2</sup>	
resistenza di progetto a compressione // fibratura	fc,90,d	1.55	MPa	
coefficiente che tiene conto della rottura per spacco	kc,90	1.00		
tensione di progetto a compressione orto fibratura nell'area di contatto eff	σc,90,d	0.35	MPa	
verifica: σc,90,d ≤ kc,90 · fc,90,d		0.23	OK	
<b>Verifica a flessione</b>				
momento flettente	MSd(x)	42.70	kNm	
modulo resistente	W	6.67E-03	m <sup>3</sup>	
resistenza di calcolo a flessione	fmd	16.39	MPa	
tensione di calcolo	σm,d	6.40	MPa	
verifica: σm,0,d ≤ fmd		0.39	OK	
<b>Verifica a deformazione</b>				
contromonta	wc	0	mm	
coefficiente freccia		3		
f istantanea carico permanente	winst(g)	10.1	mm =L/	710
f creep carico permanente	wcr(g)	6.0	mm =L/	1183
f finale carico permanente	wfin(g)	16.1	mm =L/	444
f istantanea carico accidentale	winst(q)	8.2	mm =L/	876
f creep carico accidentale	wcr(q)	2.9	mm =L/	2432
f finale carico accidentale	wfin(q)	11.1	mm =L/	644
f istantanea carico permanente+ accidentale	winst(g+q)	18.2	mm =L/	392
f creep carico permanente+accidentale	wcr(g+q)	9.0	mm =L/	796
f finale carico permanente + accidentale	wfin(g+q)	27.2	mm =L/	263
f finale carico permanente + accidentale - contromonta	wnetfin	27.2	mm =L/	263
<b>Verifica a vibrazioni</b>				
luce solaio	l	7.15	m	
		0.70		
massa solaio	m	560.65	kg/m <sup>2</sup>	
rigidezza di piastra equivalente	EJ	7666667	Nm <sup>2</sup> /m	
frequenza fondamentale	f1	7	Hz	
verifica 6/f1 < 1		0.82	OK	

<b>Verifica resistenza al fuoco</b>			
Coefficiente correttivo per durata del carico e umidità	kmod,fi	1.00	
Combinazione di carico		SLU_comb. eccezionali	
Coefficiente di sicurezza sul materiale	γm	1.00	
tipologia		Legno lamellare incollato	
fattore di conversione frattile 20 -valore caratteristico	kfi	1.15	
tempo di esposizione al fuoco	t	60	min
ritardo inizio carbonizzazione per presenza rivestimenti	tchar	0	min
tipologia		Conifere e faggio - legno lamellare p≥290 kg/mc	
velocità di carbonizzazione convenzionale	βn	0.7	mm/min
profondità di carbonizzazione convenzionale	d,char,n	42	mm
trattamento superficiale		superficie non protetta	
coefficiente	k0	1.00	
profondità strato per cui si assume resistenza e rigidità nulla	d0	7	mm
profondità di carbonizzazione efficace	def	49	mm
<b>Sezione residua</b>			
larghezza residua	b,fi	1.00	m
altezza residua	h,fi	0.15	m
area residua	A,fi	1.51E-01	m2
modulo resistente residuo	W,fi	3.80E-03	m3
<b>Sollecitazioni combinazione incendio:</b>			
momento flettente positivo	MSd,fi	24.70	kNm
sforzo di taglio	VSd,fi	22.50	kN
reazione all'appoggio	RSd,fi	32.10	kN
<b>Verifica a taglio incendio</b>			
sforzo di taglio	VSd	23	kN
area	A	0.15	m2
coefficiente di fessurazione	kcr	0.67	
tensione tangenziale di calcolo	τd	0.33	MPa
resistenza di calcolo a taglio	fvd	4.03	MPa
verifica: τd≤fvd		0.08	OK
<b>Verifica a compressione ortogonale alla fibra incendio</b>			
reazione all'appoggio	RSd	32	kN
lunghezza retrotrave	a		m
distanza netta tra due successive impronte di carico (forze o reazioni)	l1		m
lunghezza efficace di appoggio	lef	0.18	m
area di contatto efficace in compressione	Aef	0.18	m2
resistenza di progetto a compressione // fibratura	fc,90,d	2.88	MPa
coefficiente che tiene conto della rottura per spacco	kc,90	1.00	
tensione di progetto a compressione orto fibratura nell'area di contatto eff	σc,90,d	0.18	MPa
verifica: σc,90,d≤kc,90·fc,90,d		0.06	OK
<b>Verifica a flessione incendio</b>			
momento flettente	MSd	25	kNm
modulo resistente	W	0.00	m3
resistenza di calcolo a flessione	fmd	27.60	MPa
tensione di calcolo	σm,d	6.50	MPa
verifica: σm,d≤fmd		0.24	OK

Le principali verifiche risultano soddisfatte.

## 7.2.2.1 SOLAIO LIGNEO DI COPERTURA

VERIFICHE LEGNO - LAMELLARE SDRAIATO DI COPERTURA				
<b>Materiali:</b>				
Legno		Legno lamellare incollato		
Classe		GL24h		
Resistenza a flessione	fmk	24.00	MPa	
Resistenza a trazione parallela	ft,0,k	19.20	MPa	
Resistenza a trazione perpendicolare	ft,90,k	0.50	MPa	
Resistenza a compressione parallela	fc,0,k	24.00	MPa	
Resistenza a compressione perpendicolare	fc,90,k	2.50	MPa	
Resistenza a taglio	fv,k	3.50	MPa	
Modulo elastico parallelo medio	E0,mean	11500	MPa	
Modulo elastico parallelo caratteristico	E0,05	9600	MPa	
Modulo elastico perpendicolare medio	E90,mean	300.0	MPa	
Modulo elastico tangenziale medio	G,mean	650.00	MPa	
Massa volumica	pk	385.00	kg/mc	
Classe di servizio		1		
Classe di durata del carico		azione breve durata		
Coefficiente correttivo per durata del carico e umidità	kmod	0.9		
Coefficiente correttivo per durata del carico	kdef	0.6		
Coefficiente amplificativo resistenza	kh	1.10		
Combinazione di carico		SLU_comb. fondam. - legno lamellare incollato		
Coefficiente di sicurezza sul materiale	γm	1.45		
Coefficiente di combinazione (neve)	ψ2	0.00		
<b>Analisi dei carichi:</b>				
peso proprio	pp	1.00	kN/mq	
carico permanente	G	4.70	kN/mq	
sovraccarico accidentale (neve)	Qsov	0.60	kN/mq	
pp+carico permanente	pp+G	5.70	kN/m	
carico accidentale	Q	0.60	kN/m	
carico amplificato sle	qsle	6.30	kN/m	
carico amplificato slu	qslu	8.31	kN/m	
carico combinazione incendio	qfuoco	5.70	kN/m	
<b>Geometria:</b>				
interasse trave	i	1.00	m	
larghezza appoggio	bp	0.12	m	
luce di calcolo	Lc	7.15	m	
larghezza	b	1.00	m	
altezza	h	0.200	m	
area	A	2.00E-01	m2	
momento d'inerzia	J	6.67E-04	m4	
modulo resistente	W	6.67E-03	m3	
<b>Sollecitazioni slu:</b>				
momento flettente positivo	MSd	37.73	kNm	
sforzo di taglio	VSd	34.78	kN	
reazione all'appoggio	RSd	52.76	kN	
<b>Verifica a taglio</b>				
sforzo di taglio	VSd	34.78	kN	
area	A	0.20	m2	
coefficiente di fessurazione	kcr	0.67		
tensione tangenziale di calcolo	τd	0.39	MPa	
resistenza di calcolo a taglio	fvd	2.17		
verifica: τd≤fvd		0.18		OK

<b>Verifica a compressione ortogonale alla fibra</b>				
reazione all'appoggio	RSd	52.76	kN	
lunghezza retrotrave	a		m	
distanza netta tra due successive impronte di carico (forze o reazioni)	l1		m	
lunghezza efficace di appoggio	lef	0.18	m	
area di contatto efficace in compressione	Aef	0.18	m <sup>2</sup>	
resistenza di progetto a compressione // fibratura	fc,90,d	1.55	MPa	
coefficiente che tiene conto della rottura per spacco	kc,90	1.00		
tensione di progetto a compressione orto fibratura nell'area di contatto eff	σc,90,d	0.29	MPa	
verifica: σc,90,d ≤ kc,90 · fc,90,d		0.19	OK	
<b>Verifica a flessione</b>				
momento flettente	MSd(x)	37.73	kNm	
modulo resistente	W	6.67E-03	m <sup>3</sup>	
resistenza di calcolo a flessione	fmd	16.39	MPa	
tensione di calcolo	σm,d	5.66	MPa	
verifica: σm,0,d ≤ fmd		0.35	OK	
<b>Verifica a deformazione</b>				
contromonta	wc	0	mm	
coefficiente freccia		3		
f istantanea carico permanente	winst(g)	15.5	mm = L/	461
f creep carico permanente	wcr(g)	9.3	mm = L/	768
f finale carico permanente	wfin(g)	24.8	mm = L/	288
f istantanea carico accidentale	winst(q)	1.6	mm = L/	4378
f creep carico accidentale	wcr(q)	0.0	mm = L/	
f finale carico accidentale	wfin(q)	1.6	mm = L/	4378
f istantanea carico permanente+ accidentale	winst(g+q)	17.1	mm = L/	417
f creep carico permanente+accidentale	wcr(g+q)	9.3	mm = L/	768
f finale carico permanente + accidentale	wfin(g+q)	26.5	mm = L/	270
f finale carico permanente + accidentale - contromonta	wnetfin	26.5	mm = L/	270
<b>Verifica a vibrazioni</b>				
luce solaio	l	7.15	m	
		0.70		
massa solaio	m	581.04	kg/m <sup>2</sup>	
rigidezza di piastra equivalente	EJ	7666667	Nm <sup>2</sup> /m	
frequenza fondamentale	f1	7	Hz	
verifica 6/f1 < 1		0.83	OK	



<b>Verifica resistenza al fuoco</b>			
Coefficiente correttivo per durata del carico e umidità	kmod,fi	1.00	
Combinazione di carico		SLU_comb. eccezionali	
Coefficiente di sicurezza sul materiale	γm	1.00	
tipologia		Legno lamellare incollato	
fattore di conversione frattile 20 -valore caratteristico	kfi	1.15	
tempo di esposizione al fuoco	t	60	min
ritardo inizio carbonizzazione per presenza rivestimenti	tchar	0	min
tipologia		Conifere e faggio - legno lamellare p≥290 kg/mc	
velocità di carbonizzazione convenzionale	βn	0.7	mm/min
profondità di carbonizzazione convenzionale	d,char,n	42	mm
trattamento superficiale		superficie non protetta	
coefficiente	k0	1.00	
profondità strato per cui si assume resistenza e rigidità nulla	d0	7	mm
profondità di carbonizzazione efficace	def	49	mm
<b>Sezione residua</b>			
larghezza residua	b,fi	1.00	m
altezza residua	h,fi	0.15	m
area residua	A,fi	1.51E-01	m2
modulo resistente residuo	W,fi	3.80E-03	m3
<b>Sollecitazioni combinazione incendio:</b>			
momento flettente positivo	MSd,fi	25.58	kNm
sforzo di taglio	VSd,fi	23.68	kN
reazione all'appoggio	RSd,fi	33.25	kN
<b>Verifica a taglio incendio</b>			
sforzo di taglio	VSd	24	kN
area	A	0.15	m2
coefficiente di fessurazione	kcr	0.67	
tensione tangenziale di calcolo	τd	0.35	MPa
resistenza di calcolo a taglio	fvd	4.03	MPa
verifica: τd≤fvd		0.09	OK
<b>Verifica a compressione ortogonale alla fibra incendio</b>			
reazione all'appoggio	RSd	33	kN
lunghezza retrotrave	a		m
distanza netta tra due successive impronte di carico (forze o reazioni)	l1		m
lunghezza efficace di appoggio	lef	0.18	m
area di contatto efficace in compressione	Aef	0.18	m2
resistenza di progetto a compressione // fibratura	fc,90,d	2.88	MPa
coefficiente che tiene conto della rottura per spacco	kc,90	1.00	
tensione di progetto a compressione orto fibratura nell'area di contatto eff	σc,90,d	0.18	MPa
verifica: σc,90,d≤kc,90·fc,90,d		0.06	OK
<b>Verifica a flessione incendio</b>			
momento flettente	MSd	26	kNm
modulo resistente	W	0.00	m3
resistenza di calcolo a flessione	fmd	27.60	MPa
tensione di calcolo	σm,d	6.73	MPa
verifica: σm,d≤fmd		0.24	OK

Le principali verifiche risultano soddisfatte.

### 7.2.2.2 SOLAIO LIGNEO COPERTURA VANO SCALE

In tale porzione di copertura le travi lamellari sdraiate sono ordite secondo il lato lungo, e risultano essere in semplice appoggio.

VERIFICHE LEGNO - LAMELLARE SDRAIATO COPERTURA VANO SCALE				
<b>Materiali:</b>				
Legno	Legno lamellare incollato			
Classe	GI24h			
Resistenza a flessione	f <sub>mk</sub>	24.00	MPa	
Resistenza a trazione parallela	f <sub>t,0,k</sub>	19.20	MPa	
Resistenza a trazione perpendicolare	f <sub>t,90,k</sub>	0.50	MPa	
Resistenza a compressione parallela	f <sub>c,0,k</sub>	24.00	MPa	
Resistenza a compressione perpendicolare	f <sub>c,90,k</sub>	2.50	MPa	
Resistenza a taglio	f <sub>v,k</sub>	3.50	MPa	
Modulo elastico parallelo medio	E <sub>0,mean</sub>	11500	MPa	
Modulo elastico parallelo caratteristico	E <sub>0,05</sub>	9600	MPa	
Modulo elastico perpendicolare medio	E <sub>90,mean</sub>	300.0	MPa	
Modulo elastico tangenziale medio	G <sub>mean</sub>	650.00	MPa	
Massa volumica	ρ <sub>k</sub>	385.00	kg/mc	
Classe di servizio		1		
Classe di durata del carico		azione breve durata		
Coefficiente correttivo per durata del carico e umidità	k <sub>mod</sub>	0.9		
Coefficiente correttivo per durata del carico	k <sub>def</sub>	0.6		
Coefficiente amplificativo resistenza	k <sub>h</sub>	1.10		
Combinazione di carico	SLU_comb. fondam. - legno lamellare incollato			
Coefficiente di sicurezza sul materiale	γ <sub>m</sub>	1.45		
Coefficiente di combinazione (neve)	ψ <sub>2</sub>	0.00		
<b>Analisi dei carichi:</b>				
peso proprio	p <sub>p</sub>	1.00	kN/mq	
carico permanente	G	4.70	kN/mq	
sovraccarico accidentale (neve)	Q <sub>sov</sub>	0.60	kN/mq	
pp+carico permanente	p <sub>p</sub> +G	5.70	kN/m	
carico accidentale	Q	0.60	kN/m	
carico amplificato sle	q <sub>sle</sub>	6.30	kN/m	
carico amplificato slu	q <sub>slu</sub>	8.31	kN/m	
carico combinazione incendio	q <sub>fuoco</sub>	5.70	kN/m	
<b>Geometria:</b>				
interasse trave	i	1.00	m	
larghezza appoggio	b <sub>p</sub>	0.16	m	
luce di calcolo	L <sub>c</sub>	4.53	m	
larghezza	b	1.00	m	
altezza	h	0.200	m	
area	A	2.00E-01	m <sup>2</sup>	
momento d'inerzia	J	6.67E-04	m <sup>4</sup>	
modulo resistente	W	6.67E-03	m <sup>3</sup>	
<b>Sollecitazioni slu:</b>				
momento flettente positivo	M <sub>Sd</sub>	21.32	kNm	
sforzo di taglio	V <sub>Sd</sub>	18.82	kN	
reazione all'appoggio	R <sub>Sd</sub>	18.82	kN	
<b>Verifica a taglio</b>				
sforzo di taglio	V <sub>Sd</sub>	18.82	kN	
area	A	0.20	m <sup>2</sup>	
coefficiente di fessurazione	k <sub>cr</sub>	0.67		
tensione tangenziale di calcolo	τ <sub>d</sub>	0.21	MPa	
resistenza di calcolo a taglio	f <sub>vd</sub>	2.17		
verifica: τ <sub>d</sub> ≤f <sub>vd</sub>		0.10		OK

<b>Verifica a compressione ortogonale alla fibra</b>				
reazione all'appoggio	RSd	18.82	kN	
lunghezza retrotrave	a		m	
distanza netta tra due successive impronte di carico (forze o reazioni)	l1		m	
lunghezza efficace di appoggio	lef	0.22	m	
area di contatto efficace in compressione	Aef	0.22	m <sup>2</sup>	
resistenza di progetto a compressione // fibratura	fc,90,d	1.55	MPa	
coefficiente che tiene conto della rottura per spacco	kc,90	1.00		
tensione di progetto a compressione orto fibratura nell'area di contatto eff	σc,90,d	0.09	MPa	
verifica: σc,90,d ≤ kc,90 · fc,90,d		0.06	OK	
<b>Verifica a flessione</b>				
momento flettente	MSd(x)	21.32	kNm	
modulo resistente	W	6.67E-03	m <sup>3</sup>	
resistenza di calcolo a flessione	fmd	16.39	MPa	
tensione di calcolo	σm,d	3.20	MPa	
verifica: σm,0,d ≤ fmd		0.20	OK	
<b>Verifica a deformazione</b>				
contromonta	wc	0	mm	
coefficiente freccia		5		
f istantanea carico permanente	winst(g)	4.2	mm = L/	1076
f creep carico permanente	wcr(g)	2.5	mm = L/	1793
f finale carico permanente	wfin(g)	6.7	mm = L/	672
f istantanea carico accidentale	winst(q)	0.4	mm = L/	10218
f creep carico accidentale	wcr(q)	0.0	mm = L/	
f finale carico accidentale	wfin(q)	0.4	mm = L/	10218
f istantanea carico permanente+ accidentale	winst(g+q)	4.7	mm = L/	973
f creep carico permanente+accidentale	wcr(g+q)	2.5	mm = L/	1793
f finale carico permanente + accidentale	wfin(g+q)	7.2	mm = L/	631
f finale carico permanente + accidentale - contromonta	wnetfin	7.2	mm = L/	631
<b>Verifica a vibrazioni</b>				
luce solaio	l	4.53	m	
		0.70		
massa solaio	m	581.04	kg/m <sup>2</sup>	
rigidezza di piastra equivalente	EJ	7666667	Nm <sup>2</sup> /m	
frequenza fondamentale	f1	18	Hz	
verifica 6/f1 < 1		0.33	OK	

<b>Verifica resistenza al fuoco</b>			
Coefficiente correttivo per durata del carico e umidità	kmod,fi	1.00	
Combinazione di carico		SLU_comb. eccezionali	
Coefficiente di sicurezza sul materiale	γm	1.00	
tipologia		Legno lamellare incollato	
fattore di conversione frattile 20 -valore caratteristico	kfi	1.15	
tempo di esposizione al fuoco	t	60	min
ritardo inizio carbonizzazione per presenza rivestimenti	tchar	0	min
tipologia		Conifere e faggio - legno lamellare p≥290 kg/mc	
velocità di carbonizzazione convenzionale	βn	0.7	mm/min
profondità di carbonizzazione convenzionale	d,char,n	42	mm
trattamento superficiale		superficie non protetta	
coefficiente	k0	1.00	
profondità strato per cui si assume resistenza e rigidità nulla	d0	7	mm
profondità di carbonizzazione efficace	def	49	mm
<b>Sezione residua</b>			
larghezza residua	b,fi	1.00	m
altezza residua	h,fi	0.15	m
area residua	A,fi	1.51E-01	m2
modulo resistente residuo	W,fi	3.80E-03	m3
<b>Sollecitazioni combinazione incendio:</b>			
momento flettente positivo	MSd,fi	14.62	kNm
sforzo di taglio	VSd,fi	12.91	kN
reazione all'appoggio	RSd,fi	12.91	kN
<b>Verifica a taglio incendio</b>			
sforzo di taglio	VSd	13	kN
area	A	0.15	m2
coefficiente di fessurazione	kcr	0.67	
tensione tangenziale di calcolo	τd	0.19	MPa
resistenza di calcolo a taglio	fvd	4.03	MPa
verifica: τd≤fvd		0.05	OK
<b>Verifica a compressione ortogonale alla fibra incendio</b>			
reazione all'appoggio	RSd	13	kN
lunghezza retrotrave	a		m
distanza netta tra due successive impronte di carico (forze o reazioni)	l1		m
lunghezza efficace di appoggio	lef	0.22	m
area di contatto efficace in compressione	Aef	0.22	m2
resistenza di progetto a compressione // fibratura	fc,90,d	2.88	MPa
coefficiente che tiene conto della rottura per spacco	kc,90	1.00	
tensione di progetto a compressione orto fibratura nell'area di contatto eff	σc,90,d	0.06	MPa
verifica: σc,90,d≤kc,90·fc,90,d		0.02	OK
<b>Verifica a flessione incendio</b>			
momento flettente	MSd	15	kNm
modulo resistente	W	0.00	m3
resistenza di calcolo a flessione	fmd	27.60	MPa
tensione di calcolo	σm,d	3.85	MPa
verifica: σm,d≤fmd		0.14	OK

Le principali verifiche risultano soddisfatte.

### 7.2.2.3 SOLAIO LIGNEO FRONTE SCALE

VERIFICHE LEGNO - LAMELLARE SDRAIATO FRONTE SCALE				
<b>Materiali:</b>				
Legno		Legno lamellare incollato		
Classe		Gl24h		
Resistenza a flessione	fmk	24.00	MPa	
Resistenza a trazione parallela	ft,0,k	19.20	MPa	
Resistenza a trazione perpendicolare	ft,90,k	0.50	MPa	
Resistenza a compressione parallela	fc,0,k	24.00	MPa	
Resistenza a compressione perpendicolare	fc,90,k	2.50	MPa	
Resistenza a taglio	fv,k	3.50	MPa	
Modulo elastico parallelo medio	E0,mean	11500	MPa	
Modulo elastico parallelo caratteristico	E0,05	9600	MPa	
Modulo elastico perpendicolare medio	E90,mean	300.0	MPa	
Modulo elastico tangenziale medio	G,mean	650.00	MPa	
Massa volumica	pk	385.00	kg/mc	
Classe di servizio		1		
Classe di durata del carico		azione breve durata		
Coefficiente correttivo per durata del carico e umidità	kmod	0.9		
Coefficiente correttivo per durata del carico	kdef	0.6		
Coefficiente amplificativo resistenza	kh	1.10		
Combinazione di carico		SLU_comb. fondam. - legno lamellare incollato		
Coefficiente di sicurezza sul materiale	γm	1.45		
Coefficiente di combinazione (scuola)	ψ2	0.60		
<b>Analisi dei carichi:</b>				
peso proprio	pp	1.00	kN/mq	
carico permanente	G	2.70	kN/mq	
sovraccarico accidentale (scuola)	Qsov	3.00	kN/mq	
pp+carico permanente	pp+G	3.70	kN/m	
carico accidentale	Q	3.00	kN/m	
carico amplificato sle	qsle	6.70	kN/m	
carico amplificato slu	qslu	9.31	kN/m	
carico combinazione incendio	qfuoco	5.50	kN/m	
<b>Geometria:</b>				
interasse trave	i	1.00	m	
larghezza appoggio	bp	0.12	m	
luce di calcolo	Lc	5.58	m	
larghezza	b	1.00	m	
altezza	h	0.200	m	
area	A	2.00E-01	m2	
momento d'inerzia	J	6.67E-04	m4	
modulo resistente	W	6.67E-03	m3	
<b>Sollecitazioni slu:</b>				
momento flettente positivo	MSd	36.23	kNm	
sforzo di taglio	VSd	25.97	kN	
reazione all'appoggio	RSd	25.97	kN	
<b>Verifica a taglio</b>				
sforzo di taglio	VSd	25.97	kN	
area	A	0.20	m2	
coefficiente di fessurazione	kcr	0.67		
tensione tangenziale di calcolo	τd	0.29	MPa	
resistenza di calcolo a taglio	fvd	2.17		
verifica: τd≤fvd		0.13		OK

<b>Verifica a compressione ortogonale alla fibra</b>				
reazione all'appoggio	RSd	25.97	kN	
lunghezza retrotrave	a		m	
distanza netta tra due successive impronte di carico (forze o reazioni)	l1		m	
lunghezza efficace di appoggio	lef	0.18	m	
area di contatto efficace in compressione	Aef	0.18	m <sup>2</sup>	
resistenza di progetto a compressione // fibratura	fc,90,d	1.55	MPa	
coefficiente che tiene conto della rottura per spacco	kc,90	1.00		
tensione di progetto a compressione orto fibratura nell'area di contatto eff	σc,90,d	0.14	MPa	
verifica: σc,90,d ≤ kc,90 · fc,90,d		0.09	OK	
<b>Verifica a flessione</b>				
momento flettente	MSd(x)	36.23	kNm	
modulo resistente	W	6.67E-03	m <sup>3</sup>	
resistenza di calcolo a flessione	fmd	16.39	MPa	
tensione di calcolo	σm,d	5.44	MPa	
verifica: σm,0,d ≤ fmd		0.33	OK	
<b>Verifica a deformazione</b>				
contromonta	wc	0	mm	
coefficiente freccia		5		
f istantanea carico permanente	winst(g)	6.2	mm = L/	896
f creep carico permanente	wcr(g)	3.7	mm = L/	1494
f finale carico permanente	wfin(g)	10.0	mm = L/	560
f istantanea carico accidentale	winst(q)	5.0	mm = L/	1106
f creep carico accidentale	wcr(q)	1.8	mm = L/	3071
f finale carico accidentale	wfin(q)	6.9	mm = L/	813
f istantanea carico permanente+ accidentale	winst(g+q)	11.3	mm = L/	495
f creep carico permanente+accidentale	wcr(g+q)	5.6	mm = L/	1005
f finale carico permanente + accidentale	wfin(g+q)	16.8	mm = L/	332
f finale carico permanente + accidentale - contromonta	wnetfin	16.8	mm = L/	332
<b>Verifica a vibrazioni</b>				
luce solaio	l	5.58	m	
		0.70		
massa solaio	m	560.65	kg/m <sup>2</sup>	
rigidezza di piastra equivalente	EJ	7666667	Nm <sup>2</sup> /m	
frequenza fondamentale	f1	12	Hz	
verifica 6/f1 < 1		0.50	OK	

<b>Verifica resistenza al fuoco</b>			
Coefficiente correttivo per durata del carico e umidità	kmod,fi	1.00	
Combinazione di carico		SLU_comb. eccezionali	
Coefficiente di sicurezza sul materiale	γm	1.00	
tipologia		Legno lamellare incollato	
fattore di conversione frattile 20 -valore caratteristico	kfi	1.15	
tempo di esposizione al fuoco	t	60	min
ritardo inizio carbonizzazione per presenza rivestimenti	tchar	0	min
tipologia		Conifere e faggio - legno lamellare p≥290 kg/mc	
velocità di carbonizzazione convenzionale	βn	0.7	mm/min
profondità di carbonizzazione convenzionale	d,char,n	42	mm
trattamento superficiale		superficie non protetta	
coefficiente	k0	1.00	
profondità strato per cui si assume resistenza e rigidità nulla	d0	7	mm
profondità di carbonizzazione efficace	def	49	mm
<b>Sezione residua</b>			
larghezza residua	b,fi	1.00	m
altezza residua	h,fi	0.15	m
area residua	A,fi	1.51E-01	m2
modulo resistente residuo	W,fi	3.80E-03	m3
<b>Sollecitazioni combinazione incendio:</b>			
momento flettente positivo	MSd,fi	21.41	kNm
sforzo di taglio	VSd,fi	15.35	kN
reazione all'appoggio	RSd,fi	15.35	kN
<b>Verifica a taglio incendio</b>			
sforzo di taglio	VSd	15	kN
area	A	0.15	m2
coefficiente di fessurazione	kcr	0.67	
tensione tangenziale di calcolo	τd	0.23	MPa
resistenza di calcolo a taglio	fvd	4.03	MPa
verifica: τd≤fvd		0.06	OK
<b>Verifica a compressione ortogonale alla fibra incendio</b>			
reazione all'appoggio	RSd	15	kN
lunghezza retrotrave	a		m
distanza netta tra due successive impronte di carico (forze o reazioni)	l1		m
lunghezza efficace di appoggio	lef	0.18	m
area di contatto efficace in compressione	Aef	0.18	m2
resistenza di progetto a compressione // fibratura	fc,90,d	2.88	MPa
coefficiente che tiene conto della rottura per spacco	kc,90	1.00	
tensione di progetto a compressione orto fibratura nell'area di contatto eff	σc,90,d	0.09	MPa
verifica: σc,90,d≤kc,90·fc,90,d		0.03	OK
<b>Verifica a flessione incendio</b>			
momento flettente	MSd	21	kNm
modulo resistente	W	0.00	m3
resistenza di calcolo a flessione	fmd	27.60	MPa
tensione di calcolo	σm,d	5.63	MPa
verifica: σm,d≤fmd		0.20	OK

Le principali verifiche risultano soddisfatte.

---

### **7.2.3 VERIFICA TRAVI LIGNEE**

Le travi e le architravi lignee a sostegno degli impalcati in lamellare sono realizzate in legno lamellare di classe GL24h. Agli elementi lignei, alle piastre e alle pareti è richiesta una resistenza al fuoco REI 60'.

Si riportano di seguito le principali verifiche condotte per tali elementi.



### 7.2.3.1 ARCHITRAVE DI FACCIATA

Le architravi di facciata sono in semplice appoggio e sono realizzate in legno lamellare classe GL24h.

VERIFICHE LEGNO - ARCHITRAVE DI FACCIATA				
<b>Materiali:</b>				
Legno		Legno lamellare incollato		
Classe		GL24h		
Resistenza a flessione	fmk	24.00	MPa	
Resistenza a trazione parallela	ft,0,k	19.20	MPa	
Resistenza a trazione perpendicolare	ft,90,k	0.50	MPa	
Resistenza a compressione parallela	fc,0,k	24.00	MPa	
Resistenza a compressione perpendicolare	fc,90,k	2.50	MPa	
Resistenza a taglio	fv,k	3.50	MPa	
Modulo elastico parallelo medio	E0,mean	11500	MPa	
Modulo elastico parallelo caratteristico	E0,05	9600	MPa	
Modulo elastico perpendicolare medio	E90,mean	300.0	MPa	
Modulo elastico tangenziale medio	G,mean	650.00	MPa	
Massa volumica	pk	385.00	kg/mc	
Classe di servizio		1		
Classe di durata del carico		azione breve durata		
Coefficiente correttivo per durata del carico e umidità	kmod	0.9		
Coefficiente correttivo per durata del carico	kdef	0.6		
Coefficiente amplificativo resistenza	kh	1.00		
Combinazione di carico		SLU_comb. fondam. - legno lamellare incollato		
Coefficiente di sicurezza sul materiale	γm	1.45		
Coefficiente di combinazione (scuola)	ψ2	0.60		
<b>Analisi dei carichi:</b>				
peso proprio	pp	0.11	kN/mq	
carico permanente	G	2.70	kN/mq	
sovraccarico accidentale (scuola)	Qsov	3.00	kN/mq	
pp+carico permanente	pp+G	11.82	kN/m	
carico accidentale	Q	12.60	kN/m	
carico amplificato sle	qsle	24.42	kN/m	
carico amplificato slu	qslu	34.27	kN/m	
carico combinazione incendio	qfuoco	19.38	kN/m	
<b>Geometria:</b>				
interasse trave	i	4.20	m	
larghezza appoggio	bp	0.20	m	
luce di calcolo	Lc	4.80	m	
larghezza	b	0.16	m	
altezza	h	0.600	m	
area	A	9.60E-02	m2	
momento d'inerzia	J	2.88E-03	m4	
modulo resistente	W	9.60E-03	m3	
<b>Sollecitazioni sl:</b>				
momento flettente positivo	MSd	98.69	kNm	
sforzo di taglio	VSd	82.24	kN	
reazione all'appoggio	RSd	82.24	kN	
<b>Verifica a taglio</b>				
sforzo di taglio	VSd	82.24	kN	
area	A	0.10	m2	
coefficiente di fessurazione	kcr	0.67		
tensione tangenziale di calcolo	τd	1.92	MPa	
resistenza di calcolo a taglio	fvd	2.17		
verifica: τd≤fvd		0.88		OK

<b>Verifica a compressione ortogonale alla fibra</b>				
reazione all'appoggio	RSd	82.24	kN	
lunghezza retrotrave	a	0.00	m	
distanza netta tra due successive impronte di carico (forze o reazioni)	l1		m	
lunghezza efficace di appoggio	lef	0.23	m	
area di contatto efficace in compressione	Aef	0.04	m <sup>2</sup>	
resistenza di progetto a compressione // fibratura	fc,90,d	1.55	MPa	
coefficiente che tiene conto della rottura per spacco	kc,90	1.50		
tensione di progetto a compressione orto fibratura nell'area di contatto eff	σc,90,d	2.23	MPa	
verifica: σc,90,d ≤ kc,90 · fc,90,d		0.96		OK
<b>Verifica a flessione</b>				
momento flettente	MSd(x)	98.69	kNm	
modulo resistente	W	9.60E-03	m <sup>3</sup>	
resistenza di calcolo a flessione	fmd	14.90	MPa	
tensione di calcolo	σm,d	10.28	MPa	
verifica: σm,0,d ≤ fmd		0.69		OK
<b>Verifica a deformazione</b>				
contromonta	wc	0	mm	
coefficiente freccia		5		
f istantanea carico permanente	winst(g)	3.1	mm = L/	1538
f creep carico permanente	wcr(g)	1.9	mm = L/	2563
f finale carico permanente	wfin(g)	5.0	mm = L/	961
f istantanea carico accidentale	winst(q)	3.3	mm = L/	1443
f creep carico accidentale	wcr(q)	1.2	mm = L/	4007
f finale carico accidentale	wfin(q)	4.5	mm = L/	1061
f istantanea carico permanente+ accidentale	winst(g+q)	6.4	mm = L/	744
f creep carico permanente+accidentale	wcr(g+q)	3.1	mm = L/	1563
f finale carico permanente + accidentale	wfin(g+q)	9.5	mm = L/	504
f finale carico permanente + accidentale - contromonta	wnetfin	9.5	mm = L/	504
<b>Verifica a vibrazioni</b>				
luce solaio	l	4.80	m	
		0.70		
massa solaio	m	470.37	kg/m <sup>2</sup>	
rigidezza di piastra equivalente	EJ	7885714	Nm <sup>2</sup> /m	
frequenza fondamentale	f1	18	Hz	
verifica 6/f1 < 1		0.33		OK

<b>Verifica resistenza al fuoco</b>			
Coefficiente correttivo per durata del carico e umidità	kmod,fi	1.00	
Combinazione di carico		SLU_comb. eccezionali	
Coefficiente di sicurezza sul materiale	γm	1.00	
tipologia		Legno lamellare incollato	
fattore di conversione frattile 20 -valore caratteristico	kfi	1.15	
tempo di esposizione al fuoco	t	60	min
ritardo inizio carbonizzazione per presenza rivestimenti	tchar	0	min
tipologia		Conifere e faggio - legno lamellare p≥290 kg/mc	
velocità di carbonizzazione convenzionale	βn	0.7	mm/min
profondità di carbonizzazione convenzionale	d,char,n	42	mm
trattamento superficiale		superficie non protetta	
coefficiente	k0	1.00	
profondità strato per cui si assume resistenza e rigidità nulla	d0	7	mm
profondità di carbonizzazione efficace	def	49	mm
<b>Sezione residua</b>			
larghezza residua	b,fi	0.11	m
altezza residua	h,fi	0.55	m
area residua	A,fi	6.12E-02	m2
modulo resistente residuo	W,fi	5.62E-03	m3
<b>Sollecitazioni combinazione incendio:</b>			
momento flettente positivo	MSd,fi	55.81	kNm
sforzo di taglio	VSd,fi	46.51	kN
reazione all'appoggio	RSd,fi	46.51	kN
<b>Verifica a taglio incendio</b>			
sforzo di taglio	VSd	47	kN
area	A	0.06	m2
coefficiente di fessurazione	kcr	0.67	
tensione tangenziale di calcolo	τd	1.70	MPa
resistenza di calcolo a taglio	fvd	4.03	MPa
verifica: τd≤fvd		0.42	OK
<b>Verifica a compressione ortogonale alla fibra incendio</b>			
reazione all'appoggio	RSd	47	kN
lunghezza retrotrave	a	0.00	m
distanza netta tra due successive impronte di carico (forze o reazioni)	l1		m
lunghezza efficace di appoggio	lef	0.18	m
area di contatto efficace in compressione	Aef	0.02	m2
resistenza di progetto a compressione // fibratura	fc,90,d	2.88	MPa
coefficiente che tiene conto della rottura per spacco	kc,90	1.50	
tensione di progetto a compressione orto fibratura nell'area di contatto eff	σc,90,d	2.32	MPa
verifica: σc,90,d≤kc,90·fc,90,d		0.54	OK
<b>Verifica a flessione incendio</b>			
momento flettente	MSd	56	kNm
modulo resistente	W	0.01	m3
resistenza di calcolo a flessione	fmd	27.60	MPa
tensione di calcolo	σm,d	9.94	MPa
verifica: σm,0,d≤fmd		0.36	OK

### 7.2.3.2 ARCHITRAVE CENTRALE (2 CAMPATE)

VERIFICHE LEGNO - ARCHITRAVE CENTRALE 2 CAMPATE				
<b>Materiali:</b>				
Legno		Legno lamellare incollato		
Classe		GL24h		
Resistenza a flessione	fmk	24.00	MPa	
Resistenza a trazione parallela	ft,0,k	19.20	MPa	
Resistenza a trazione perpendicolare	ft,90,k	0.50	MPa	
Resistenza a compressione parallela	fc,0,k	24.00	MPa	
Resistenza a compressione perpendicolare	fc,90,k	2.50	MPa	
Resistenza a taglio	fv,k	3.50	MPa	
Modulo elastico parallelo medio	E0,mean	11500	MPa	
Modulo elastico parallelo caratteristico	E0,05	9600	MPa	
Modulo elastico perpendicolare medio	E90,mean	300.0	MPa	
Modulo elastico tangenziale medio	G,mean	650.00	MPa	
Massa volumica	pk	385.00	kg/mc	
Classe di servizio		1		
Classe di durata del carico		azione breve durata		
Coefficiente correttivo per durata del carico e umidità	kmod	0.9		
Coefficiente correttivo per durata del carico	kdef	0.6		
Coefficiente amplificativo resistenza	kh	1.00		
Combinazione di carico		SLU_comb. fondam. - legno lamellare incollato		
Coefficiente di sicurezza sul materiale	γm	1.45		
Coefficiente di combinazione (scuola)	ψ2	0.60		
<b>Analisi dei carichi:</b>				
peso proprio	pp	0.06	kN/mq	
carico permanente	G	2.70	kN/mq	
sovraccarico accidentale (scuola)	Qsov	3.00	kN/mq	
pp+carico permanente	pp+G	21.95	kN/m	
carico accidentale	Q	23.85	kN/m	
carico amplificato sle	qsle	45.80	kN/m	
carico amplificato slu	qslu	64.30	kN/m	
carico combinazione incendio	qfuoco	36.26	kN/m	
<b>Geometria:</b>				
interasse trave	i	7.95	m	
larghezza appoggio	bp	0.20	m	
luce di calcolo	Lc	2.03	m	
larghezza	b	0.16	m	
altezza	h	0.600	m	
area	A	9.60E-02	m2	
momento d'inerzia	J	2.88E-03	m4	
modulo resistente	W	9.60E-03	m3	
<b>Sollecitazioni slu:</b>				
momento flettente positivo	MSd	33.12	kNm	
sforzo di taglio	VSd	81.59	kN	
reazione all'appoggio	RSd	163.17	kN	
<b>Verifica a taglio</b>				
sforzo di taglio	VSd	81.59	kN	
area	A	0.10	m2	
coefficiente di fessurazione	kcr	0.67		
tensione tangenziale di calcolo	τd	1.90	MPa	
resistenza di calcolo a taglio	fvd	2.17		
verifica: τd≤fvd		0.88		OK

<b>Verifica a compressione ortogonale alla fibra</b>				
reazione all'appoggio	RSd	163.17	kN	
lunghezza retrotrave	a	0.00	m	
distanza netta tra due successive impronte di carico (forze o reazioni)	l1		m	
lunghezza efficace di appoggio	lef	0.23	m	
area di contatto efficace in compressione	Aef	0.04	m <sup>2</sup>	
resistenza di progetto a compressione // fibratura	fc,90,d	1.55	MPa	
coefficiente che tiene conto della rottura per spacco	kc,90	1.50		
tensione di progetto a compressione orto fibratura nell'area di contatto eff	σc,90,d	4.43	MPa	
verifica: σc,90,d ≤ kc,90 · fc,90,d		1.90		NO
<b>Verifica a flessione</b>				
momento flettente	MSd(x)	33.12	kNm	
modulo resistente	W	9.60E-03	m <sup>3</sup>	
resistenza di calcolo a flessione	fmd	14.90	MPa	
tensione di calcolo	σm,d	3.45	MPa	
verifica: σm,d ≤ fmd		0.23		OK
<b>Verifica a deformazione</b>				
contromonta	wc	0	mm	
coefficiente freccia		3		
f istantanea carico permanente	winst(g)	0.3	mm =L/	6649
f creep carico permanente	wcr(g)	0.2	mm =L/	11082
f finale carico permanente	wfin(g)	0.5	mm =L/	4156
f istantanea carico accidentale	winst(q)	0.3	mm =L/	6118
f creep carico accidentale	wcr(q)	0.1	mm =L/	16995
f finale carico accidentale	wfin(q)	0.5	mm =L/	4499
f istantanea carico permanente+ accidentale	winst(g+q)	0.6	mm =L/	3186
f creep carico permanente+accidentale	wcr(g+q)	0.3	mm =L/	6708
f finale carico permanente + accidentale	wfin(g+q)	0.9	mm =L/	2160
f finale carico permanente + accidentale - contromonta	wnetfin	0.9	mm =L/	2160
<b>Verifica a vibrazioni</b>				
luce solaio	l	2.03	m	
		0.70		
massa solaio	m	464.87	kg/m <sup>2</sup>	
rigidezza di piastra equivalente	EJ	4166038	Nm <sup>2</sup> /m	
frequenza fondamentale	f1	74	Hz	
verifica 6/f1 < 1		0.08		OK

La verifica a compressione ortogonale alla fibratura in appoggio non è verificata. Si adotteranno quindi dei rinforzi a compressione ortogonale realizzati mediante 2 viti a tutto filetto.

<b>Verifica resistenza al fuoco</b>			
Coefficiente correttivo per durata del carico e umidità	kmod,fi	1.00	
Combinazione di carico		SLU_comb. eccezionali	
Coefficiente di sicurezza sul materiale	γm	1.00	
tipologia		Legno lamellare incollato	
fattore di conversione frattile 20 -valore caratteristico	kfi	1.15	
tempo di esposizione al fuoco	t	60	min
ritardo inizio carbonizzazione per presenza rivestimenti	tchar	0	min
tipologia		Conifere e faggio - legno lamellare p≥290 kg/mc	
velocità di carbonizzazione convenzionale	βn	0.7	mm/min
profondità di carbonizzazione convenzionale	d,char,n	42	mm
trattamento superficiale		superficie non protetta	
coefficiente	k0	1.00	
profondità strato per cui si assume resistenza e rigidità nulla	d0	7	mm
profondità di carbonizzazione efficace	def	49	mm
<b>Sezione residua</b>			
larghezza residua	b,fi	0.11	m
altezza residua	h,fi	0.55	m
area residua	A,fi	6.12E-02	m2
modulo resistente residuo	W,fi	5.62E-03	m3
<b>Sollecitazioni combinazione incendio:</b>			
momento flettente positivo	MSd,fi	18.68	kNm
sforzo di taglio	VSd,fi	36.80	kN
reazione all'appoggio	RSd,fi	36.80	kN
<b>Verifica a taglio incendio</b>			
sforzo di taglio	VSd	✔ 37	kN
area	A	✔ 0.06	m2
coefficiente di fessurazione	kcr	✔ 0.67	
tensione tangenziale di calcolo	τd	✔ 1.35	MPa
resistenza di calcolo a taglio	fvd	✔ 4.03	MPa
verifica: τd≤fvd		✔ 0.33	OK
<b>Verifica a compressione ortogonale alla fibra incendio</b>			
reazione all'appoggio	RSd	✔ 37	kN
lunghezza retrotrave	a	✔ 0.00	m
distanza netta tra due successive impronte di carico (forze o reazioni)	l1		m
lunghezza efficace di appoggio	lef	✔ 0.18	m
area di contatto efficace in compressione	Aef	✔ 0.02	m2
resistenza di progetto a compressione // fibratura	fc,90,d	✔ 2.88	MPa
coefficiente che tiene conto della rottura per spacco	kc,90	✔ 1.50	
tensione di progetto a compressione orto fibratura nell'area di contatto eff	σc,90,d	✔ 1.83	MPa
verifica: σc,90,d≤kc,90·fc,90,d		✔ 0.42	OK
<b>Verifica a flessione incendio</b>			
momento flettente	MSd	✔ 19	kNm
modulo resistente	W	✔ 0.01	m3
resistenza di calcolo a flessione	fmd	✔ 27.60	MPa
tensione di calcolo	σm,d	✔ 3.33	MPa
verifica: σm,d≤fmd		✔ 0.12	OK

Le principali verifiche risultano soddisfatte.

### 7.2.3.3 ARCHITRAVE CENTRALE CORTA (2 APPOGGI)

VERIFICHE LEGNO - ARCHITRAVE CENTRALE CORTA 2 APPOGGI				
<b>Materiali:</b>				
Legno		Legno lamellare incollato		
Classe		GL24h		
Resistenza a flessione	fmk	24.00	MPa	
Resistenza a trazione parallela	ft,0,k	19.20	MPa	
Resistenza a trazione perpendicolare	ft,90,k	0.50	MPa	
Resistenza a compressione parallela	fc,0,k	24.00	MPa	
Resistenza a compressione perpendicolare	fc,90,k	2.50	MPa	
Resistenza a taglio	fv,k	3.50	MPa	
Modulo elastico parallelo medio	E0,mean	11500	MPa	
Modulo elastico parallelo caratteristico	E0,05	9600	MPa	
Modulo elastico perpendicolare medio	E90,mean	300.0	MPa	
Modulo elastico tangenziale medio	G,mean	650.00	MPa	
Massa volumica	pk	385.00	kg/mc	
Classe di servizio		1		
Classe di durata del carico		azione breve durata		
Coefficiente correttivo per durata del carico e umidità	kmod	0.9		
Coefficiente correttivo per durata del carico	kdef	0.6		
Coefficiente amplificativo resistenza	kh	1.00		
Combinazione di carico		SLU_comb. fondam. - legno lamellare incollato		
Coefficiente di sicurezza sul materiale	ym	1.45		
Coefficiente di combinazione (scuola)	ψ2	0.60		
<b>Analisi dei carichi:</b>				
peso proprio	pp	0.06	kN/mq	
carico permanente	G	2.70	kN/mq	
sovraccarico accidentale (scuola)	Qsov	3.00	kN/mq	
pp+carico permanente	pp+G	21.95	kN/m	
carico accidentale	Q	23.85	kN/m	
carico amplificato sle	qsle	45.80	kN/m	
carico amplificato slu	qslu	64.30	kN/m	
carico combinazione incendio	qfuoco	36.26	kN/m	
<b>Geometria:</b>				
interasse trave	i	7.95	m	
larghezza appoggio	bp	0.20	m	
luce di calcolo	Lc	2.47	m	
larghezza	b	0.16	m	
altezza	h	0.600	m	
area	A	9.60E-02	m2	
momento d'inerzia	J	2.88E-03	m4	
modulo resistente	W	9.60E-03	m3	
<b>Sollecitazioni slu:</b>				
momento flettente positivo	MSd	49.04	kNm	
sforzo di taglio	VSd	79.41	kN	
reazione all'appoggio	RSd	79.41	kN	
<b>Verifica a taglio</b>				
sforzo di taglio	VSd	79.41	kN	
area	A	0.10	m2	
coefficiente di fessurazione	kcr	0.67		
tensione tangenziale di calcolo	τd	1.85	MPa	
resistenza di calcolo a taglio	fvd	2.17		
verifica: τd≤fvd		0.85		OK

<b>Verifica a compressione ortogonale alla fibra</b>				
reazione all'appoggio	RSd	79.41	kN	
lunghezza retrotrave	a	0.00	m	
distanza netta tra due successive impronte di carico (forze o reazioni)	l1		m	
lunghezza efficace di appoggio	lef	0.23	m	
area di contatto efficace in compressione	Aef	0.04	m <sup>2</sup>	
resistenza di progetto a compressione // fibratura	fc,90,d	1.55	MPa	
coefficiente che tiene conto della rottura per spacco	kc,90	1.50		
tensione di progetto a compressione orto fibratura nell'area di contatto eff	σc,90,d	2.16	MPa	
verifica: σc,90,d ≤ kc,90 · fc,90,d		0.93	OK	
<b>Verifica a flessione</b>				
momento flettente	MSd(x)	49.04	kNm	
modulo resistente	W	9.60E-03	m <sup>3</sup>	
resistenza di calcolo a flessione	fmd	14.90	MPa	
tensione di calcolo	σm,d	5.11	MPa	
verifica: σm,d ≤ fmd		0.34	OK	
<b>Verifica a deformazione</b>				
contromonta	wc	0	mm	
coefficiente freccia		5		
f istantanea carico permanente	winst(g)	0.6	mm =L/	3842
f creep carico permanente	wcr(g)	0.4	mm =L/	6403
f finale carico permanente	wfin(g)	1.0	mm =L/	2401
f istantanea carico accidentale	winst(q)	0.7	mm =L/	3535
f creep carico accidentale	wcr(q)	0.3	mm =L/	9819
f finale carico accidentale	wfin(q)	1.0	mm =L/	2599
f istantanea carico permanente+ accidentale	winst(g+q)	1.3	mm =L/	1841
f creep carico permanente+accidentale	wcr(g+q)	0.6	mm =L/	3876
f finale carico permanente + accidentale	wfin(g+q)	2.0	mm =L/	1248
f finale carico permanente + accidentale - contromonta	wnetfin	2.0	mm =L/	1248
<b>Verifica a vibrazioni</b>				
luce solaio	l	2.47	m	
		0.70		
massa solaio	m	464.87	kg/m <sup>2</sup>	
rigidezza di piastra equivalente	EJ	4166038	Nm <sup>2</sup> /m	
frequenza fondamentale	f1	50	Hz	
verifica 6/f1 < 1		0.12	OK	



<b>Verifica resistenza al fuoco</b>			
Coefficiente correttivo per durata del carico e umidità	kmod,fi	1.00	
Combinazione di carico		SLU_comb. eccezionali	
Coefficiente di sicurezza sul materiale	γm	1.00	
tipologia		Legno lamellare incollato	
fattore di conversione frattile 20 -valore caratteristico	kfi	1.15	
tempo di esposizione al fuoco	t	60	min
ritardo inizio carbonizzazione per presenza rivestimenti	tchar	0	min
tipologia		Conifere e faggio - legno lamellare p≥290 kg/mc	
velocità di carbonizzazione convenzionale	βn	0.7	mm/min
profondità di carbonizzazione convenzionale	d,char,n	42	mm
trattamento superficiale		superficie non protetta	
coefficiente	k0	1.00	
profondità strato per cui si assume resistenza e rigidità nulla	d0	7	mm
profondità di carbonizzazione efficace	def	49	mm
<b>Sezione residua</b>			
larghezza residua	b,fi	0.11	m
altezza residua	h,fi	0.55	m
area residua	A,fi	6.12E-02	m2
modulo resistente residuo	W,fi	5.62E-03	m3
<b>Sollecitazioni combinazione incendio:</b>			
momento flettente positivo	MSd,fi	27.65	kNm
sforzo di taglio	VSd,fi	44.77	kN
reazione all'appoggio	RSd,fi	44.77	kN
<b>Verifica a taglio incendio</b>			
sforzo di taglio	VSd	45	kN
area	A	0.06	m2
coefficiente di fessurazione	kcr	0.67	
tensione tangenziale di calcolo	τd	1.64	MPa
resistenza di calcolo a taglio	fvd	4.03	MPa
verifica: τd≤fvd		0.41	OK
<b>Verifica a compressione ortogonale alla fibra incendio</b>			
reazione all'appoggio	RSd	45	kN
lunghezza retrotrave	a	0.00	m
distanza netta tra due successive impronte di carico (forze o reazioni)	l1		m
lunghezza efficace di appoggio	lef	0.18	m
area di contatto efficace in compressione	Aef	0.02	m2
resistenza di progetto a compressione // fibratura	fc,90,d	2.88	MPa
coefficiente che tiene conto della rottura per spacco	kc,90	1.50	
tensione di progetto a compressione orto fibratura nell'area di contatto eff	σc,90,d	2.23	MPa
verifica: σc,90,d≤kc,90·fc,90,d		0.52	OK
<b>Verifica a flessione incendio</b>			
momento flettente	MSd	28	kNm
modulo resistente	W	0.01	m3
resistenza di calcolo a flessione	fmd	27.60	MPa
tensione di calcolo	σm,d	4.92	MPa
verifica: σm,0,d≤fmd		0.18	OK

Le principali verifiche risultano soddisfatte.

### 7.2.3.4 TRAVE LIGNEA VANO SCALE (BORDO PIANEROTTOLO)

VERIFICHE LEGNO - TRAVE SCALE BORDO PIANEROTTOLO			
<b>Materiali:</b>			
Legno	Legno lamellare incollato		
Classe	GL24h		
Resistenza a flessione	f <sub>mk</sub>	24.00	MPa
Resistenza a trazione parallela	f <sub>t,0,k</sub>	19.20	MPa
Resistenza a trazione perpendicolare	f <sub>t,90,k</sub>	0.50	MPa
Resistenza a compressione parallela	f <sub>c,0,k</sub>	24.00	MPa
Resistenza a compressione perpendicolare	f <sub>c,90,k</sub>	2.50	MPa
Resistenza a taglio	f <sub>v,k</sub>	3.50	MPa
Modulo elastico parallelo medio	E <sub>0,mean</sub>	11500	MPa
Modulo elastico parallelo caratteristico	E <sub>0,05</sub>	9600	MPa
Modulo elastico perpendicolare medio	E <sub>90,mean</sub>	300.0	MPa
Modulo elastico tangenziale medio	G <sub>mean</sub>	650.00	MPa
Massa volumica	ρ <sub>k</sub>	385.00	kg/mc
Classe di servizio	1		
Classe di durata del carico	azione breve durata		
Coefficiente correttivo per durata del carico e umidità	k <sub>mod</sub>	0.9	
Coefficiente correttivo per durata del carico	k <sub>def</sub>	0.6	
Coefficiente amplificativo resistenza	k <sub>h</sub>	1.10	
Combinazione di carico	SLU_comb. fondam. - legno lamellare incollato		
Coefficiente di sicurezza sul materiale	γ <sub>m</sub>	1.45	
Coefficiente di combinazione (scuola)	ψ <sub>2</sub>	0.60	
<b>Analisi dei carichi:</b>			
peso proprio	p <sub>p</sub>	0.18	kN/mq
carico permanente	G	1.40	kN/mq
sovraccarico accidentale (scuola)	Q <sub>sov</sub>	4.00	kN/mq
peso vetrata	p <sub>vetr</sub>	2.88	kN/m
pp+carico permanente	p <sub>p</sub> +G	4.78	kN/m
carico accidentale	Q	4.80	kN/m
carico amplificato sle	q <sub>sle</sub>	9.58	kN/m
carico amplificato slu	q <sub>slu</sub>	13.41	kN/m
carico combinazione incendio	q <sub>fuoco</sub>	7.66	kN/m
<b>Geometria:</b>			
interasse trave	i	1.20	m
larghezza appoggio	b <sub>p</sub>	0.00	m
luce di calcolo	L <sub>c</sub>	3.60	m
larghezza	b	0.18	m
altezza	h	0.240	m
area	A	4.32E-02	m <sup>2</sup>
momento d'inerzia	J	2.07E-04	m <sup>4</sup>
modulo resistente	W	1.73E-03	m <sup>3</sup>
<b>Sollecitazioni slu:</b>			
momento flettente positivo	M <sub>Sd</sub>	21.72	kNm
sforzo di taglio	V <sub>Sd</sub>	24.14	kN
reazione all'appoggio	R <sub>Sd</sub>	24.14	kN
<b>Verifica a taglio</b>			
sforzo di taglio	V <sub>Sd</sub>	24.14	kN
area	A	0.04	m <sup>2</sup>
coefficiente di fessurazione	k <sub>cr</sub>	0.67	
tensione tangenziale di calcolo	τ <sub>d</sub>	1.25	MPa
resistenza di calcolo a taglio	f <sub>vd</sub>	2.17	
verifica: τ <sub>d</sub> ≤ f <sub>vd</sub>		0.58	OK

<b>Verifica a flessione</b>				
momento flettente	MSd(x)	21.72	kNm	
modulo resistente	W	1.73E-03	m <sup>3</sup>	
resistenza di calcolo a flessione	fmd	16.33	MPa	
tensione di calcolo	σ <sub>m,d</sub>	12.57	MPa	
verifica: σ <sub>m,d</sub> ≤ fmd		0.77	OK	
<b>Verifica a deformazione</b>				
contromonta	wc	0	mm	
coefficiente freccia		5		
f istantanea carico permanente	winst(g)	4.7	mm =L/	764
f creep carico permanente	wcr(g)	2.8	mm =L/	1274
f finale carico permanente	wfin(g)	7.5	mm =L/	478
f istantanea carico accidentale	winst(q)	4.7	mm =L/	760
f creep carico accidentale	wcr(q)	1.7	mm =L/	2112
f finale carico accidentale	wfin(q)	6.4	mm =L/	559
f istantanea carico permanente+ accidentale	winst(g+q)	9.4	mm =L/	381
f creep carico permanente+accidentale	wcr(g+q)	4.5	mm =L/	795
f finale carico permanente + accidentale	wfin(g+q)	14.0	mm =L/	258
f finale carico permanente + accidentale - contromonta	wnetfin	14.0	mm =L/	258
<b>Verifica resistenza al fuoco</b>				
Coefficiente correttivo per durata del carico e umidità	k <sub>mod,fi</sub>	1.00		
Combinazione di carico		SLU_comb. eccezionali		
Coefficiente di sicurezza sul materiale	γ <sub>m</sub>	1.00		
tipologia		Legno lamellare incollato		
fattore di conversione frattile 20 -valore caratteristico	k <sub>fi</sub>	1.15		
tempo di esposizione al fuoco	t	60	min	
ritardo inizio carbonizzazione per presenza rivestimenti	t <sub>char</sub>	0	min	
tipologia		Conifere e faggio - legno lamellare p≥290 kg/mc		
velocità di carbonizzazione convenzionale	β <sub>n</sub>	0.7	mm/min	
profondità di carbonizzazione convenzionale	d <sub>char,n</sub>	42	mm	
trattamento superficiale		superficie non protetta		
coefficiente	k <sub>0</sub>	1.00		
profondità strato per cui si assume resistenza e rigidezza nulla	d <sub>0</sub>	7	mm	
profondità di carbonizzazione efficace	def	49	mm	
<b>Sezione residua</b>				
larghezza residua	b <sub>fi</sub>	0.13	m	
altezza residua	h <sub>fi</sub>	0.19	m	
area residua	A <sub>fi</sub>	2.50E-02	m <sup>2</sup>	
modulo resistente residuo	W <sub>fi</sub>	7.97E-04	m <sup>3</sup>	
<b>Sollecitazioni combinazione incendio:</b>				
momento flettente positivo	MSd,fi	12.40	kNm	
sforzo di taglio	VSd,fi	13.78	kN	
reazione all'appoggio	RSd,fi	13.78	kN	
<b>Verifica a taglio incendio</b>				
sforzo di taglio	VSd	14	kN	
area	A	0.03	m <sup>2</sup>	
coefficiente di fessurazione	k <sub>cr</sub>	0.67		
tensione tangenziale di calcolo	τ <sub>d</sub>	1.23	MPa	
resistenza di calcolo a taglio	f <sub>vd</sub>	4.03	MPa	
verifica: τ <sub>d</sub> ≤ f <sub>vd</sub>		0.31	OK	
<b>Verifica a flessione incendio</b>				
momento flettente	MSd	12	kNm	
modulo resistente	W	0.00	m <sup>3</sup>	
resistenza di calcolo a flessione	fmd	27.60	MPa	
tensione di calcolo	σ <sub>m,d</sub>	15.57	MPa	
verifica: σ <sub>m,d</sub> ≤ fmd		0.56	OK	

Le principali verifiche risultano soddisfatte.

### 7.2.3.5 TRAVE LIGNEA VANO SCALE (INTERNA PIANEROTTOLO)

VERIFICHE LEGNO - TRAVE SCALE PRINCIPALE PIANEROTTOLO			
<b>Materiali:</b>			
Legno		Legno lamellare incollato	
Classe		GL24h	
Resistenza a flessione	fmk	24.00	MPa
Resistenza a trazione parallela	ft,0,k	19.20	MPa
Resistenza a trazione perpendicolare	ft,90,k	0.50	MPa
Resistenza a compressione parallela	fc,0,k	24.00	MPa
Resistenza a compressione perpendicolare	fc,90,k	2.50	MPa
Resistenza a taglio	fv,k	3.50	MPa
Modulo elastico parallelo medio	E0,mean	11500	MPa
Modulo elastico parallelo caratteristico	E0,05	9600	MPa
Modulo elastico perpendicolare medio	E90,mean	300.0	MPa
Modulo elastico tangenziale medio	G,mean	650.00	MPa
Massa volumica	pk	385.00	kg/mc
Classe di servizio		1	
Classe di durata del carico		azione breve durata	
Coefficiente correttivo per durata del carico e umidità	kmod	0.9	
Coefficiente correttivo per durata del carico	kdef	0.6	
Coefficiente amplificativo resistenza	kh	1.06	
Combinazione di carico		SLU_comb. fondam. - legno lamellare incollato	
Coefficiente di sicurezza sul materiale	ym	1.45	
Coefficiente di combinazione (scuola)	ψ2	0.60	
<b>Analisi dei carichi:</b>			
peso proprio	pp	0.09	kN/mq
carico permanente	G	2.08	kN/mq
sovraccarico accidentale (scuola)	Qsov	4.00	kN/mq
peso vetrata	pvetr	0.00	kN/m
pp+carico permanente	pp+G	6.74	kN/m
carico accidentale	Q	12.40	kN/m
carico amplificato sle	qsle	19.14	kN/m
carico amplificato slu	qslu	27.36	kN/m
carico combinazione incendio	qfuoco	14.18	kN/m
<b>Geometria:</b>			
interasse trave	i	3.10	m
larghezza appoggio	bp	0.00	m
luce di calcolo	Lc	3.60	m
larghezza	b	0.18	m
altezza	h	0.320	m
area	A	5.76E-02	m2
momento d'inerzia	J	4.92E-04	m4
modulo resistente	W	3.07E-03	m3
<b>Sollecitazioni slu:</b>			
momento flettente positivo	MSd	44.32	kNm
sforzo di taglio	VSd	49.24	kN
reazione all'appoggio	RSd	49.24	kN
<b>Verifica a taglio</b>			
sforzo di taglio	VSd	49.24	kN
area	A	0.06	m2
coefficiente di fessurazione	kcr	0.67	
tensione tangenziale di calcolo	τd	1.91	MPa
resistenza di calcolo a taglio	fvd	2.17	
verifica: τdsfvd		0.88	OK

<b>Verifica a flessione</b>				
momento flettente	MSd(x)	44.32	kNm	
modulo resistente	W	3.07E-03	m3	
resistenza di calcolo a flessione	fmd	15.86	MPa	
tensione di calcolo	$\sigma_{m,d}$	14.43	MPa	
verifica: $\sigma_{m,0,d} \leq f_{md}$		0.91	OK	
<b>Verifica a deformazione</b>				
contromonta	wc	0	mm	
coefficiente freccia		5		
f istantanea carico permanente	winst(g)	3.0	mm =L/	1218
f creep carico permanente	wcr(g)	1.8	mm =L/	2030
f finale carico permanente	wfin(g)	4.7	mm =L/	761
f istantanea carico accidentale	winst(q)	5.4	mm =L/	662
f creep carico accidentale	wcr(q)	2.0	mm =L/	1838
f finale carico accidentale	wfin(q)	7.4	mm =L/	486
f istantanea carico permanente+ accidentale	winst(g+q)	8.4	mm =L/	429
f creep carico permanente+accidentale	wcr(g+q)	3.7	mm =L/	964
f finale carico permanente + accidentale	wfin(g+q)	12.1	mm =L/	297
f finale carico permanente + accidentale - contromonta	wnetfin	12.1	mm =L/	297
<b>Verifica resistenza al fuoco</b>				
Coefficiente correttivo per durata del carico e umidità	kmod,fi	1.00		
Combinazione di carico		SLU_comb. eccezionali		
Coefficiente di sicurezza sul materiale	$\gamma_m$	1.00		
tipologia		Legno lamellare incollato		
fattore di conversione frattile 20 -valore caratteristico	kfi	1.15		
tempo di esposizione al fuoco	t	60	min	
ritardo inizio carbonizzazione per presenza rivestimenti	tchar	0	min	
tipologia		Conifere e faggio - legno lamellare $\rho \geq 290$ kg/mc		
velocità di carbonizzazione convenzionale	$\beta_n$	0.7	mm/min	
profondità di carbonizzazione convenzionale	d,char,n	42	mm	
trattamento superficiale		superficie non protetta		
coefficiente	k0	1.00		
profondità strato per cui si assume resistenza e rigidezza nulla	d0	7	mm	
profondità di carbonizzazione efficace	def	49	mm	
<b>Sezione residua</b>				
larghezza residua	b,fi	0.08	m	
altezza residua	h,fi	0.27	m	
area residua	A,fi	2.22E-02	m2	
modulo resistente residuo	W,fi	1.00E-03	m3	
<b>Sollecitazioni combinazione incendio:</b>				
momento flettente positivo	MSd,fi	22.97	kNm	
sforzo di taglio	VSd,fi	25.52	kN	
reazione all'appoggio	RSd,fi	25.52	kN	
<b>Verifica a taglio incendio</b>				
sforzo di taglio	VSd	26	kN	
area	A	0.02	m2	
coefficiente di fessurazione	kcr	0.67		
tensione tangenziale di calcolo	$\tau_d$	2.57	MPa	
resistenza di calcolo a taglio	fvd	4.03	MPa	
verifica: $\tau_d \leq f_{vd}$		0.64	OK	
<b>Verifica a flessione incendio</b>				
momento flettente	MSd	23	kNm	
modulo resistente	W	0.00	m3	
resistenza di calcolo a flessione	fmd	27.60	MPa	
tensione di calcolo	$\sigma_{m,d}$	22.88	MPa	
verifica: $\sigma_{m,0,d} \leq f_{md}$		0.83	OK	

Le principali verifiche risultano soddisfatte.

### 7.2.3.6 TRAVE LIGNEA VANO SCALE (LIVELLO SOLAIO)

VERIFICHE LEGNO - TRAVE SCALE PRINCIPALE SOLAIO			
<b>Materiali:</b>			
Legno		Legno lamellare incollato	
Classe		GL24h	
Resistenza a flessione	f <sub>mk</sub>	24.00	MPa
Resistenza a trazione parallela	f <sub>t,0,k</sub>	19.20	MPa
Resistenza a trazione perpendicolare	f <sub>t,90,k</sub>	0.50	MPa
Resistenza a compressione parallela	f <sub>c,0,k</sub>	24.00	MPa
Resistenza a compressione perpendicolare	f <sub>c,90,k</sub>	2.50	MPa
Resistenza a taglio	f <sub>v,k</sub>	3.50	MPa
Modulo elastico parallelo medio	E <sub>0,mean</sub>	11500	MPa
Modulo elastico parallelo caratteristico	E <sub>0,05</sub>	9600	MPa
Modulo elastico perpendicolare medio	E <sub>90,mean</sub>	300.0	MPa
Modulo elastico tangenziale medio	G <sub>mean</sub>	650.00	MPa
Massa volumica	ρ <sub>k</sub>	385.00	kg/mc
Classe di servizio		1	
Classe di durata del carico		azione breve durata	
Coefficiente correttivo per durata del carico e umidità	k <sub>mod</sub>	0.9	
Coefficiente correttivo per durata del carico	k <sub>def</sub>	0.6	
Coefficiente amplificativo resistenza	k <sub>h</sub>	1.03	
Combinazione di carico		SLU_comb. fondam. - legno lamellare incollato	
Coefficiente di sicurezza sul materiale	γ <sub>m</sub>	1.45	
Coefficiente di combinazione (scuola)	ψ <sub>2</sub>	0.60	
<b>Analisi dei carichi:</b>			
peso proprio	p <sub>p</sub>	0.08	kN/mq
carico permanente	G	2.60	kN/mq
sovraccarico accidentale (scuola)	Q <sub>sov</sub>	3.40	kN/mq
peso vetrata	p <sub>vetr</sub>	0.00	kN/m
pp+carico permanente	p <sub>p</sub> +G	12.62	kN/m
carico accidentale	Q	15.98	kN/m
carico amplificato sle	q <sub>sle</sub>	28.60	kN/m
carico amplificato slu	q <sub>slu</sub>	40.37	kN/m
carico combinazione incendio	q <sub>fuoco</sub>	22.20	kN/m
<b>Geometria:</b>			
interasse trave	i	4.70	m
larghezza appoggio	b <sub>p</sub>	0.00	m
luce di calcolo	L <sub>c</sub>	3.60	m
larghezza	b	0.18	m
altezza	h	0.440	m
area	A	7.92E-02	m <sup>2</sup>
momento d'inerzia	J	1.28E-03	m <sup>4</sup>
modulo resistente	W	5.81E-03	m <sup>3</sup>
<b>Sollecitazioni slu:</b>			
momento flettente positivo	M <sub>Sd</sub>	65.40	kNm
sforzo di taglio	V <sub>Sd</sub>	72.67	kN
reazione all'appoggio	R <sub>Sd</sub>	72.67	kN
<b>Verifica a taglio</b>			
sforzo di taglio	V <sub>Sd</sub>	72.67	kN
area	A	0.08	m <sup>2</sup>
coefficiente di fessurazione	k <sub>cr</sub>	0.67	
tensione tangenziale di calcolo	τ <sub>d</sub>	2.05	MPa
resistenza di calcolo a taglio	f <sub>vd</sub>	2.17	
verifica: τ <sub>d</sub> /f <sub>vd</sub>		0.95	OK

<b>Verifica a flessione</b>				
momento flettente	MSd(x)	65.40	kNm	
modulo resistente	W	5.81E-03	m3	
resistenza di calcolo a flessione	fmd	15.37	MPa	
tensione di calcolo	$\sigma_{m,d}$	11.26	MPa	
verifica: $\sigma_{m,0,d} \leq f_{md}$		0.73	OK	
<b>Verifica a deformazione</b>				
contromonta	wc	0	mm	
coefficiente freccia		5		
f istantanea carico permanente	winst(g)	2.4	mm =L/	1529
f creep carico permanente	wcr(g)	1.4	mm =L/	2549
f finale carico permanente	wfin(g)	3.8	mm =L/	956
f istantanea carico accidentale	winst(q)	3.0	mm =L/	1207
f creep carico accidentale	wcr(q)	1.1	mm =L/	3354
f finale carico accidentale	wfin(q)	4.1	mm =L/	888
f istantanea carico permanente+ accidentale	winst(g+q)	5.3	mm =L/	675
f creep carico permanente+accidentale	wcr(g+q)	2.5	mm =L/	1448
f finale carico permanente + accidentale	wfin(g+q)	7.8	mm =L/	460
f finale carico permanente + accidentale - contromonta	wnetfin	7.8	mm =L/	460
<b>Verifica resistenza al fuoco</b>				
Coefficiente correttivo per durata del carico e umidità	kmod,fi	1.00		
Combinazione di carico		SLU_comb. eccezionali		
Coefficiente di sicurezza sul materiale	$\gamma_m$	1.00		
tipologia		Legno lamellare incollato		
fattore di conversione frattile 20 -valore caratteristico	kfi	1.15		
tempo di esposizione al fuoco	t	60	min	
ritardo inizio carbonizzazione per presenza rivestimenti	tchar	0	min	
tipologia		Conifere e faggio - legno lamellare $\rho \geq 290$ kg/mc		
velocità di carbonizzazione convenzionale	$\beta_n$	0.7	mm/min	
profondità di carbonizzazione convenzionale	d,char,n	42	mm	
trattamento superficiale		superficie non protetta		
coefficiente	k0	1.00		
profondità strato per cui si assume resistenza e rigidezza nulla	d0	7	mm	
profondità di carbonizzazione efficace	def	49	mm	
<b>Sezione residua</b>				
larghezza residua	b,fi	0.08	m	
altezza residua	h,fi	0.39	m	
area residua	A,fi	3.21E-02	m2	
modulo resistente residuo	W,fi	2.09E-03	m3	
<b>Sollecitazioni combinazione incendio:</b>				
momento flettente positivo	MSd,fi	35.97	kNm	
sforzo di taglio	VSd,fi	39.97	kN	
reazione all'appoggio	RSd,fi	39.97	kN	
<b>Verifica a taglio incendio</b>				
sforzo di taglio	VSd	40	kN	
area	A	0.03	m2	
coefficiente di fessurazione	kcr	0.67		
tensione tangenziale di calcolo	$\tau_d$	2.79	MPa	
resistenza di calcolo a taglio	fvd	4.03	MPa	
verifica: $\tau_d \leq f_{vd}$		0.69	OK	
<b>Verifica a flessione incendio</b>				
momento flettente	MSd	36	kNm	
modulo resistente	W	0.00	m3	
resistenza di calcolo a flessione	fmd	27.60	MPa	
tensione di calcolo	$\sigma_{m,d}$	17.22	MPa	
verifica: $\sigma_{m,0,d} \leq f_{md}$		0.62	OK	

Le principali verifiche risultano soddisfatte.

## 7.2.4 VERIFICA PILASTRO LIGNEO

All'angolo SUD-EST del fabbricato oggetto della presente relazione è presente un pilastro a sostegno delle pareti di tamponamento superiori in legno lamellare in classe GL24h. Tale pilastro ha sezione 32x36cm ed è alto circa 5.4 m, avendo base a quota 0, circa e dovendo arrivare a quota del primo solaio ligneo. Agli elementi lignei, alle piastre e alle pareti è richiesta una resistenza al fuoco REI 60'.

Si riportano di seguito le principali verifiche condotte per tale elemento.

VERIFICHE LEGNO - PILASTRO				
<b>Materiali:</b>				
Legno		Legno lamellare incollato		
Classe		GL24h		
Resistenza a flessione	f <sub>mk</sub>	24.00	MPa	
Resistenza a trazione parallela	f <sub>t,0,k</sub>	19.20	MPa	
Resistenza a trazione perpendicolare	f <sub>t,90,k</sub>	0.50	MPa	
Resistenza a compressione parallela	f <sub>c,0,k</sub>	24.00	MPa	
Resistenza a compressione perpendicolare	f <sub>c,90,k</sub>	2.50	MPa	
Resistenza a taglio	f <sub>v,k</sub>	3.50	MPa	
Modulo elastico parallelo medio	E <sub>0,mean</sub>	11500	MPa	
Modulo elastico parallelo caratteristico	E <sub>0,05</sub>	9600	MPa	
Modulo elastico perpendicolare medio	E <sub>90,mean</sub>	300.0	MPa	
Modulo elastico tangenziale medio	G <sub>mean</sub>	650.00	MPa	
Massa volumica	ρ <sub>k</sub>	385.00	kg/mc	
Classe di servizio		1		
Classe di durata del carico		azione breve durata		
Coefficiente correttivo per durata del carico e umidità	k <sub>mod</sub>	0.9		
Coefficiente correttivo per durata del carico	k <sub>def</sub>	0.6		
Coefficiente amplificativo resistenza	k <sub>h</sub>	1.10		
Combinazione di carico		SLU_comb. fondam. - legno lamellare incollato		
Coefficiente di sicurezza sul materiale	γ <sub>m</sub>	1.45		
Coefficiente di combinazione	ψ <sub>2</sub>	0.00		
<b>Geometria:</b>				
Altezza PT	h <sub>PT</sub>	5.40	m	
larghezza PT	b <sub>PT</sub>	0.32	m	
altezza PT	h <sub>PT</sub>	0.24	m	
area PT	A <sub>PT</sub>	7.68E-02	m <sup>2</sup>	
<b>Sollecitazioni:</b>				
Sforzo Assiale SLU BASE	N <sub>slu,base</sub>	98	kN	
Sforzo Assiale INCENDIO BASE	N <sub>fire,base</sub>	64	kN	
<b>Verifica a compressione base pilastro</b>				
Sforzo Assiale	N <sub>Sd</sub>	97.50	kN	
Resistenza a compressione parallela alle fibre	f <sub>c,0,d</sub>	14.90	Mpa	
Tensione di progetto a compressione	σ <sub>c,0,d</sub>	1.27	Mpa	
Coefficiente bc	β <sub>c</sub>	0.10	[-]	
Snellezza	λ	77.94	[-]	
Snellezza relativa	λ <sub>rel,c</sub>	1.24	[-]	
Coefficiente K	K	1.32	[-]	
Coefficiente Kcrit	K <sub>crit</sub>	0.57	[-]	
Resistenza a compressione parallela alle fibre per carico di punta	f <sub>c,0,d,punta</sub>	8.48	[Mpa]	
verifica: σ <sub>c,0,d</sub> ≤ f <sub>c,0,d,punta</sub>		0.15		OK



<b>Verifica resistenza al fuoco base pilastro</b>			
Coefficiente correttivo per durata del carico e umidità	kmod,fi	1.00	
Combinazione di carico		SLU_comb. eccezionali	
Coefficiente di sicurezza sul materiale	γm	1.00	
tipologia		Legno lamellare incollato	
fattore di conversione frattile 20 -valore caratteristico	kfi	1.15	
tempo di esposizione al fuoco	t	60	min
ritardo inizio carbonizzazione per presenza rivestimenti	tchar	0	min
tipologia		Conifere e faggio - legno lamellare p≥290 kg/mc	
velocità di carbonizzazione convenzionale	βn	0.7	mm/min
profondità di carbonizzazione convenzionale	d,char,n	42	mm
trattamento superficiale		superficie non protetta	
coefficiente	k0	1.00	
profondità strato per cui si assume resistenza e rigidezza nulla	d0	7	mm
profondità di carbonizzazione efficace	def	49	mm
<b>Sezione residua</b>			
larghezza residua	b,fi	0.27	m
altezza residua	h,fi	0.19	m
area residua	A,fi	5.18E-02	m2
<b>Sollecitazioni combinazione incendio:</b>			
Sforzo Assiale	NSd,fi	64	kN
<b>Verifica a compressione pilastro incendio</b>			
Sforzo Assiale	NSd,fi	63.80	kN
Resistenza a compressione parallela alle fibre incendio	fc,o,k,fi	27.60	Mpa
Modulo elastico parallelo incendio	E0,05,fi	11040	MPa
Tensione di progetto a compressione incendio	σc,o,d,fi	1.23	Mpa
Coefficiente bc	βc	0.10	[-]
Snellezza	λ,fi	97.94	[-]
Snellezza relativa	λrel,c,fi	1.56	[-]
Coefficiente K	K,fi	1.78	[-]
Coefficiente Kcrit	Kcrit,fi	0.38	[-]
Resistenza a compressione parallela alle fibre per carico di punta incendio	fc,o,d,punta,fi	10.48	[Mpa]
verifica: σc,0,k,fi≤fc,0,d,punta,fi		0.12	OK

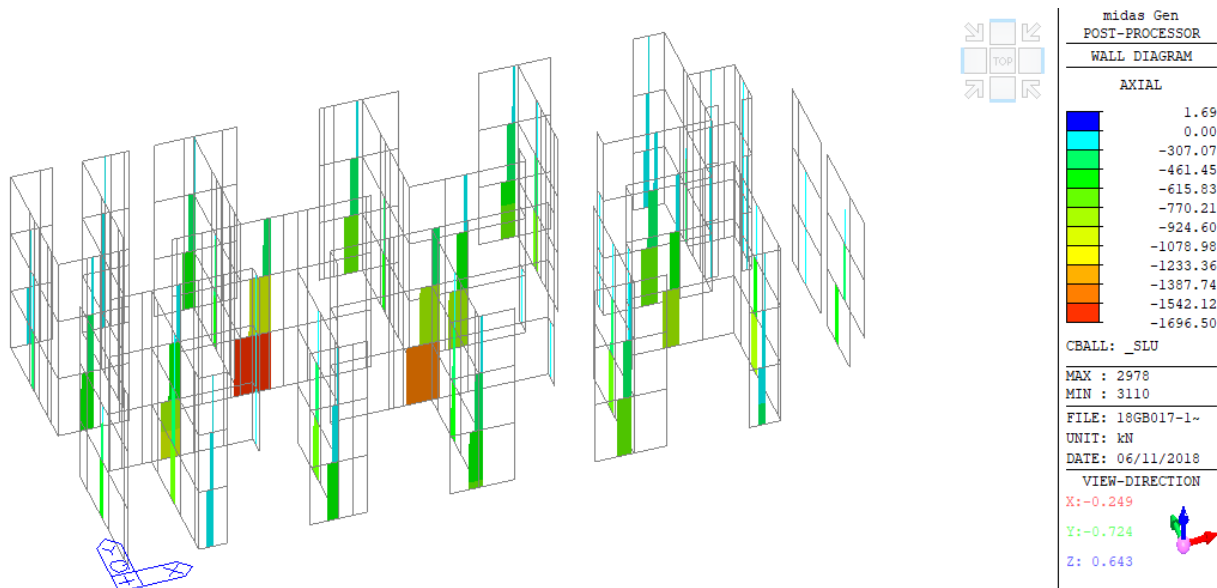
Le principali verifiche risultano soddisfatte.

## 7.2.5 VERIFICA STATICA PARETI LIGNEE (XLAM)

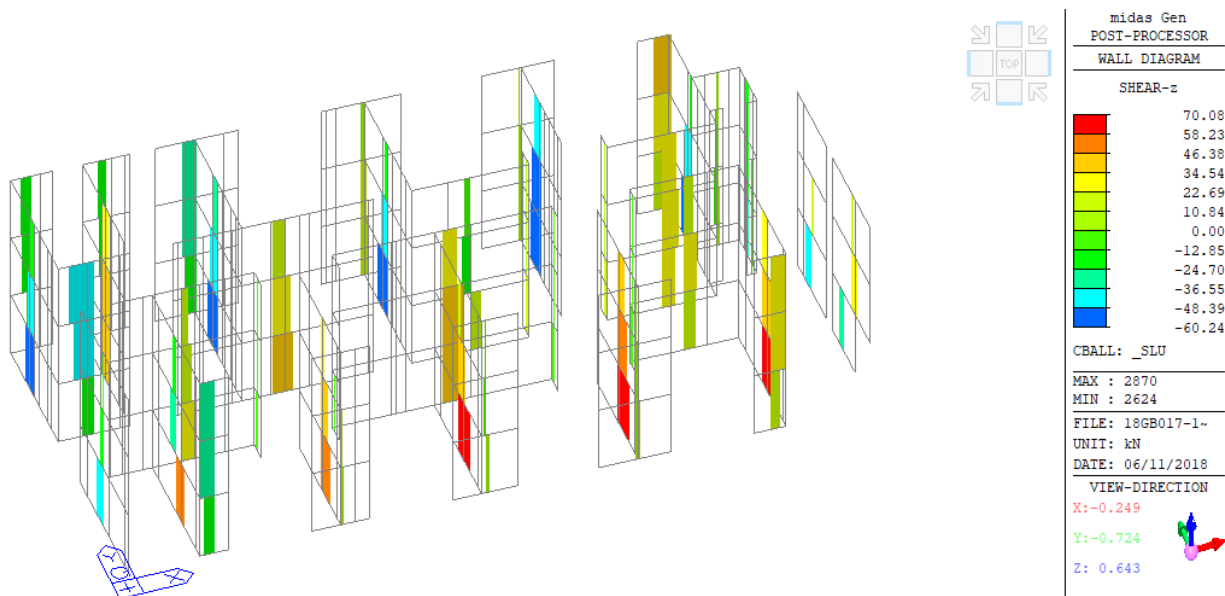
Le pareti lignee dell'edificio sono realizzate mediante pannelli in Xlam in classe GL24h. Alcune pareti lungo il lati corti perimetrali sono realizzate con pannelli a più interpiani, mentre in generale, le pareti interne, o di appoggio del solaio in lamellare sdraiato sono ad altezza interpiano. Le pareti sono realizzate a 5 strati con lamelle esterne disposte verticalmente.

Si riportano delle immagini delle sollecitazioni delle pareti lignee in condizioni statiche.

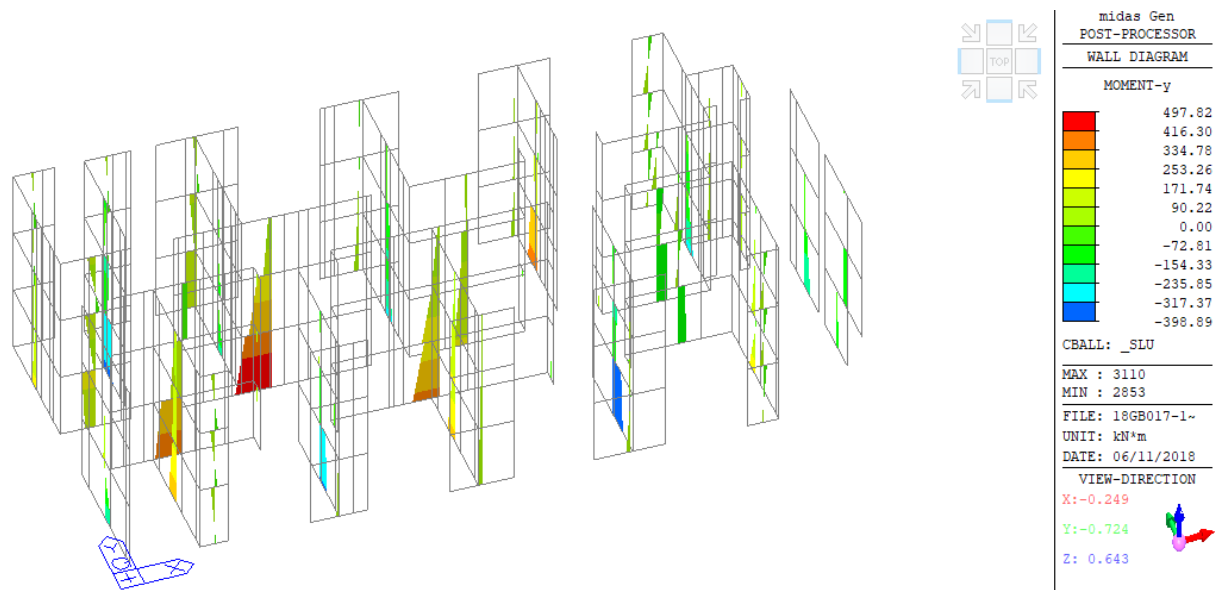
- SFORZO ASSIALE



- SFORZO TAGLIANTE



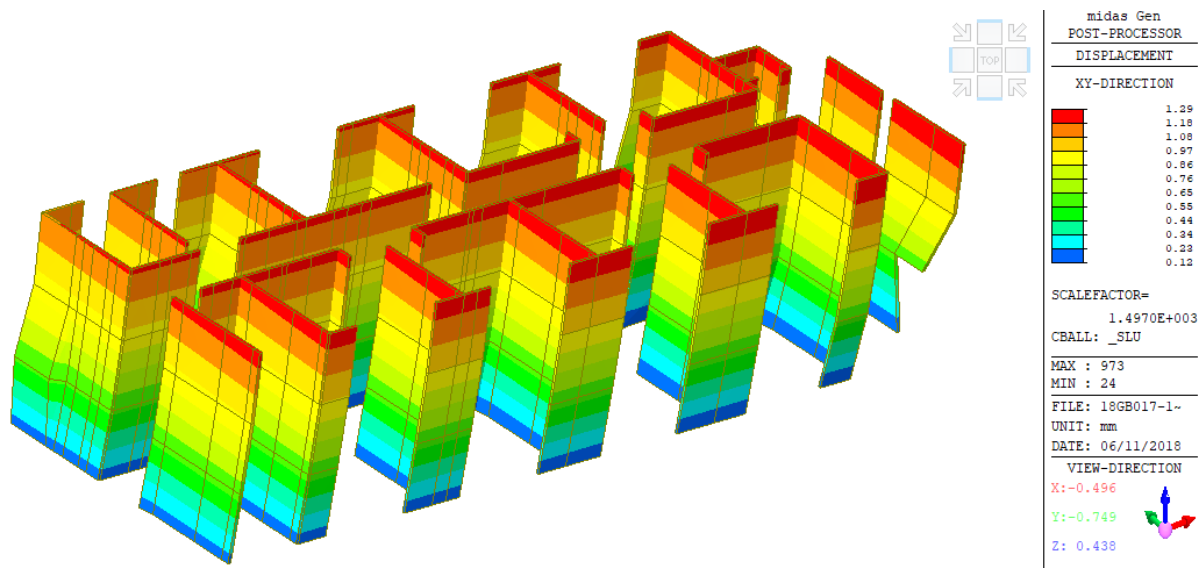
- SFORZO FLETTENTE



Tali valori sono molto inferiori a quelli derivanti dall'azione sismica, quindi il vento in realtà risulta essere meno gravoso dell'azione sismica.

Si riportano le deformazioni del piano dovute all'azione del vento.

- SPOSTAMENTI SLU



Lo spostamento massimo risulta pari a circa 1.5 mm e quindi compatibile con i valori limite previsti dalla normativa.

Si riportano le verifiche per le sollecitazioni più elevate.

### Sezione

☒ Definita dall'utente
 ☐ Prodotti XLAM con omologazione  
☐ Le mie stratigrafie XLAM

Numero di lamelle

Lamella	Altezza	Orientazione	Materiale
1	40 mm	90	GL24h*
2	19 mm	0	GL24h*
3	40 mm	90	GL24h*
4	19 mm	0	GL24h*
5	40 mm	90	GL24h*

Larghezza  mm
 Altezza  mm

Rapporto spessore/larghezza delle lamelle t/a

### Incendio

☒ Fuoco sul lato destro  
☐ Fuoco sul lato sinistro

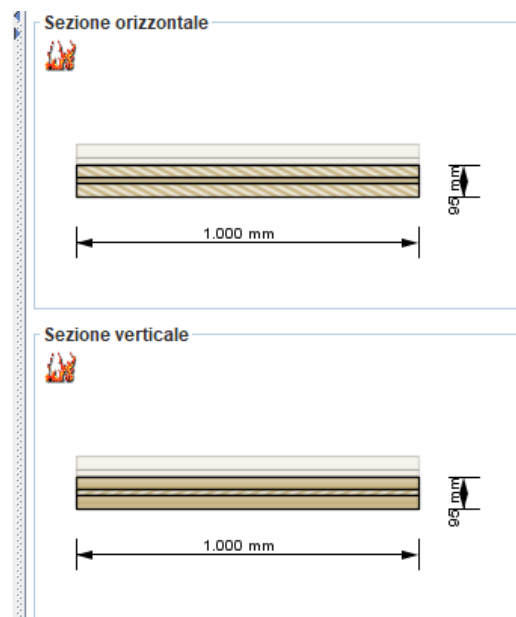
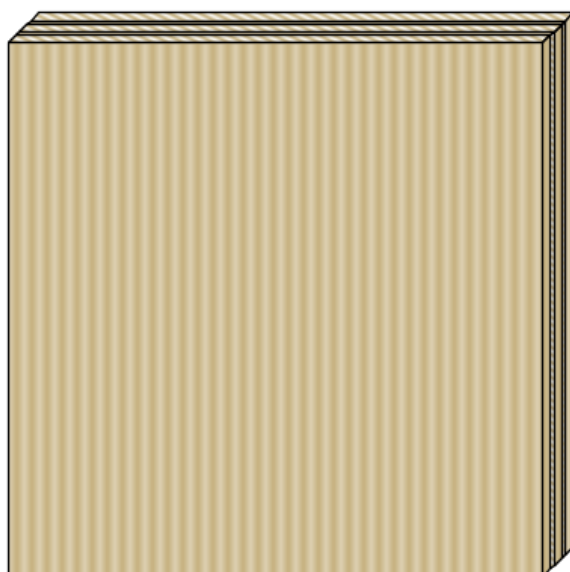
Tempo di resistenza al fuoco  Minuti

☐ Sistema di protezione antincendio  
☐ Colla resistente al fuoco  
☒ Considerare il distacco degli strati  
☐ Senza interstizi o con incollatura laterale delle lamelle

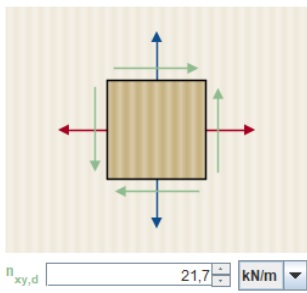
$k_{fire}$

$d_0$   mm

Velocità di combustione  mm/min



#### Sforzi interni



#### Coefficienti di calcolo

$k_{mod}$    $V_M$    
Larghezza della lamella

#### Spessore ideale

RVSE	$t_i^*$
1	19 mm
2	19 mm
3	19 mm
4	19 mm
$\Sigma t_i^*$	76 mm

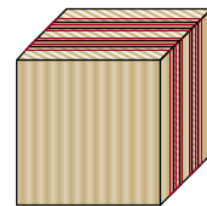
#### Tensioni nell'elemento ideale (RVSE)

Tensione nominale ideale  $\tau_{0,d}^*$    
Tensione di taglio della lamella  $\tau_{v,d}^*$    
Tensione di taglio torsionale nella superficie incollata  $\tau_{t,d}^*$

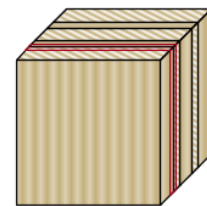
#### Grado di sfruttamento

Forza di taglio  $n_{xy}$  (Meccanismo I - Taglio)  $\eta_{nxy,V}$    
Forza di taglio  $n_{xy}$  (Meccanismo II - Torsione)  $\eta_{nxy,T}$    
Secondo ETA-09/0036 e ETA-08/0242  
Forza di taglio  $n_{xy}$  (Meccanismo I - Taglio)  $\eta_{nxy,V}$    
Forza di taglio  $n_{xy}$  (Meccanismo II - Torsione)  $\eta_{nxy,T}$

#### Spessore ideale totale

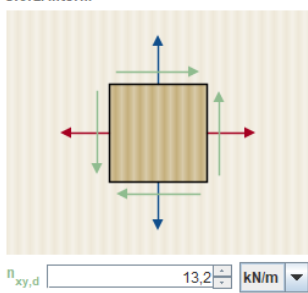


#### RVSE rilevante



#### Incendio

##### Sforzi interni



##### Coefficienti di calcolo

$k_{mod,fi}$    $V_{M,fi}$    
Larghezza della lamella

##### Spessore ideale

RVSE	$t_i^*$
1	19 mm
2	19 mm
$\Sigma t_i^*$	38 mm

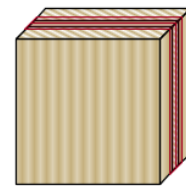
##### Tensioni nell'elemento ideale (RVSE)

Tensione nominale ideale  $\tau_{0,d,fi}^*$    
Tensione di taglio della lamella  $\tau_{v,d,fi}^*$    
Tensione di taglio torsionale nella superficie incollata  $\tau_{t,d,fi}^*$

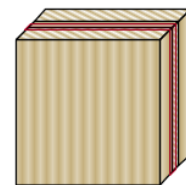
##### Grado di sfruttamento per il caso incendio

Forza di taglio  $n_{xy}$  (Meccanismo I - Taglio)  $\eta_{nxy,fi}$    
Forza di taglio  $n_{xy}$  (Meccanismo II - Torsione)  $\eta_{nxy,T,fi}$    
Secondo ETA-09/0036 e ETA-08/0242  
Forza di taglio  $n_{xy}$  (Meccanismo I - Taglio)  $\eta_{nxy,V,fi}$    
Forza di taglio  $n_{xy}$  (Meccanismo II - Torsione)  $\eta_{nxy,T,fi}$

##### Spessore ideale totale



##### RVSE rilevante



### Sezione

☒ Definita dall'utente
☐ Prodotti XLAM con omologazione

☐ Le mie stratigrafie XLAM

Numero di lamelle

Lamella	Altezza	Orientazione	Materiale
1	40 mm	0	GL24h*
2	19 mm	90	GL24h*
3	40 mm	0	GL24h*
4	19 mm	90	GL24h*
5	40 mm	0	GL24h*

Larghezza  mm
Altezza  mm

Rappporto spessore/larghezza delle lamelle t/a

Beta! Ottimizzazione della stratigrafia...

### Incendio

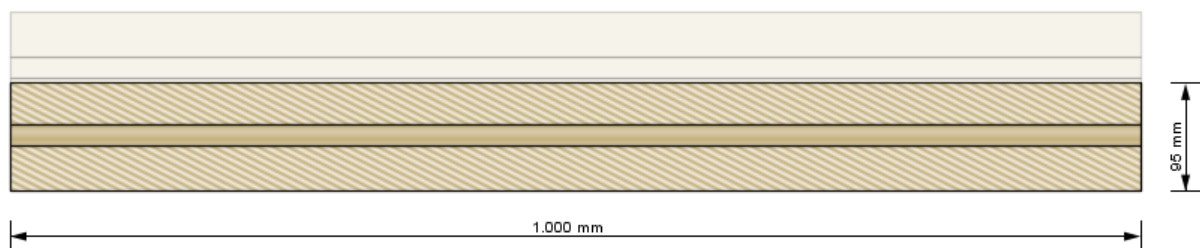
☒ Incendio sul lato superiore
☐ Incendio sul lato inferiore

Tempo di resistenza al fuoco  Minuti

☐ Sistema di protezione antincendio
☐ Colla resistente al fuoco
☒ Considerare il distacco degli strati
☐ Senza interstizi o con incollatura laterale delle lamelle

$k_{fire}$  
 $d_0$   mm

Velocità di combustione  mm/min



### Sforzi interni secondo

☒ Teoria del primo ordine
☐ Teoria del secondo ordine

Sforzi interni

$M_d$   kN·m
 $N_d$   kN
 $V_d$   kN

Coefficienti di calcolo

$k_{mod}$  
 $V_M$  
 $k_1$

Stabilità

Lunghezza di libera inflessione  m
 $k_c$  
 $k_{c,incendio}$

Incendio

Sforzi interni

$M_d$   kN·m
 $N_d$   kN
 $V_d$   kN

Coefficienti di calcolo

$k_{mod,fi}$  
 $V_{M,fi}$

### Distribuzione delle tensioni

Tensioni normali

Tensioni tangenziali

### Grado di sfruttamento

Pressoflessione / Tensoflessione  $\eta_{M+N}$   %
Taglio  $\eta_V$   %

Incendio

Pressoflessione / Tensoflessione  $\eta_{M+N,fi}$   %
Taglio  $\eta_{V,fi}$   %

Dettagli

Le principali verifiche risultano soddisfatte.

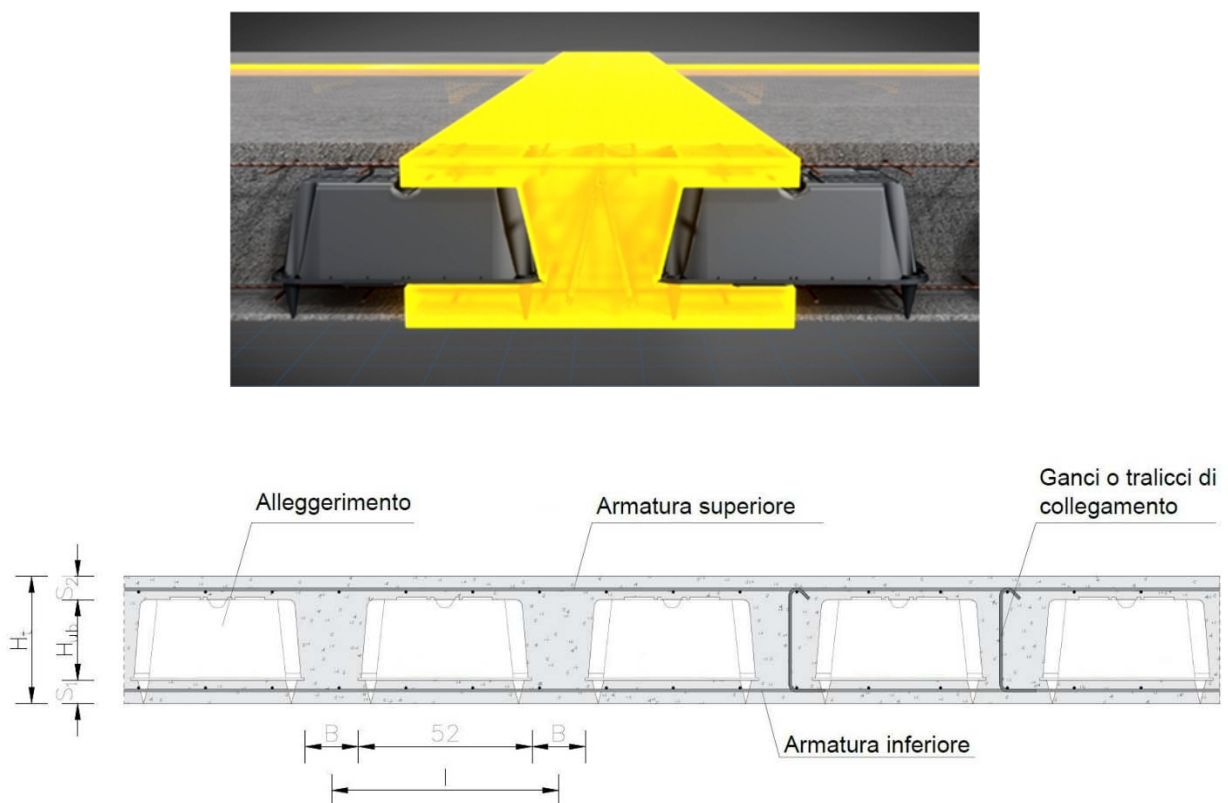
61

---

### 7.2.6 VERIFICA SOLAIO ALLEGGERITO IN CALCESTRUZZO ARMATO

Nell'edificio oggetto della presente relazione, si è ritenuto opportuna la realizzazione di una soletta in calcestruzzo alleggerita attraverso l'interposizione di casseri in propilene riciclato. Tale tecnica costruttiva determina la formazione di sezioni resistenti costituite da nervature ortogonali ad "I" chiuse superiormente ed inferiormente da lastre piene. Solette così realizzate permettono un notevole risparmio di calcestruzzo ed acciaio in virtù della diminuzione di peso rispetto ad una soletta piena di pari spessore.

Si riportano due immagini esplicative del sistema utilizzato per la realizzazione della soletta alleggerita.



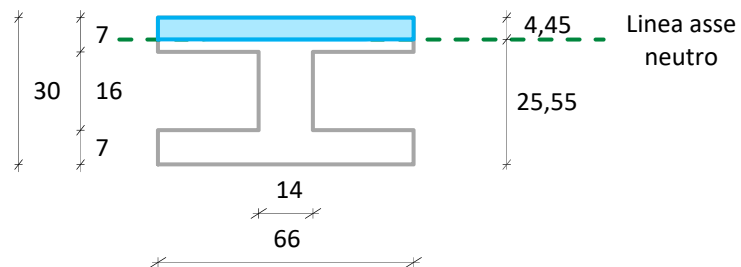
In particolare per l'edificio in oggetto è stato previsto uno spessore complessivo di 30 cm realizzato con casseri di altezza 16 cm e soletta inferiore e superiore di spessore 7 cm. Le nervature tra i casseri polimerici avranno larghezza pari a 16 cm. L'interasse delle nervature risulta pari a circa 68 cm. Il comportamento della struttura sotto l'azione dei carichi verticali è stato simulato e studiato tramite modellazione agli elementi finiti F.E.M. schematizzando la struttura del solaio alleggerito con elementi bidimensionali (Shell) con momento d'inerzia per unità di lunghezza pari a quelli della struttura effettivi, peso pari alla sezione depurata dai vuoti, ed area di taglio della sezione alleggerita.

Si riportano schemi, tabelle riepilogative e immagini relative ai risultati ottenuti.

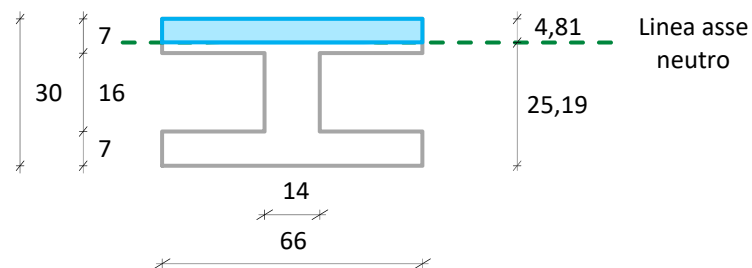
CARATTERISTICHE DI SOLLECITAZIONE			AREA ACCIAIO A <sub>s</sub> [cm <sup>2</sup> /m]	MOMENTO RESISTENTE M <sub>R</sub> [kNm/m]
Momento massimo positivo direzione X	M <sub>xx</sub> <sup>+</sup> [kNm/m]	96	16,84	147
Momento massimo negativo direzione X	M <sub>xx</sub> <sup>-</sup> [kNm/m]	104	18,21	165
Momento massimo positivo direzione Y	M <sub>yy</sub> <sup>+</sup> [kNm/m]	34	16,84	137
Momento massimo negativo direzione Y	M <sub>yy</sub> <sup>-</sup> [kNm/m]	35	18,21	163
Taglio resistente senza armatura	V <sub>rd,c</sub> [kN]	23	$V_{Rd,c} = \frac{0,18}{\gamma_c} \cdot k \cdot (100 \cdot \rho_{l,fck})^{1/3} \cdot b_w \cdot d$	
Punzonamento, resistenza senza armatura	V <sub>rd,c</sub> [MPa]	0,58	$V_{Rd,c} = \frac{0,18}{\gamma_c} \cdot k \cdot (100 \cdot \rho_{l,fck})^{1/3} \geq (v_{min} + k_1 \cdot \sigma_{cp})$	
Freccia massima in campata*	F [mm]	4,32	*Calcolata per la combinazione quasi permanente	



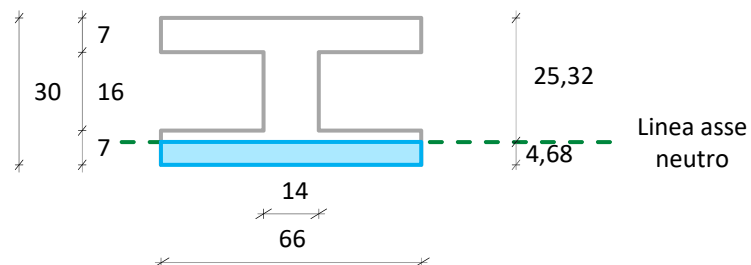
- Sezione tipo Mxx positivo



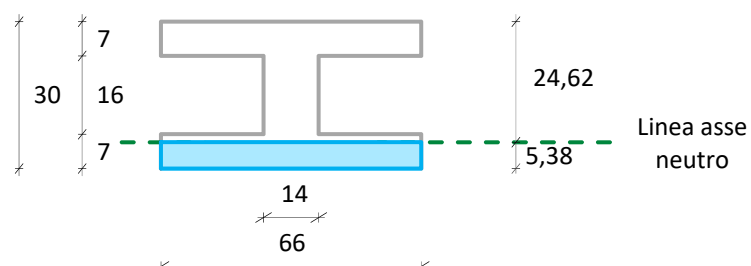
- Sezione tipo Myy positivo



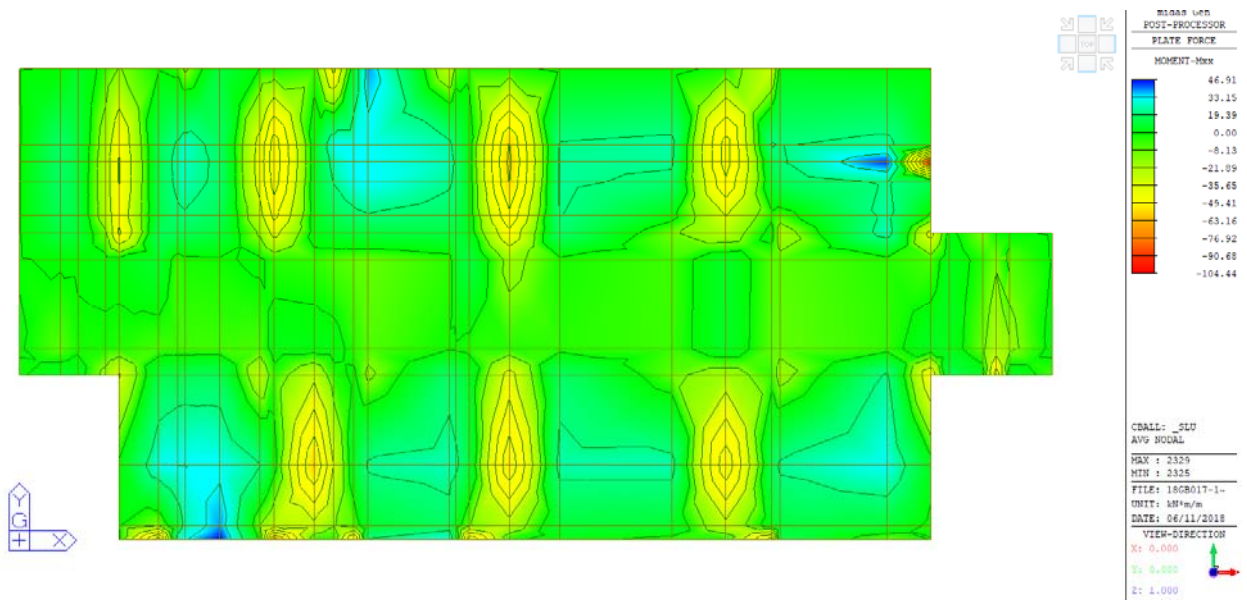
- Sezione tipo Mxx negativo



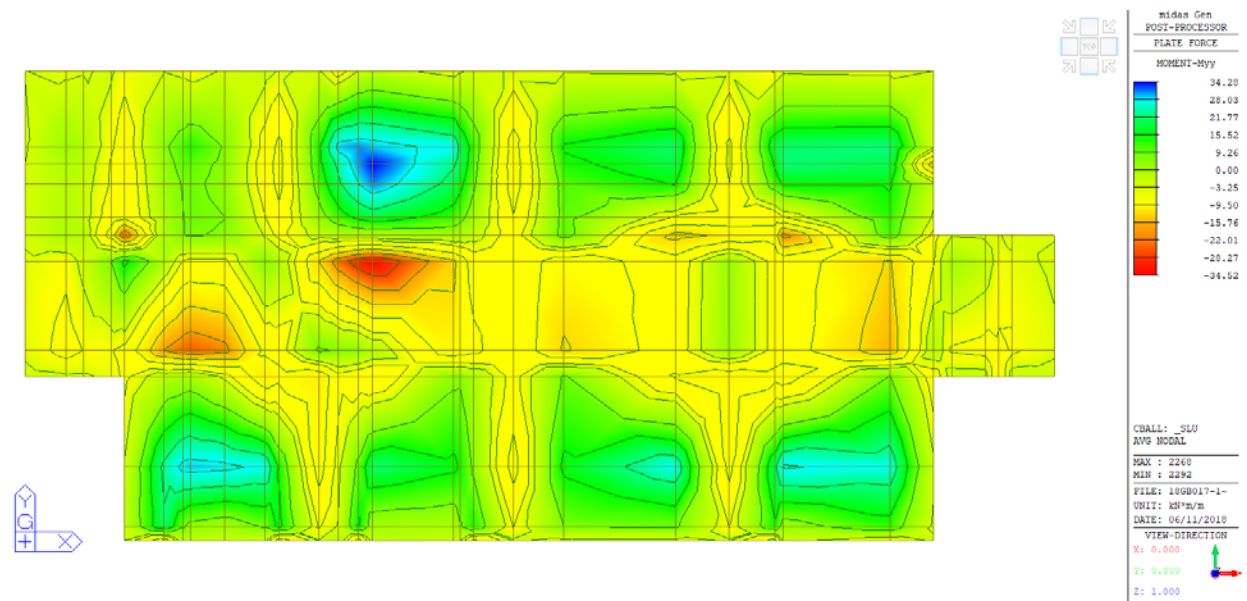
- Sezione tipo Myy negativo



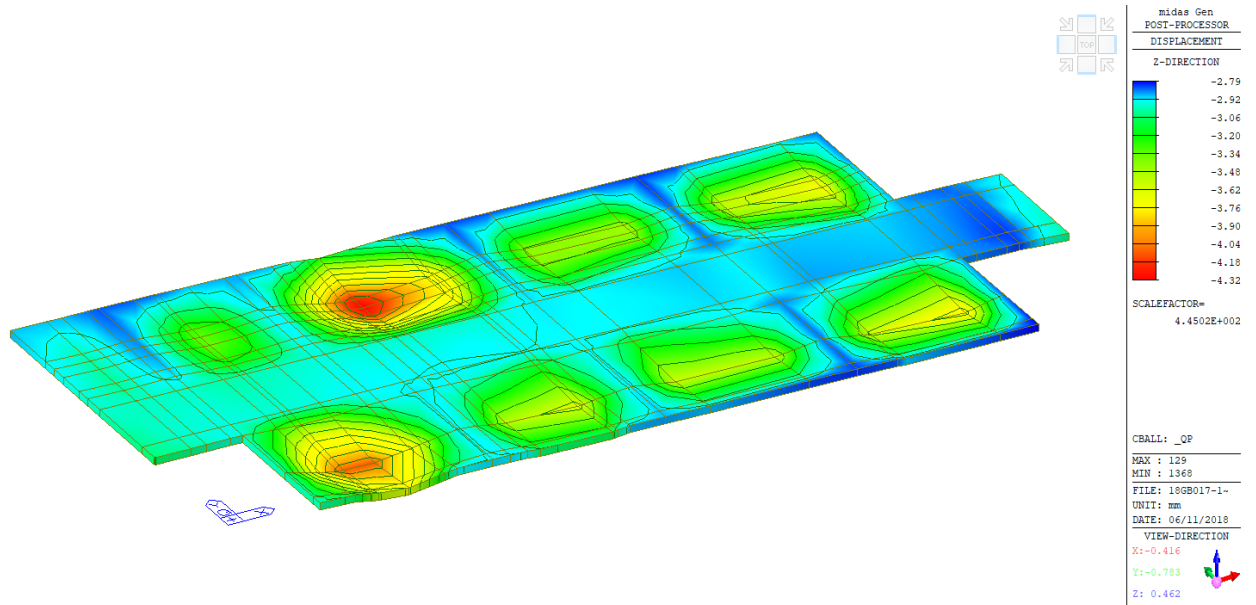
- Momenti flettenti  $M_{xx}$  [kNm/m]



- Momenti flettenti  $M_{yy}$  [kNm/m]

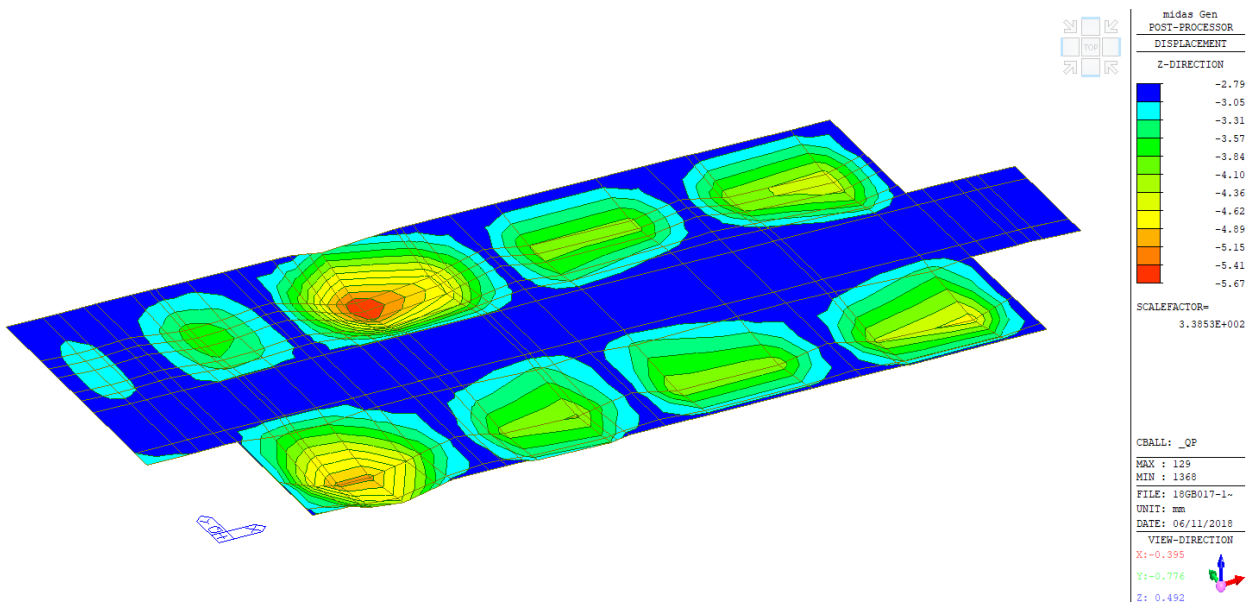


- Deformazione elastica  $f_{Y,QP,ELASTICA}$  [mm]



	Deformata elastica Combinazione Quasi Permanente	Distanza tra i relativi appoggi (2L in caso di sbalzi)		Verifica L/1000
$f_{Y,QP,ELASTICA}$	4,32 [mm]	9,27 [m]	L / 2145	OK

- Deformazione a lungo termine  $f_{Y,QP,FLUAGE}$  [mm] – Coefficiente fluage pari a 2,0



	Deformata a lungo termine Combinazione Quasi Permanente	Distanza tra i relativi appoggi (2L in caso di sbalzi)		Verifica L/250
$f_{Y,QP,FLUAGEA}$	5,67 [mm]	9,27 [m]	L / 1635	OK

### 7.3 VERIFICA DINAMICA DELLE STRUTTURE

In questo capitolo si procede alla verifica sismica della struttura in relazione al suo comportamento sotto l'azione dinamica prodotta dal sisma. Le strutture che consentono il controventamento strutturale sotto carichi orizzontali sono principalmente le pareti in Xlam alle quali viene associata la maggior parte della capacità dissipativa della struttura stessa, e in via inferiore anche ai setti del piano seminterrato.

Si riporta la tabella riepilogativa dei modi di vibrare considerati e le rispettive percentuali di partecipazione modale.

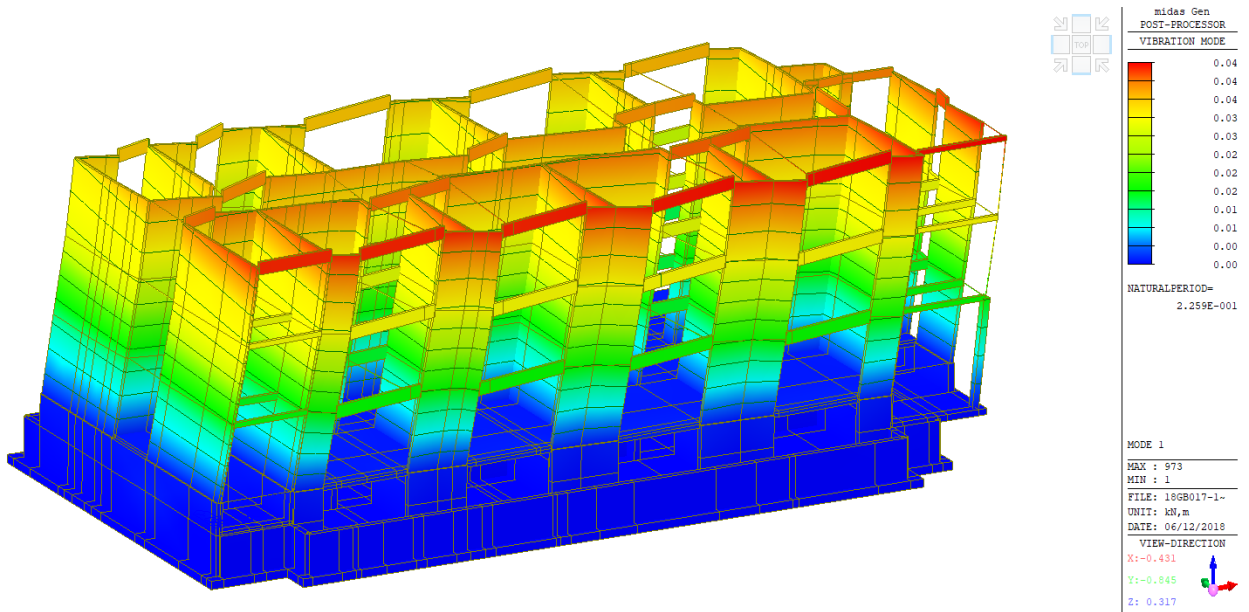
EIGENVALUE ANALYSIS												
Mode No	Frequency		Period		Tolerance							
	(rad/sec)	(cycle/sec)	(sec)	(sec)								
1	27.8094	4.4260	0.2259	2.7819e-055								
2	32.3530	5.1491	0.1942	6.7946e-054								
3	36.6129	5.8271	0.1716	2.2649e-053								
4	83.0261	13.2140	0.0757	1.1662e-044								
5	93.2558	14.8421	0.0674	1.0192e-043								
6	105.7151	16.8251	0.0594	3.1033e-043								
7	128.0249	20.3758	0.0491	1.4065e-040								
8	138.9450	22.1138	0.0452	2.5190e-040								
9	158.8723	25.2853	0.0395	2.0009e-040								
10	264.4564	42.0895	0.0238	8.1796e-039								
11	320.3690	50.9883	0.0196	2.0044e-038								
MODAL PARTICIPATION MASSES PRINTOUT												
Mode No	TRAN-X		TRAN-Y		TRAN-Z		ROTN-X		ROTN-Y		ROTN-Z	
	MASS(%)	SUM(%)	MASS(%)	SUM(%)	MASS(%)	SUM(%)	MASS(%)	SUM(%)	MASS(%)	SUM(%)	MASS(%)	SUM(%)
1	51.4025	51.4025	0.4106	0.4106	0.0000	0.0000	0.0000	0.0000	0.0000	0.0000	0.8067	0.8067
2	0.8187	52.2212	46.8826	47.2932	0.0000	0.0000	0.0000	0.0000	0.0000	0.0000	5.1053	5.9120
3	0.3805	52.6017	5.5684	52.8616	0.0000	0.0000	0.0000	0.0000	0.0000	0.0000	47.3186	53.2306
4	8.0968	60.6985	0.0612	52.9228	0.0000	0.0000	0.0000	0.0000	0.0000	0.0000	0.1283	53.3589
5	0.0838	60.7823	6.4130	59.3358	0.0000	0.0000	0.0000	0.0000	0.0000	0.0000	0.5439	53.9028
6	0.0940	60.8763	0.2969	59.6327	0.0000	0.0000	0.0000	0.0000	0.0000	0.0000	6.8945	60.7973
7	1.2065	62.0829	0.0042	59.6369	0.0000	0.0000	0.0000	0.0000	0.0000	0.0000	0.0130	60.8103
8	0.0038	62.0867	0.9197	60.5566	0.0000	0.0000	0.0000	0.0000	0.0000	0.0000	0.0287	60.8389
9	0.0259	62.1126	0.0049	60.5615	0.0000	0.0000	0.0000	0.0000	0.0000	0.0000	0.9063	61.7453
10	37.7781	99.8907	0.0012	60.5626	0.0000	0.0000	0.0000	0.0000	0.0000	0.0000	0.0970	61.8423
11	0.0085	99.8992	38.2458	98.8084	0.0000	0.0000	0.0000	0.0000	0.0000	0.0000	1.0052	62.8475

Come si nota, con 11 modi di vibrare si raggiungono le percentuali di massa mobilitata necessarie per effettuare l'analisi modale della struttura.

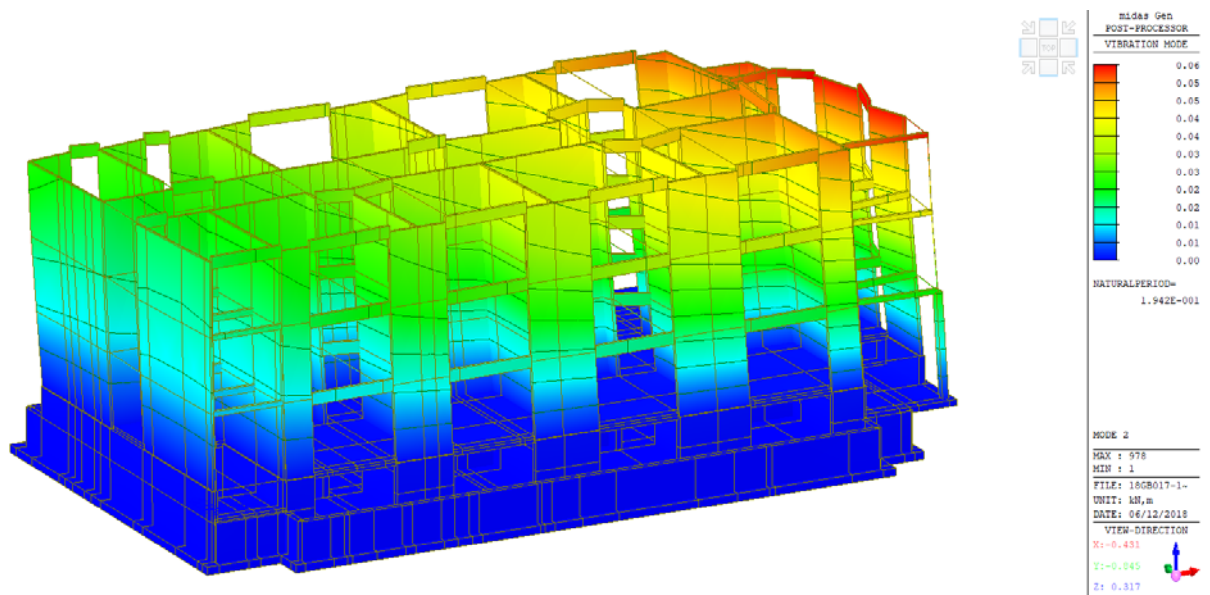
Dall'analisi dei modi di vibrare si possono riconoscere i due modi traslazionali in X (1° modo) e in Y (2° modo) ed inoltre il modo rotazionale corrispondente al 3° modo.

Si riportano le immagini dei primi tre modi di vibrare, caratteristici del comportamento dinamico della struttura.

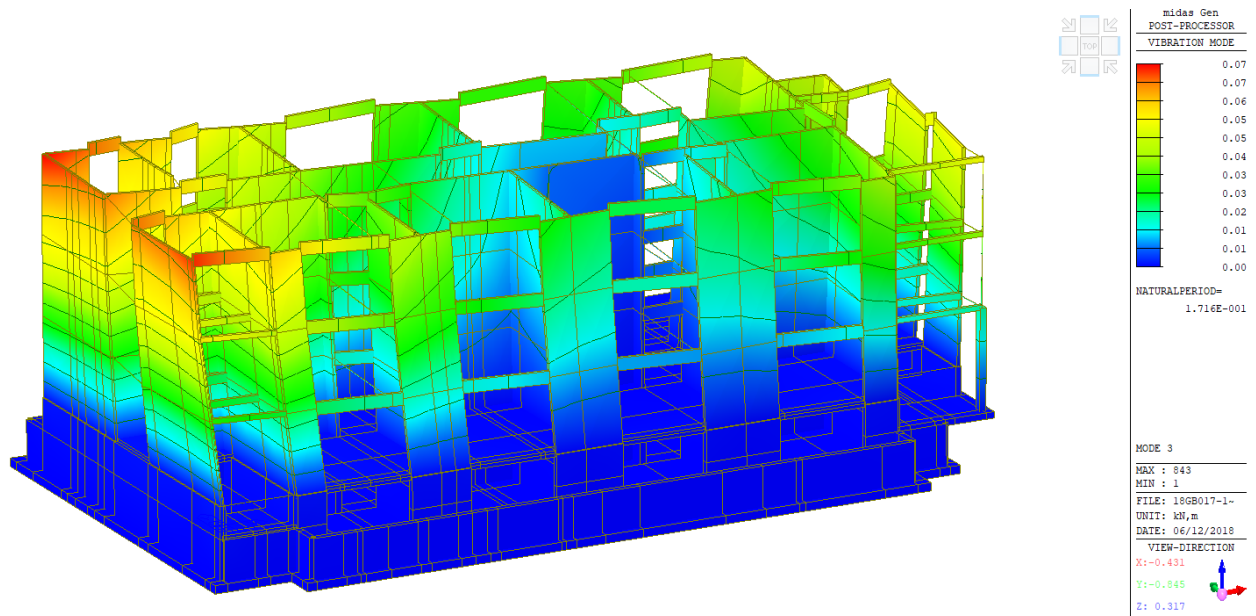
- Primo modo di vibrare –  $T_1=0.2259$  [s] – Traslazionale X



- Secondo modo di vibrare –  $T_2=0.1942$  [s] – Traslazionale Y



- Terzo modo di vibrare –  $T_3=0.1716$  [s] – Rotazionale



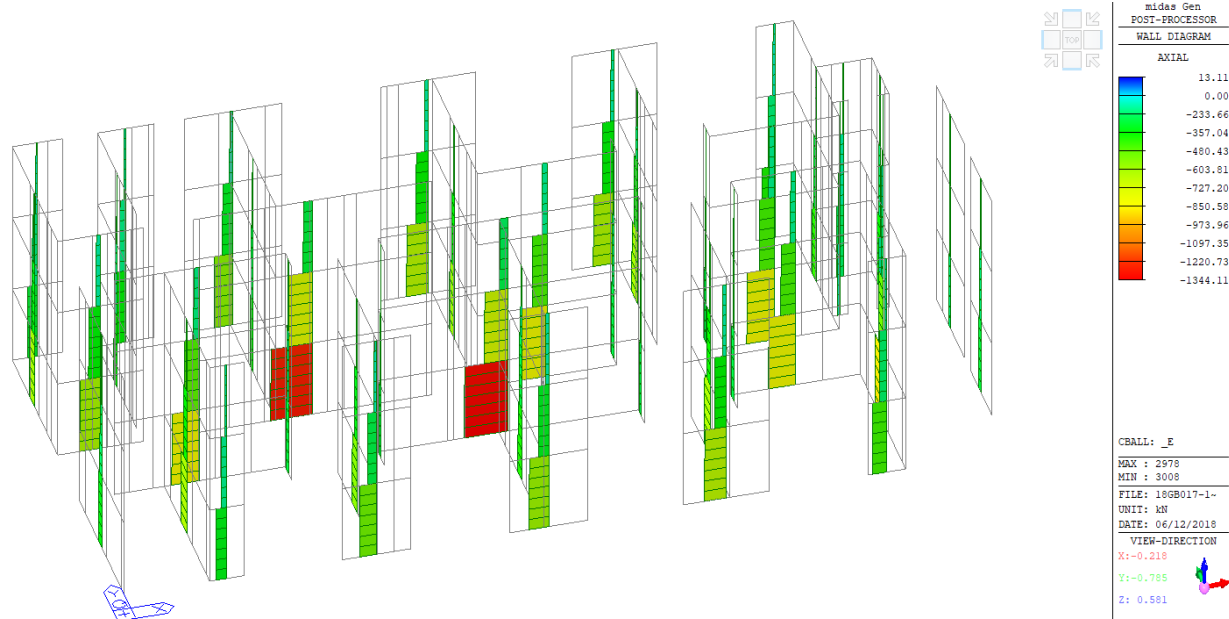
Attraverso l'impostazione nel modello degli spettri di progetto, e l'attribuzione delle masse sismiche previste per la combinazione sismica è stata possibile l'analisi del sistema di pareti dell'edificio in oggetto.

Si riportano le principali verifiche delle pareti in Xlam e calcestruzzo armato dell'edificio in oggetto.

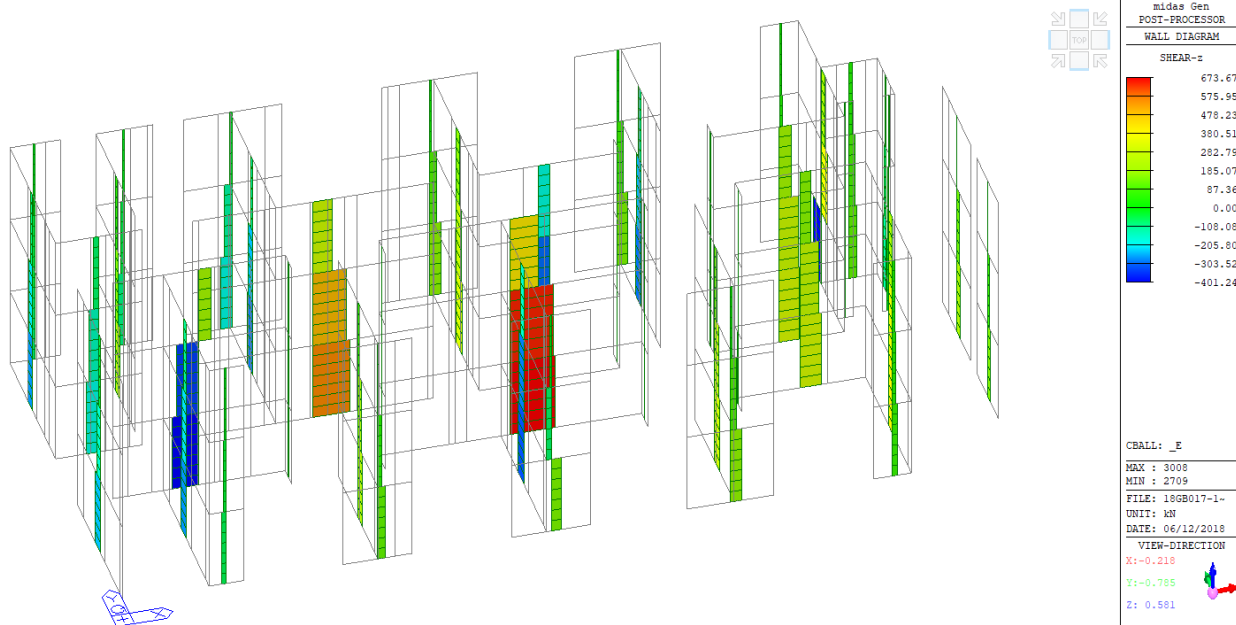
### 7.3.1 VERIFICA SISMICA PARETI IN XLAM

In questo capitolo si riportano i diagrammi di sollecitazione sugli elementi costituenti le pareti in Xlam dell'edificio e le principali verifiche sezionali.

- SFORZO ASSIALE

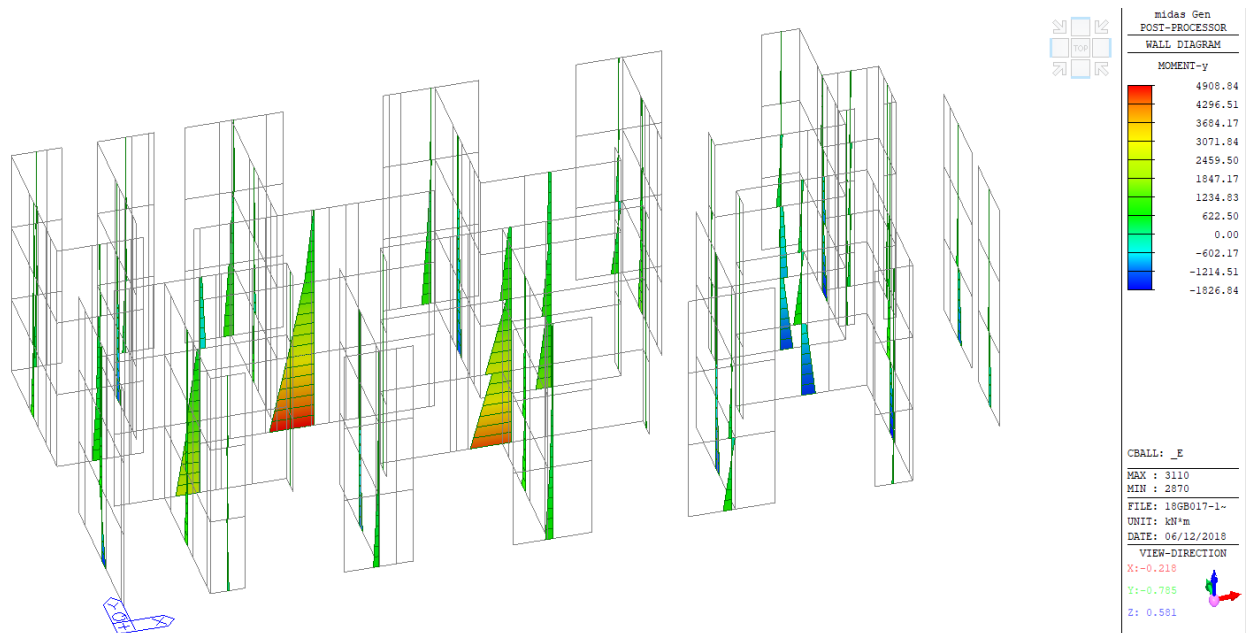


- SFORZO TAGLIANTE



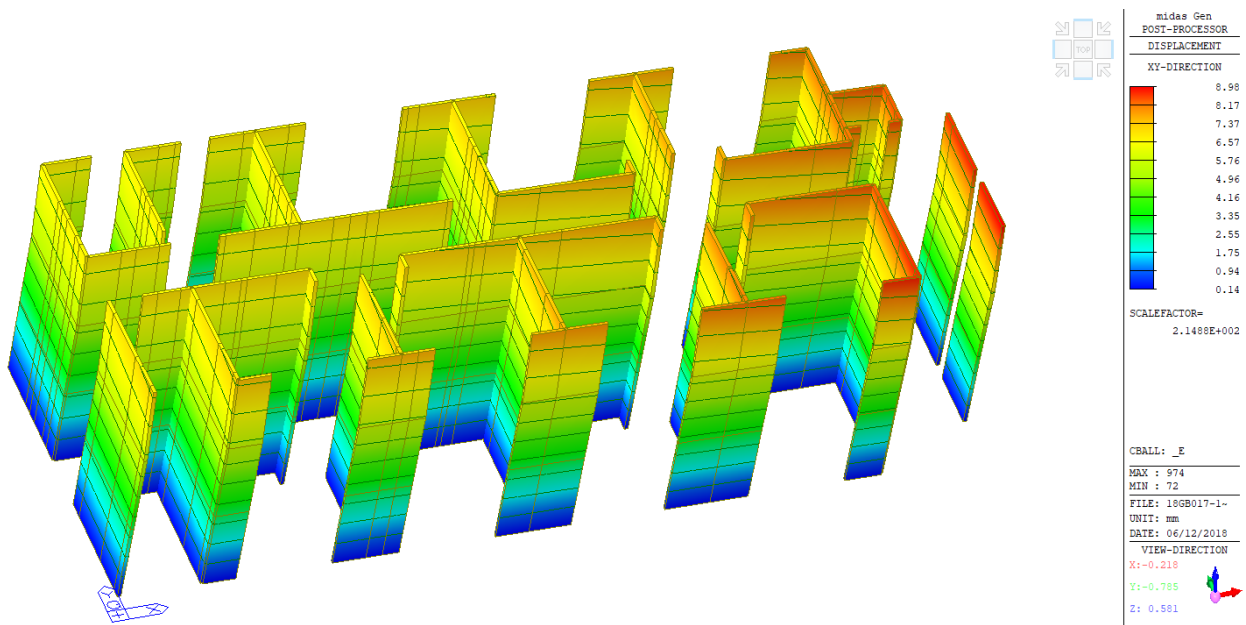


- SFORZO FLETTENTE



Attraverso tali valori si condurranno le principali verifiche sismiche sezionali delle pareti in Xlam. Si riportano le deformazioni del piano dovute all'azione sismica.

- SPOSTAMENTI SLV



Lo spostamento massimo risulta pari a circa 10 mm, tale valore dovrà essere moltiplicato per il fattore di struttura utilizzato per la riduzione dello spettro elastico allo SLV pari a 2. Ne deriva uno spostamento massimo pari a circa 20 mm e quindi compatibile con i valori limite previsti dalla normativa.



Lo spostamento massimo del blocco rimanente dopo la demolizione, verso il blocco aule Sud oggetto della presente relazione, può essere ricavato a partire dalla stima prevista nel capitolo §7.2.1 e pari a:

$$d_h = \frac{h}{100} * \beta$$

$$\beta = \frac{a_g * S_s * S_t}{g} = 0.194 * 1.2 * 1.2 = 0.3$$

Ne deriva quindi uno spostamento orizzontale massimo pari a:

$$d_h = \frac{h}{100} * \beta = \frac{12.5}{100} * 0.3 = 0.0375m = 37.5mm$$

Si ritiene quindi accettabile un valore di giunto minimo pari a 10cm. Verrà comunque adottato un giunto strutturale pari a 30cm.

Si riportano le verifiche delle pareti in Xlam.

### Sezione

☒ Definita dall'utente
 ☐ Prodotti XLAM con omologazione  
☐ Le mie stratigrafie XLAM

Numero di lamelle

Lamella	Altezza	Orientazione	Materiale
1	40 mm	90	GL24h*
2	19 mm	0	GL24h*
3	40 mm	90	GL24h*
4	19 mm	0	GL24h*
5	40 mm	90	GL24h*

Larghezza  mm
 Altezza  mm

Rapporto spessore/larghezza delle lamelle t/a

### Incendio

☐ Fuoco sul lato destro  
☐ Fuoco sul lato sinistro

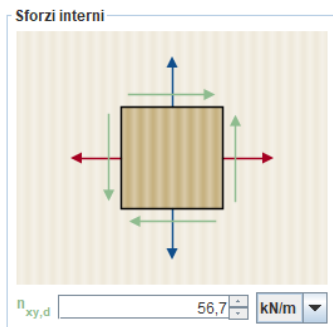
Tempo di resistenza al fuoco  Minuti

☐ Sistema di protezione antincendio  
☐ Colla resistente al fuoco  
☒ Considerare il distacco degli strati  
☐ Senza interstizi o con incollatura laterale delle lamelle

$k_{fire}$

$d_0$   mm

Velocità di combustione  mm/min



**Coefficienti di calcolo**

$k_{mod}$

$V_M$

Larghezza della lamella

**Spessore ideale**

RVSE	$t_i^*$
1	19 mm
2	19 mm
3	19 mm
4	19 mm
$\Sigma t_i^*$	76 mm

**Tensioni nell'elemento ideale (RVSE)**

Tensione nominale ideale  $T_{0,d}^*$

Tensione di taglio della lamella  $T_{v,d}^*$

Tensione di taglio torsionale nella superficie incollata  $T_{T,d}^*$

**Grado di sfruttamento**

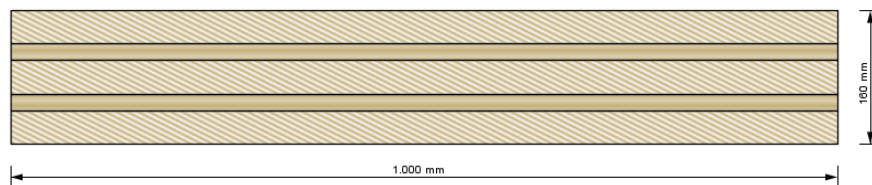
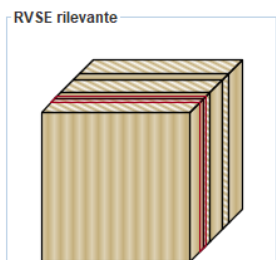
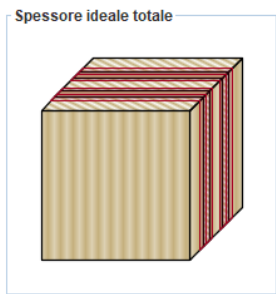
Forza di taglio  $n_{xy}$  (Meccanismo I - Taglio)  $\eta_{nxy,V}$

Forza di taglio  $n_{xy}$  (Meccanismo II - Torsione)  $\eta_{nxy,T}$

Secondo ETA-09/0036 e ETA-08/0242

Forza di taglio  $n_{xy}$  (Meccanismo I - Taglio)  $\eta_{nxy,V}$

Forza di taglio  $n_{xy}$  (Meccanismo II - Torsione)  $\eta_{nxy,T}$



**Sezione**

☒ Definita dall'utente ☐ Prodotti XLAM con omologazione

☐ Le mie stratigrafie XLAM

Numero di lamelle

Lamella	Altezza	Orientazione	Materiale
1	40 mm	0	GL24h*
2	20 mm	90	GL24h*
3	40 mm	0	GL24h*
4	20 mm	90	GL24h*
5	40 mm	0	GL24h*

Larghezza   Altezza

Rapporto spessore/larghezza delle lamelle t/a

**Beta! Ottimizzazione della stratigrafia...**

Sforzi interni secondo

☒ Teoria del primo ordine ☐ Teoria del secondo ordine

Sforzi interni

$M_d$    $\frac{kN \cdot m}{m}$

$N_d$    $kN$

$V_d$    $kN$

Coefficienti di calcolo

$k_{mod}$

$V_M$

$k_I$

Stabilità

Lunghezza di libera inflessione   $m$

$k_c$

$k_{c, incendio}$

Incendio

Sforzi interni

$M_{d,R}$    $\frac{kN \cdot m}{m}$

$N_{d,R}$    $kN$

$V_{d,R}$    $kN$

Coefficienti di calcolo

$k_{mod,R}$

$V_{M,R}$

Distribuzione delle tensioni

Tensioni normali

Tensioni tangenziali

Grado di sfruttamento

Pressoflessione / Tensoflessione  $\eta_{M+N}$   [Dettagli](#)

Taglio  $\eta_V$

Incendio

Pressoflessione / Tensoflessione  $\eta_{M+N,R}$

Taglio  $\eta_{V,R}$

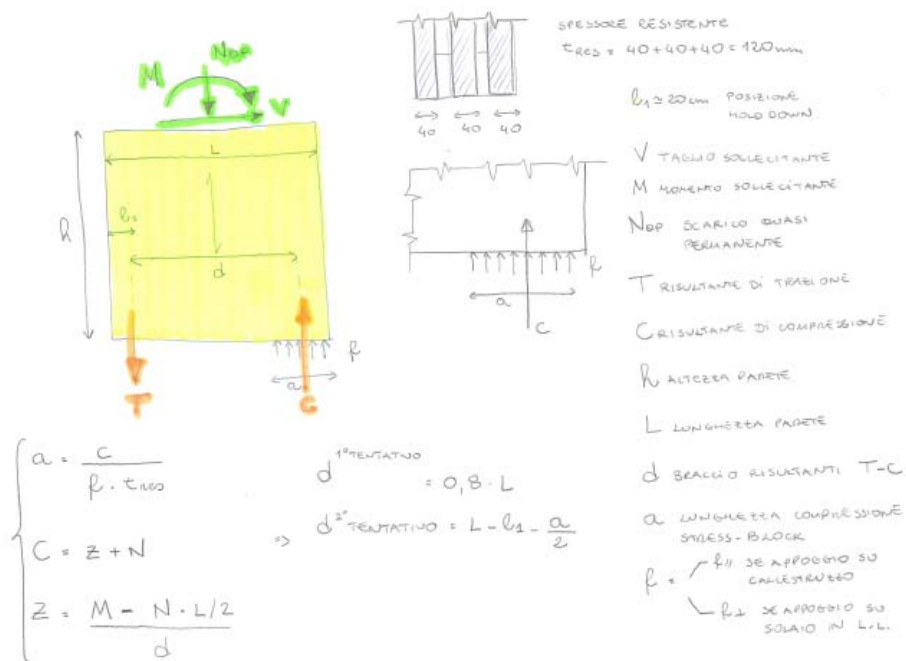
Le verifiche sezionali risultano quindi pienamente soddisfatte.

Si riportano ora le prime considerazione sugli ancoraggi delle pareti a terra e tra gli interpiani, valutando il sollevamento delle pareti.

Per la determinazione delle azioni sismiche che si generano sulle pareti si è utilizzato un foglio di calcolo che attraverso interazioni sulle forze agenti su ciascuna parete determinasse la compressione e la trazione di estremità su ciascuna di esse.

Lo schema utilizzato è quello della determinazione dell'equilibrio considerando la parte compressa soggetta ad uno schema tipo stress-block.

Si riporta lo schema utilizzato.



[illegible]

76

77

78

[illegible]



PARTE P2 - Y3			2º TEMPORAL			3º TEMPORAL		
N	159.50	[kN]	z	159.50	[kN]	z	159.50	[kN]
V	274.95	[kN]	c	284.78	[kN]	c	284.78	[kN]
M	11.94.95	[m]	a	0.186	[m]	a	0.186	[m]
L	7.08	[m]	LA PARETE NO ES SOLICITADA					
h	3.05	[m]						
l1	0.2	[m]						
t <sub>eq</sub>	3.20	[m]						
f <sub>y</sub>	21	[Mpa]						
dt*	5.664	[m]						
dt*	6.79	[m]						
dt*	6.79	[m]						

v	38.5	[kN/m]
n	86.7	[kN/m]
N/m	550.5	[kN/m]

PARTE P2 - Y3			2º TEMPORAL			3º TEMPORAL		
N	189.2	[kN]	z	189.50	[kN]	z	189.50	[kN]
V	274.95	[kN]	c	284.78	[kN]	c	284.78	[kN]
M	11.94.95	[m]	a	0.186	[m]	a	0.186	[m]
L	7.08	[m]	LA PARETE NO ES SOLICITADA					
h	3.05	[m]						
l1	0.2	[m]						
t <sub>eq</sub>	3.20	[m]						
f <sub>y</sub>	21	[Mpa]						
dt*	5.664	[m]						
dt*	6.79	[m]						
dt*	6.79	[m]						

v	38.5277	[kN/m]
n	89.7	[kN/m]
N/m	558.4	[kN/m]

PARTE P2 - Y4			2º TEMPORAL			3º TEMPORAL		
N	368.48	[kN]	z	36.27	[kN]	z	32.29	[kN]
V	274.12	[kN]	c	402.31	[kN]	c	397.03	[kN]
M	13.03.23	[m]	a	0.190	[m]	a	0.198	[m]
L	6.1	[m]	LA PARETE NO ES SOLICITADA					
h	3.05	[m]						
l1	0.2	[m]						
t <sub>eq</sub>	3.20	[m]						
f <sub>y</sub>	21	[Mpa]						
dt*	4.88	[m]						
dt*	5.82	[m]						
dt*	5.82	[m]						

v	35.2664	[kN/m]
n	59.7	[kN/m]
N/m	458.8	[kN/m]

PARTE P2 - Y5			2º TEMPORAL			3º TEMPORAL		
N	269.13	[kN]	z	42.31	[kN]	z	47.54	[kN]
V	25.96	[kN]	c	176.80	[kN]	c	171.77	[kN]
M	36.88	[m]	a	0.070	[m]	a	0.098	[m]
L	3.65	[m]	LA PARETE NO ES SOLICITADA					
h	3.05	[m]						
l1	0.2	[m]						
t <sub>eq</sub>	3.20	[m]						
f <sub>y</sub>	21	[Mpa]						
dt*	4.88	[m]						
dt*	5.82	[m]						
dt*	5.82	[m]						

v	36.7829	[kN/m]
n	277.6	[kN/m]
N/m	448.4	[kN/m]

PARTE P2 - Y4			2º TEMPORAL			3º TEMPORAL		
N	195.27	[kN]	z	-6.20	[kN]	z	-5.43	[kN]
V	157.67	[kN]	c	193.57	[kN]	c	194.54	[kN]
M	579.02	[m]	a	0.046	[m]	a	0.048	[m]
L	6.1	[m]	LA PARETE NO ES SOLICITADA					
h	3.05	[m]						
l1	0.2	[m]						
t <sub>eq</sub>	3.20	[m]						
f <sub>y</sub>	25	[Mpa]						
dt*	4.88	[m]						
dt*	5.88	[m]						
dt*	5.88	[m]						

v	26.8054	[kN/m]
n	92.7	[kN/m]
N/m	227.1	[kN/m]

PARTE P2 - Y5			2º TEMPORAL			3º TEMPORAL		
N	148.2	[kN]	z	-54.29	[kN]	z	-65.41	[kN]
V	15.17	[kN]	c	91.91	[kN]	c	80.39	[kN]
M	28.28	[m]	a	0.006	[m]	a	0.008	[m]
L	3.65	[m]	LA PARETE NO ES SOLICITADA					
h	3.05	[m]						
l1	0.2	[m]						
t <sub>eq</sub>	3.20	[m]						
f <sub>y</sub>	25	[Mpa]						
dt*	4.88	[m]						
dt*	5.88	[m]						
dt*	5.88	[m]						

v	15.6938	[kN/m]
n	105.7	[kN/m]
N/m	231.1	[kN/m]

PARTE P2 - Y4			2º TEMPORAL			3º TEMPORAL		
N	71.88	[kN]	z	-15.64	[kN]	z	-13.17	[kN]
V	169.71	[kN]	c	-98.24	[kN]	c	-60.72	[kN]
M	-109.99	[m]	a	0.194	[m]	a	0.202	[m]
L	6.1	[m]	LA PARETE NO ES SOLICITADA					
h	3.05	[m]						
l1	0.2	[m]						
t <sub>eq</sub>	3.20	[m]						
f <sub>y</sub>	25	[Mpa]						
dt*	4.88	[m]						
dt*	5.80	[m]						
dt*	5.80	[m]						

v	11.4272	[kN/m]
n	32.1	[kN/m]
N/m	72.8	[kN/m]

PARTE P2 - Y5			2º TEMPORAL			3º TEMPORAL		
N	48.67	[kN]	z	-5.58	[kN]	z	-6.20	[kN]
V	9.9	[kN]	c	43.89	[kN]	c	-42.77	[kN]
M	0.42	[m]	a	0.146	[m]	a	0.143	[m]
L	3.65	[m]	LA PARETE NO ES SOLICITADA					
h	3.05	[m]						
l1	0.2	[m]						
t <sub>eq</sub>	3.20	[m]						
f <sub>y</sub>	25	[Mpa]						
dt*	4.88	[m]						
dt*	5.80	[m]						
dt*	5.80	[m]						

v	10.2053	[kN/m]
n	50.5	[kN/m]
N/m	93.3	[kN/m]

[illegible]





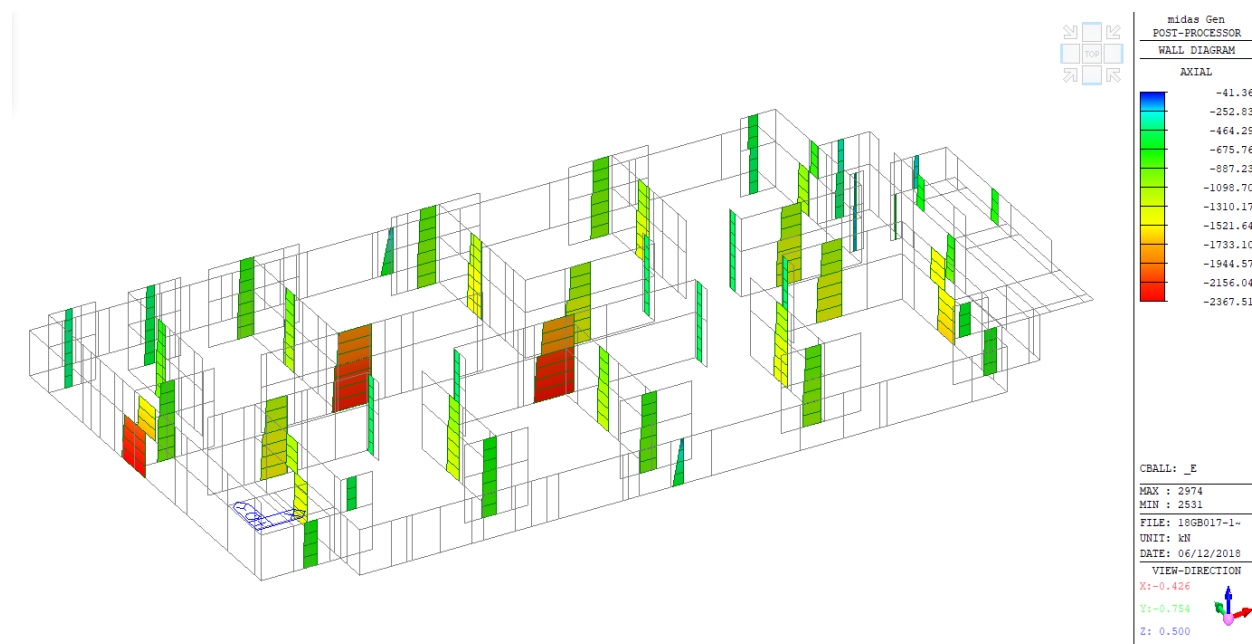
<table> <tr><th colspan="5">PARETE PT. 08</th><th colspan="5">P. TENUTIVO</th></tr> <tr><td>N</td><td>65.28</td><td>[kN]</td><td></td><td></td><td>Z</td><td>26.74</td><td>[kN]</td><td></td><td></td></tr> <tr><td>V</td><td>401.28</td><td>[kN]</td><td></td><td></td><td>c</td><td>465.28</td><td>[kN]</td><td></td><td></td></tr> <tr><td>M</td><td>5769.76</td><td>[Nm]</td><td></td><td></td><td>a</td><td>0.184</td><td>[m]</td><td></td><td></td></tr> <tr><td>L</td><td>7.68</td><td>[m]</td><td></td><td></td><td></td><td></td><td></td><td></td><td></td></tr> <tr><td>h</td><td>1.65</td><td>[m]</td><td></td><td></td><td></td><td></td><td></td><td></td><td></td></tr> <tr><td>It</td><td>0.2</td><td>[m<sup>4</sup>]</td><td></td><td></td><td></td><td></td><td></td><td></td><td></td></tr> <tr><td>I<sub>xx</sub></td><td>100</td><td>[mm<sup>4</sup>]</td><td></td><td></td><td></td><td></td><td></td><td></td><td></td></tr> <tr><td>I<sub>yy</sub></td><td>21</td><td>[mm<sup>4</sup>]</td><td></td><td></td><td></td><td></td><td></td><td></td><td></td></tr> <tr><td>g1*</td><td>5.66</td><td>[m]</td><td></td><td></td><td></td><td></td><td></td><td></td><td></td></tr> <tr><td>g2*</td><td>5.79</td><td>[m]</td><td></td><td></td><td></td><td></td><td></td><td></td><td></td></tr> <tr><td>g3*</td><td>6.79</td><td>[m]</td><td></td><td></td><td></td><td></td><td></td><td></td><td></td></tr> </table>										PARETE PT. 08					P. TENUTIVO					N	65.28	[kN]			Z	26.74	[kN]			V	401.28	[kN]			c	465.28	[kN]			M	5769.76	[Nm]			a	0.184	[m]			L	7.68	[m]								h	1.65	[m]								It	0.2	[m <sup>4</sup> ]								I <sub>xx</sub>	100	[mm <sup>4</sup> ]								I <sub>yy</sub>	21	[mm <sup>4</sup> ]								g1*	5.66	[m]								g2*	5.79	[m]								g3*	6.79	[m]							
PARETE PT. 08					P. TENUTIVO																																																																																																																												
N	65.28	[kN]			Z	26.74	[kN]																																																																																																																										
V	401.28	[kN]			c	465.28	[kN]																																																																																																																										
M	5769.76	[Nm]			a	0.184	[m]																																																																																																																										
L	7.68	[m]																																																																																																																															
h	1.65	[m]																																																																																																																															
It	0.2	[m <sup>4</sup> ]																																																																																																																															
I <sub>xx</sub>	100	[mm <sup>4</sup> ]																																																																																																																															
I <sub>yy</sub>	21	[mm <sup>4</sup> ]																																																																																																																															
g1*	5.66	[m]																																																																																																																															
g2*	5.79	[m]																																																																																																																															
g3*	6.79	[m]																																																																																																																															
<table> <tr><th colspan="5">PARETE PT. 09</th><th colspan="5">P. TENUTIVO</th></tr> <tr><td>N</td><td>164</td><td>[kN]</td><td></td><td></td><td>Z</td><td>27.21</td><td>[kN]</td><td></td><td></td></tr> <tr><td>V</td><td>519.27</td><td>[kN]</td><td></td><td></td><td>c</td><td>399.09</td><td>[kN]</td><td></td><td></td></tr> <tr><td>M</td><td>431.23</td><td>[Nm]</td><td></td><td></td><td>a</td><td>0.142</td><td>[m]</td><td></td><td></td></tr> <tr><td>L</td><td>2.44</td><td>[m]</td><td></td><td></td><td></td><td></td><td></td><td></td><td></td></tr> <tr><td>h</td><td>3.65</td><td>[m]</td><td></td><td></td><td></td><td></td><td></td><td></td><td></td></tr> <tr><td>It</td><td>0.2</td><td>[m<sup>4</sup>]</td><td></td><td></td><td></td><td></td><td></td><td></td><td></td></tr> <tr><td>I<sub>xx</sub></td><td>100</td><td>[mm<sup>4</sup>]</td><td></td><td></td><td></td><td></td><td></td><td></td><td></td></tr> <tr><td>I<sub>yy</sub></td><td>21</td><td>[mm<sup>4</sup>]</td><td></td><td></td><td></td><td></td><td></td><td></td><td></td></tr> <tr><td>g1*</td><td>5.92</td><td>[m]</td><td></td><td></td><td></td><td></td><td></td><td></td><td></td></tr> <tr><td>g2*</td><td>6.17</td><td>[m]</td><td></td><td></td><td></td><td></td><td></td><td></td><td></td></tr> <tr><td>g3*</td><td>7.17</td><td>[m]</td><td></td><td></td><td></td><td></td><td></td><td></td><td></td></tr> </table>										PARETE PT. 09					P. TENUTIVO					N	164	[kN]			Z	27.21	[kN]			V	519.27	[kN]			c	399.09	[kN]			M	431.23	[Nm]			a	0.142	[m]			L	2.44	[m]								h	3.65	[m]								It	0.2	[m <sup>4</sup> ]								I <sub>xx</sub>	100	[mm <sup>4</sup> ]								I <sub>yy</sub>	21	[mm <sup>4</sup> ]								g1*	5.92	[m]								g2*	6.17	[m]								g3*	7.17	[m]							
PARETE PT. 09					P. TENUTIVO																																																																																																																												
N	164	[kN]			Z	27.21	[kN]																																																																																																																										
V	519.27	[kN]			c	399.09	[kN]																																																																																																																										
M	431.23	[Nm]			a	0.142	[m]																																																																																																																										
L	2.44	[m]																																																																																																																															
h	3.65	[m]																																																																																																																															
It	0.2	[m <sup>4</sup> ]																																																																																																																															
I <sub>xx</sub>	100	[mm <sup>4</sup> ]																																																																																																																															
I <sub>yy</sub>	21	[mm <sup>4</sup> ]																																																																																																																															
g1*	5.92	[m]																																																																																																																															
g2*	6.17	[m]																																																																																																																															
g3*	7.17	[m]																																																																																																																															
<table> <tr><th colspan="5">PARETE PT. 20</th><th colspan="5">P. TENUTIVO</th></tr> <tr><td>N</td><td>262.58</td><td>[kN]</td><td></td><td></td><td>Z</td><td>118.20</td><td>[kN]</td><td></td><td></td></tr> <tr><td>V</td><td>107.58</td><td>[kN]</td><td></td><td></td><td>c</td><td>415.05</td><td>[kN]</td><td></td><td></td></tr> <tr><td>M</td><td>861.31</td><td>[Nm]</td><td></td><td></td><td>a</td><td>0.166</td><td>[m]</td><td></td><td></td></tr> <tr><td>L</td><td>3.16</td><td>[m]</td><td></td><td></td><td></td><td></td><td></td><td></td><td></td></tr> <tr><td>h</td><td>2.55</td><td>[m]</td><td></td><td></td><td></td><td></td><td></td><td></td><td></td></tr> <tr><td>It</td><td>0.2</td><td>[m<sup>4</sup>]</td><td></td><td></td><td></td><td></td><td></td><td></td><td></td></tr> <tr><td>I<sub>xx</sub></td><td>100</td><td>[mm<sup>4</sup>]</td><td></td><td></td><td></td><td></td><td></td><td></td><td></td></tr> <tr><td>I<sub>yy</sub></td><td>21</td><td>[mm<sup>4</sup>]</td><td></td><td></td><td></td><td></td><td></td><td></td><td></td></tr> <tr><td>g1*</td><td>2.68</td><td>[m]</td><td></td><td></td><td></td><td></td><td></td><td></td><td></td></tr> <tr><td>g2*</td><td>3.08</td><td>[m]</td><td></td><td></td><td></td><td></td><td></td><td></td><td></td></tr> <tr><td>g3*</td><td>3.08</td><td>[m]</td><td></td><td></td><td></td><td></td><td></td><td></td><td></td></tr> </table>										PARETE PT. 20					P. TENUTIVO					N	262.58	[kN]			Z	118.20	[kN]			V	107.58	[kN]			c	415.05	[kN]			M	861.31	[Nm]			a	0.166	[m]			L	3.16	[m]								h	2.55	[m]								It	0.2	[m <sup>4</sup> ]								I <sub>xx</sub>	100	[mm <sup>4</sup> ]								I <sub>yy</sub>	21	[mm <sup>4</sup> ]								g1*	2.68	[m]								g2*	3.08	[m]								g3*	3.08	[m]							
PARETE PT. 20					P. TENUTIVO																																																																																																																												
N	262.58	[kN]			Z	118.20	[kN]																																																																																																																										
V	107.58	[kN]			c	415.05	[kN]																																																																																																																										
M	861.31	[Nm]			a	0.166	[m]																																																																																																																										
L	3.16	[m]																																																																																																																															
h	2.55	[m]																																																																																																																															
It	0.2	[m <sup>4</sup> ]																																																																																																																															
I <sub>xx</sub>	100	[mm <sup>4</sup> ]																																																																																																																															
I <sub>yy</sub>	21	[mm <sup>4</sup> ]																																																																																																																															
g1*	2.68	[m]																																																																																																																															
g2*	3.08	[m]																																																																																																																															
g3*	3.08	[m]																																																																																																																															
<table> <tr><th colspan="5">PARETE PT. 21</th><th colspan="5">P. TENUTIVO</th></tr> <tr><td>N</td><td>62.48</td><td>[kN]</td><td></td><td></td><td>Z</td><td>282.39</td><td>[kN]</td><td></td><td></td></tr> <tr><td>V</td><td>229.27</td><td>[kN]</td><td></td><td></td><td>c</td><td>443.24</td><td>[kN]</td><td></td><td></td></tr> <tr><td>M</td><td>1033.51</td><td>[Nm]</td><td></td><td></td><td>a</td><td>0.176</td><td>[m]</td><td></td><td></td></tr> <tr><td>L</td><td>2.44</td><td>[m]</td><td></td><td></td><td></td><td></td><td></td><td></td><td></td></tr> <tr><td>h</td><td>1.65</td><td>[m]</td><td></td><td></td><td></td><td></td><td></td><td></td><td></td></tr> <tr><td>It</td><td>0.2</td><td>[m<sup>4</sup>]</td><td></td><td></td><td></td><td></td><td></td><td></td><td></td></tr> <tr><td>I<sub>xx</sub></td><td>100</td><td>[mm<sup>4</sup>]</td><td></td><td></td><td></td><td></td><td></td><td></td><td></td></tr> <tr><td>I<sub>yy</sub></td><td>21</td><td>[mm<sup>4</sup>]</td><td></td><td></td><td></td><td></td><td></td><td></td><td></td></tr> <tr><td>g1*</td><td>5.66</td><td>[m]</td><td></td><td></td><td></td><td></td><td></td><td></td><td></td></tr> <tr><td>g2*</td><td>5.79</td><td>[m]</td><td></td><td></td><td></td><td></td><td></td><td></td><td></td></tr> <tr><td>g3*</td><td>6.79</td><td>[m]</td><td></td><td></td><td></td><td></td><td></td><td></td><td></td></tr> </table>										PARETE PT. 21					P. TENUTIVO					N	62.48	[kN]			Z	282.39	[kN]			V	229.27	[kN]			c	443.24	[kN]			M	1033.51	[Nm]			a	0.176	[m]			L	2.44	[m]								h	1.65	[m]								It	0.2	[m <sup>4</sup> ]								I <sub>xx</sub>	100	[mm <sup>4</sup> ]								I <sub>yy</sub>	21	[mm <sup>4</sup> ]								g1*	5.66	[m]								g2*	5.79	[m]								g3*	6.79	[m]							
PARETE PT. 21					P. TENUTIVO																																																																																																																												
N	62.48	[kN]			Z	282.39	[kN]																																																																																																																										
V	229.27	[kN]			c	443.24	[kN]																																																																																																																										
M	1033.51	[Nm]			a	0.176	[m]																																																																																																																										
L	2.44	[m]																																																																																																																															
h	1.65	[m]																																																																																																																															
It	0.2	[m <sup>4</sup> ]																																																																																																																															
I <sub>xx</sub>	100	[mm <sup>4</sup> ]																																																																																																																															
I <sub>yy</sub>	21	[mm <sup>4</sup> ]																																																																																																																															
g1*	5.66	[m]																																																																																																																															
g2*	5.79	[m]																																																																																																																															
g3*	6.79	[m]																																																																																																																															

Dove la parete si solleva dovranno essere predisposti degli appositi collegamenti di tipo Hold-Down per evitarne il sollevamento. Verranno comunque predisposti di default un Hold-Down per estremità di parete anche se non necessari.

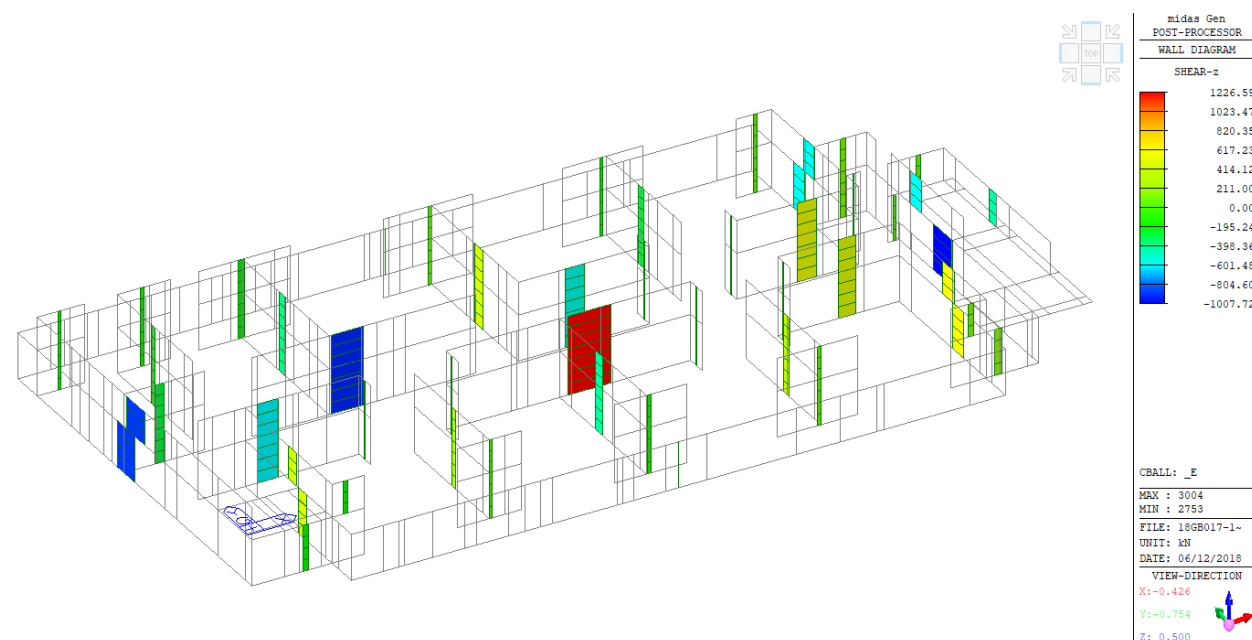
### 7.3.2 VERIFICA SISMICA PARETI IN CALCESTRUZZO ARMATO

In questo capitolo si riportano i diagrammi di sollecitazione sugli elementi costituenti le pareti in calcestruzzo armato dell'edificio e le principali verifiche sezionali.

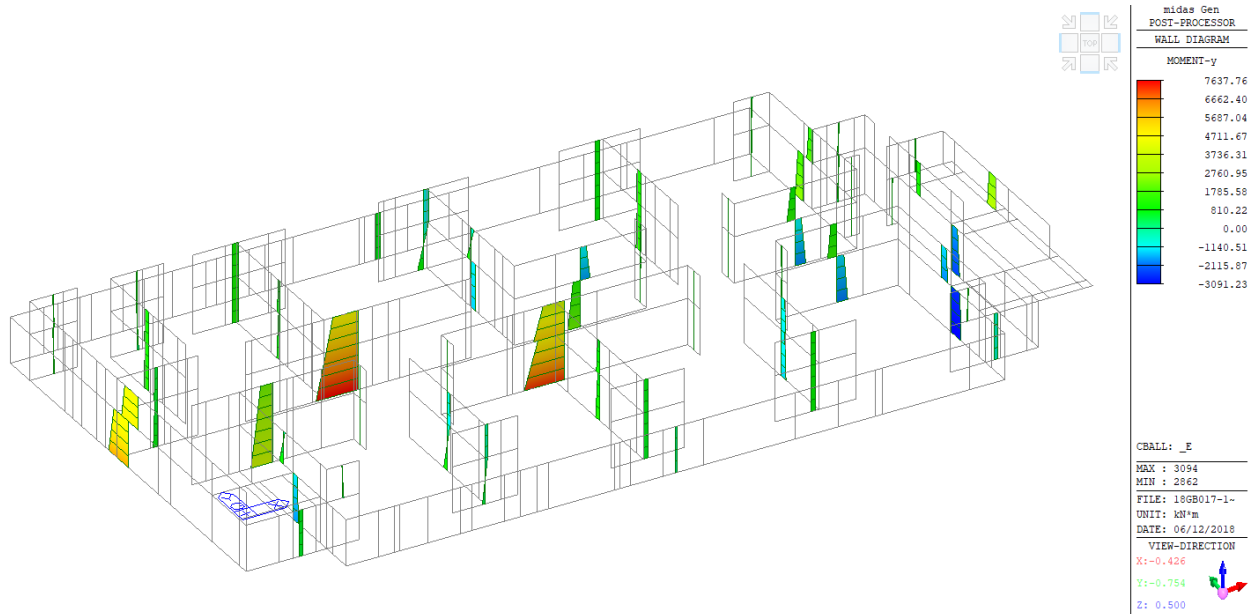
- SFORZO ASSIALE



- SFORZO TAGLIANTE



- SFORZO FLETTENTE



Attraverso tali valori si condurranno le principali verifiche sismiche sezionali delle pareti in calcestruzzo armato.

Si riporta la verifica della parete centrale più sollecitata.

Materiali utilizzati		
Valore di snervamento dell'acciaio dell'armatura	$f_{sk}$	450 [N/mm <sup>2</sup> ]
Modulo di elasticità dell'acciaio dell'armatura	$E_s$	200,000 [N/mm <sup>2</sup> ]
Coefficiente di sicurezza dell'armatura	$\gamma_s$	1.15 [-]
	C28/35	
Resistenza caratteristica cubica del calcestruzzo	$f_{ck}$	29.05 [N/mm <sup>2</sup> ]
Resistenza caratteristica media del calcestruzzo	$f_{cm}$	37.05 [N/mm <sup>2</sup> ]
Resistenza a trazione media	$f_{ctm}$	2.83 [N/mm <sup>2</sup> ]
Modulo di elasticità del calcestruzzo	$E_{cm}$	32,588 [N/mm <sup>2</sup> ]
Coefficiente di sicurezza del calcestruzzo	$\gamma_c$	1.50 [-]
Resistenza di calcolo del calcestruzzo	$f_{cd}$	16.46 [N/mm <sup>2</sup> ]
Resistenza di calcolo dell'armatura	$f_{yd}$	391.30 [N/mm <sup>2</sup> ]
Geometria della parete		
Classe di duttilità	CD	B [-]
Lunghezza in pianta della parete	$L_w$	11300.00 [mm]
Spessore in pianta della parete	$B_w$	300.00 [mm]
Altezza complessiva della parete	$H_w$	3650.00 [mm]
Distanza tra il baricentro dell'armature e il bordo del cls	$d'$	40.00 [mm]
Numero di piani contenuti nella parete di taglio	$n_{piani}$	1.00 [mm]
Altezza del piano terra	$H_{p.t.}$	3650.00 [mm]
Altezza critica della sezione	$h_{cr}$	3650.00 [mm]
Lunghezza della zona confinata	$L_c$	2260.00 [mm]
Lunghezza totale delle zone confinate	$L_{c,tot}$	4520.00 [mm]
Lunghezza totale delle zone non confinate	$L_{nc}$	6780.00 [mm]
Braccio di leva delle forze interne	$z$	10170.00 [mm]
Armature verticali della sezione		
Verifica da attuarsi nelle zone critiche	Zona Crit.	Si [-]
Diametro delle armature presenti nelle zone confinate	$\phi_{v,c}$	16.00 [mm]
Passo delle armature presenti nelle zone confinate	$s_{v,c}$	100.00 [mm]
Diametro delle armature presenti nelle zone non confinate	$\phi_{v,nc}$	16.00 [mm]
Passo delle armature presenti nelle zone non confinate	$s_{v,nc}$	200.00 [mm]
Rapporto geometrico d'armatura nelle zone confinate	$\rho_{v,c}$	1.340% OK
Rapporto geometrico d'armatura nelle zone non confinate	$\rho_{v,nc}$	0.670% OK
Rapporto geometrico medio pesato tra le zone confinate e non confinate	$\rho_{v,medio}$	0.938% [-]



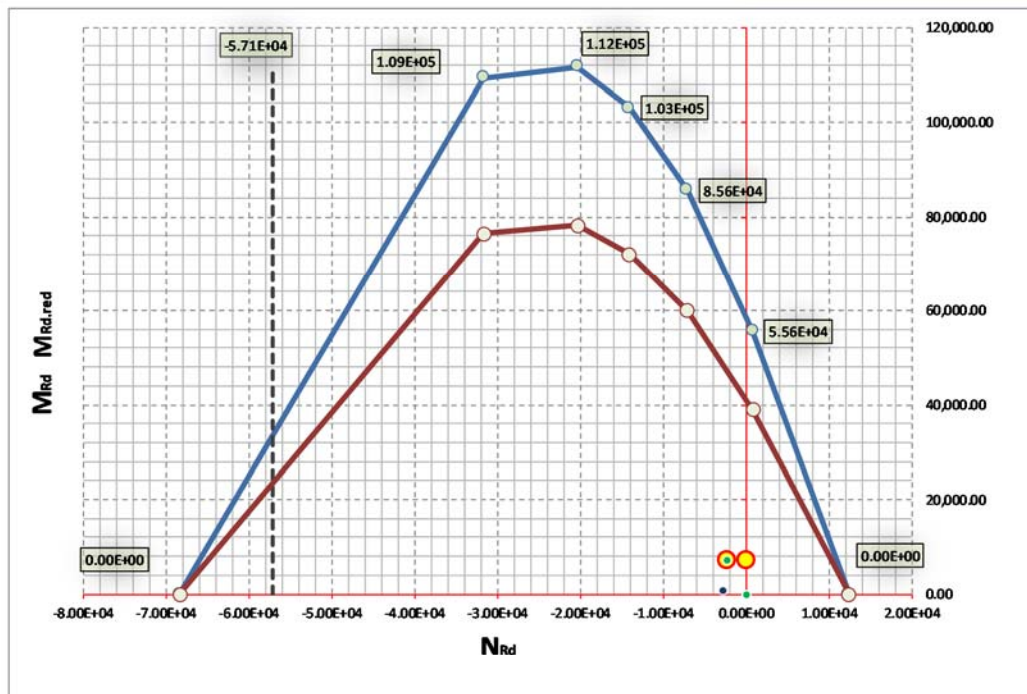
Resistenze della sezione a presso/tenso flessione		
<b>Resistenza a trazione pura</b>		
<b>PUNTO 1</b>		
Area dell'armatura nelle zone confinate	$A_{s,c}$	18176.00 [mm <sup>2</sup> ]
Area dell'armatura nelle zone non confinate	$A_{s,nc}$	13632.00 [mm <sup>2</sup> ]
<b>Resistenza a trazione pura</b>	$N_{t,Rd}$	<b>12446.61 [kN]</b>
<b>Resistenza a flessione</b>	$M_{Rd}$	<b>0.00 [kNm]</b>
<b>Resistenza a forza normale e flessione</b>		
<b>PUNTO 2</b>		
Coefficiente di riempimento	$\beta_{2A}$	0.6667 [-]
Coefficiente di baricentro	$\kappa_{2A}$	0.3750 [-]
Posizione dell'asse neutro	$x_{2A}$	1873.33 [mm]
Posizione del baricentro geometrico	$z_G$	5650.00 [mm]
Risultante complessiva delle compressioni nel cls	$F_c$	-6167.95 [kN]
Risultante complessiva delle forze nelle armature	$F_s$	7029.11 [kN]
<b>Resistenza a forza normale</b>	$N_{Rd}$	<b>861.16 [kN]</b>
<b>Resistenza a flessione</b>	$M_{Rd}$	<b>55563.39 [kNm]</b>
<b>PUNTO 3</b>		
Coefficiente di riempimento	$\beta_{2B}$	0.8095 [-]
Coefficiente di baricentro	$\kappa_{2B}$	0.4160 [-]
Posizione dell'asse neutro	$x_{2B}$	2914.07 [mm]
Posizione del baricentro geometrico	$z_G$	5650.00 [mm]
Risultante complessiva delle compressioni nel cls	$F_c$	-11649.64 [kN]
Risultante complessiva delle forze nelle armature	$F_s$	4624.22 [kN]
<b>Resistenza a forza normale</b>	$N_{Rd}$	<b>-7025.42 [kN]</b>
<b>Resistenza a flessione</b>	$M_{Rd}$	<b>85569.97 [kNm]</b>
<b>PUNTO 4</b>		
Coefficiente di riempimento	$\beta_3$	0.8095 [-]
Coefficiente di baricentro	$\kappa_3$	0.4160 [-]
Posizione dell'asse neutro	$x$	4150.55 [mm]
Posizione del baricentro geometrico	$z_G$	5650.00 [mm]
Risultante complessiva delle compressioni nel cls	$F_c$	-16592.72 [kN]
Risultante complessiva delle forze nelle armature	$F_s$	2516.06 [kN]
<b>Resistenza a forza normale</b>	$N_{Rd}$	<b>-14076.66 [kN]</b>
<b>Resistenza a flessione</b>	$M_{Rd}$	<b>102990.41 [kNm]</b>
<b>PUNTO 5</b>		
Coefficiente di riempimento	$\beta_3$	0.8095 [-]
Coefficiente di baricentro	$\kappa_3$	0.4160 [-]
Posizione dell'asse neutro	$x$	5268.24 [mm]
Posizione del baricentro geometrico	$z_G$	5650.00 [mm]
Risultante complessiva delle compressioni nel cls	$F_c$	-21060.92 [kN]
Risultante complessiva delle forze nelle armature	$F_s$	741.50 [kN]
<b>Resistenza a forza normale</b>	$N_{Rd}$	<b>-20319.42 [kN]</b>
<b>Resistenza a flessione</b>	$M_{Rd}$	<b>111576.76 [kNm]</b>

**PUNTO 6**

Coefficiente di riempimento	$\beta_3$	0.8095 [-]
Coefficiente di baricentro	$\kappa_3$	0.4160 [-]
Posizione dell'asse neutro	$x_3$	7209.72 [mm]
Posizione del baricentro geometrico	$z_G$	5650.00 [mm]
Risultante complessiva delle compressioni nel cls	$F_c$	-28822.42 [kN]
Risultante complessiva delle forze nelle armature	$F_s$	-2828.37 [kN]
Resistenza a forza normale	$N_{Rd}$	-31650.78 [kN]
Resistenza a flessione	$M_{Rd}$	109262.91 [kNm]

**PUNTO 7****Resistenza a compressione pura**

Area della sezione in calcestruzzo	$A_c$	3390000.00 [mm <sup>2</sup> ]
Resistenza a compressione pura	$N_{c,Rd}$	-68251.66 [kN]
Resistenza ridotta a compressione pura	$N_{c,red,Rd}$	-57090.65 [kN]
Resistenza a flessione	$M_{Rd}$	0.00 [kNm]

**Sollecitazioni a STATO LIMITE ULTIMO****derivanti dall'analisi statica**

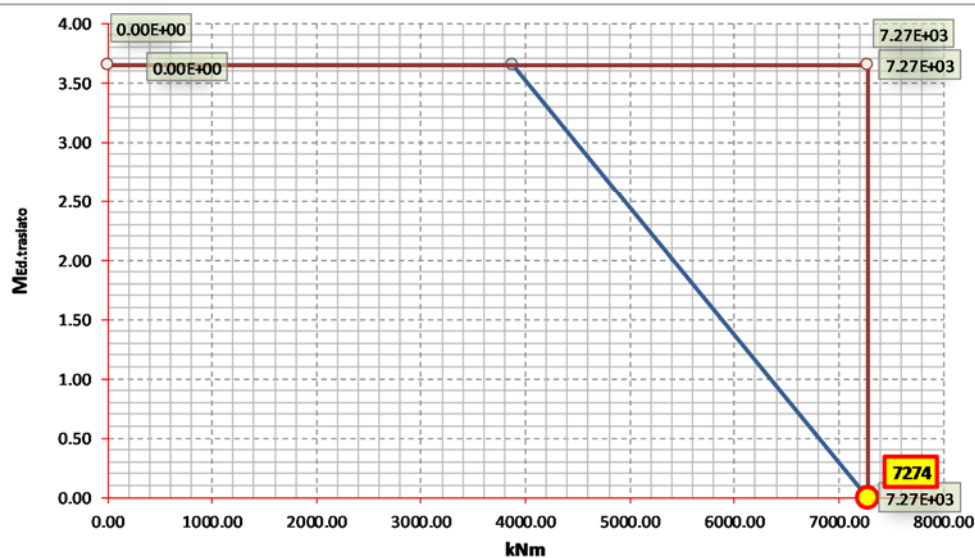
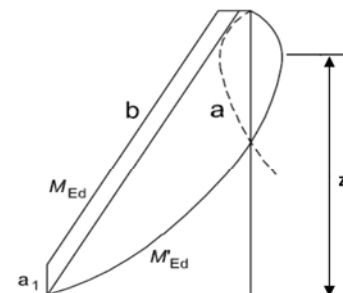
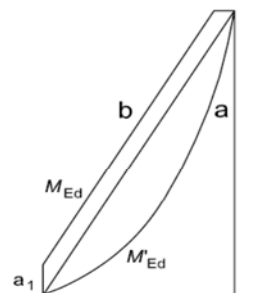
Minima forza normale (neg. se di compressione)	$N_{Ed,ULS}$	-2674 [kN]
Massima forza normale (pos. se di trazione)	$N_{Ed,ULS}$	0 [kN]
Massima forza di taglio	$V_{Ed,ULS}$	87 [kN]
Massimo momento flettente	$M_{Ed,ULS}$	802 [kNm]

**Sollecitazioni a STATO LIMITE DI VITA****derivanti dall'analisi sismica**

Minima forza normale (neg. se di compressione)	$N_{Ed,SLV}$	-2309 [kN]
Massima forza normale (pos. se di trazione)	$N_{Ed,SLV}$	0 [kN]
Massima forza di taglio	$V_{Ed,SLV}$	1227 [kN]
Massimo momento flettente	$M_{Ed,SLV}$	7274 [kNm]

#### Involuppo e traslazione del diagramma dei momenti flettenti

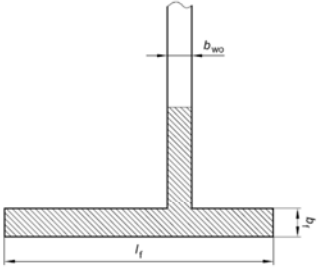
Massimo momento flettente alla base della parete (sismico)	$M'_{Ed,max,1}$	7274 [kNm]
Massimo momento flettente alla quota $z$ (dove esistono punti singolari o in sommità)	$M'_{Ed,max,2}$	3883 [kNm]
Quota $z$ del momento $M'_{Ed,max,2}$	$z$	3.65 [m]
Momento di involucro in sommità	$M'_{Ed,max}$	3882.50 [kNm]



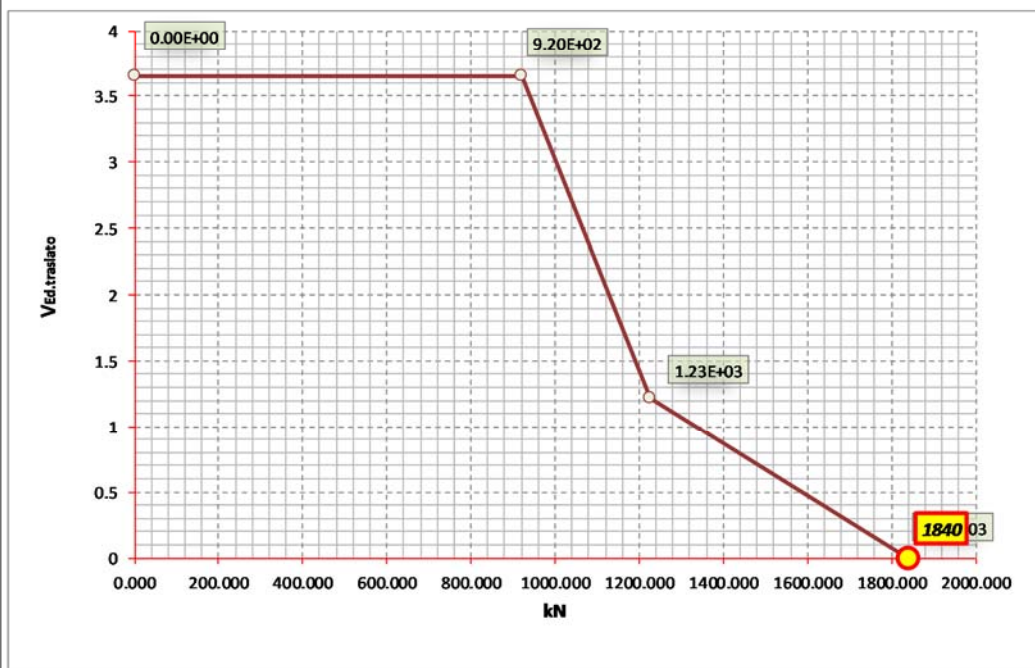
Quota alla quale si sta attuando la verifica della parete	$z_{ver.}$	0.00 [m]
Momento traslato calcolato alla quota $z_{ver.}$	$M_{Ed,ver.}$	7274 [kNm]

#### Coppie di momento flettente e forza normale da verificare in condizione sismica

Coppia associata alla minima forza normale sismica	$N_{Ed,SLV,min}$	-2309 [kN]
	$M_{Ed,ver.}$	7274 [kNm]
Coppia associata alla massima forza normale sismica	$N_{Ed,SLV,max}$	0 [kN]
	$M_{Ed,ver.}$	7274 [kNm]

Verifica di compressione della sezione di calcestruzzo § 7.4.4.5.2			
Larghezza dell'eventuale "ala" da considerare nella verifica	$L_f$	0.00	[mm]
Spessore dell'eventuale "ala" da considerare nella verifica	$B_f$	0.00	[mm]
Numero delle ali da considerare	$n$	0.00	[-]
Sollecitazione di compressione dovuta all'azione sismica	$N_{Ed,SLV,min}$	2309	[kN]
			
Area complessiva della sezione in calcestruzzo	$A_c$	3.39E+06	[mm <sup>2</sup> ]
Resistenza della sezione di solo calcestruzzo	$N_{c,Rd}$	55805	[kN]
Rapporto di resistenza della sezione in calcestruzzo	$\rho_{Nc}$	4.14%	OK
Sollecitazioni taglianti di progetto § 7.4.4.5.1			
Massima forza di taglio derivante dall'analisi statica ULS	$V_{Ed,ULS}$	87	[kN]
Massima forza di taglio derivante dall'analisi sismica SLV	$V_{Ed,SLV}$	1227	[kN]
<b>Incremento del taglio sismico in funzione di tipologia e classe di duttilità</b>			
Fattore di struttura assunto nell'analisi sismica dell'edificio	$q$	2.00	[-]
Fattore di sovraresistenza	$\gamma_{rd}$	1.20	[-]
Periodo fondamentale di vibrazione della struttura	$T_1$	0.226	[s]
Periodo corrispondente alla fine del plateau	$T_C$	0.408	[s]
Ordinata dello spettro di risposta SLV corrispondente a $T_1$	$S(T_1)$	0.348	[-]
Ordinata dello spettro di risposta SLV corrispondente a $T_C$	$S(T_C)$	0.348	[-]
Lunghezza in pianta della parete (nella zona di incastro)	$L_{w,base}$	11300.00	[mm]
Spessore in pianta della parete (nella zona di incastro)	$B_{w,base}$	300.00	[mm]
Lunghezza delle zone confinate (nella zona di incastro)	$L_{c,base}$	1000.00	[mm]
Diametro delle armature presenti nelle zone confinate (nella zona di incastro)	$\phi_{v,c,base}$	16.00	[mm]
Passo delle armature presenti nelle zone confinate (nella zona di incastro)	$S_{v,c,base}$	100.00	[mm]
Diametro delle armature presenti nelle zone non confinate (nella zona di incastro)	$\phi_{v,nc,base}$	16.00	[mm]
Passo delle armature presenti nelle zone non confinate (nella zona di incastro)	$S_{v,nc,base}$	200.00	[mm]
Coefficiente di rimpimento	$\beta_0$	0.8000	[-]
Coefficiente di baricentro	$\kappa_0$	0.4000	[-]
Posizione dell'asse neutro di tentativo	$x_t$	2052.00	100.12%
Forza assiale massima in condizione sismica (alla base del setto)	$N_{Ed,SLV,max}$	-2367.00	[kN]
Posizione del baricentro geometrico	$z_G$	5650.00	[mm]
Risultante complessiva delle compressioni nel cls	$F_c$	-8107.04	[kN]
Risultante complessiva delle forze nelle armature	$F_s$	5742.78	[kN]
Resistenza a forza normale	$N_{Rd}$	-2364.26	[kN]
Resistenza a flessione	$M_{Rd,base}$	60350.42	[kNm]
Massimo momento flettente alla base della parete	$M'_{Ed,base}$	7273.50	[kNm]
Fattore di incremento del taglio sismico	$i_v$	1.50	[-]

Massimo Taglio alla base della parete (sismico) non moltiplicato per $i_v$	$V_{Ed,max}$	1227 [kN]
<b>Strutture a pareti</b>	$V_{SLV,1}$	1840 [kN]
<b>Strutture a pareti estese debolmente armate</b>	$V_{SLV,2}$	1840 [kN]
<b>Strutture miste non debolmente armate</b>	$V_{SLV,3(A)}$	1840 [kN]
Valore del taglio sismico derivante dall'analisi FEM ad $H_w/3$ (non moltiplicato per $i_v$ )	$V'_{SLV,3(B)}$	1226.60 [kN]
	$V_{SLV,3(B)}$	1227 [kN]
	$V_{SLV,3(C)}$	920 [kN]
Quota alla quale si sta attuando la verifica della parete	$z_{ver.}$	0.0 [m]
Taglio di involucro calcolato alla quota $z_{ver.}$	$V_{SLV,3}$	1840 [kN]



Scegliere la tipologia strutturale nella quale ricade la parete

Strutture a pareti

Massima forza di taglio derivante dall'analisi statica ULS	$V_{Ed,ULS}$	87 [kN]
Massima forza di taglio derivante dall'analisi sismica SLV (involuppata)	$V_{Ed,SLV}$	1840 [kN]


#### Verifica a taglio compressione del calcestruzzo d'anima § 7.4.4.5.2.2

Braccio di leva delle forze interne	$z$	10170.00 [mm]
Spessore in pianta della parete	$B_w$	300.00 [mm]
Resistenza a compressione ridotta del calcestruzzo d'anima	$f'_{cd}$	8.23 [N/mm <sup>2</sup> ]
Forza assiale minima derivante dall'analisi sismica	$N_{Ed,SLV,min}$	-2309 [kN]
Forza assiale minima derivante dall'analisi sismica incrementata del 50%	$N'_{Ed,SLV,min}$	-2309 [kN]
Forza assiale minima derivante dall'analisi sismica decrementata del 50%	$N''_{Ed,SLV,min}$	-2309 [kN]
Forza assiale massima derivante dall'analisi sismica	$N_{Ed,SLV,max}$	0 [kN]
Forza assiale massima derivante dall'analisi sismica incrementata del 50%	$N'_{Ed,SLV,max}$	0 [kN]
Forza assiale massima derivante dall'analisi sismica decrementata del 50%	$N''_{Ed,SLV,max}$	0 [kN]

Tensioni indotte nella sezione di solo calcestruzzo	$\sigma_{cp,1}$	0.68 [N/mm <sup>2</sup> ]	
	$\sigma_{cp,2}$	0.68 [N/mm <sup>2</sup> ]	
	$\sigma_{cp,3}$	0.68 [N/mm <sup>2</sup> ]	
	$\sigma_{cp,4}$	Trazione [N/mm <sup>2</sup> ]	
	$\sigma_{cp,5}$	Trazione [N/mm <sup>2</sup> ]	
	$\sigma_{cp,6}$	Trazione [N/mm <sup>2</sup> ]	
Rapporto tra la tensione e la resistenza di calcolo	$\sigma_{cp,1} / f_{cd}$	0.04 [-]	
	$\sigma_{cp,2} / f_{cd}$	0.04 [-]	
	$\sigma_{cp,3} / f_{cd}$	0.04 [-]	
	$\sigma_{cp,4} / f_{cd}$	0.00 [-]	
	$\sigma_{cp,5} / f_{cd}$	0.00 [-]	
	$\sigma_{cp,6} / f_{cd}$	0.00 [-]	
Coefficiente maggiorativo per la presenza della compressione	$\alpha_{c,1}$	1.04 [-]	
	$\alpha_{c,2}$	1.04 [-]	
	$\alpha_{c,3}$	1.04 [-]	
	$\alpha_{c,4}$	1.00 [-]	
	$\alpha_{c,5}$	1.00 [-]	
	$\alpha_{c,6}$	1.00 [-]	
Coefficiente maggiorativo "minimo" per la presenza della compressione	$\alpha_{c,min}$	1.00 [-]	
Coefficiente di riduzione nelle zone critiche in CD "A"	$\beta_c$	1.00 [-]	
Angolo di inclinazione delle armature orizzontali rispetto alla verticale	$\alpha$	90.00 [°]	
Angolo di inclinazione dei puntoni compressi	$\theta$	45.00 [°]	
	$\theta$	45.00 [°]	
Cotangenti degli angoli di inclinazione dei puntoni e delle armature	$ctg\theta$	1.00	OK
	$ctg\alpha$	0.00 [-]	
Resistenza a taglio compressione del calcestruzzo d'anima	$V_{Rd,c}$	12556 [kN]	
Verifica di resistenza a taglio nei confronti dello Stato Limite Ultimo	$\rho_{Vc,ULS}$	0.01	OK
Verifica di resistenza a taglio nei confronti dello Stato Limite di Vita	$\rho_{Vc,SLV}$	0.15	OK
Verifica a taglio trazione dell'armatura d'anima § 7.4.4.5.2.2			
Momento traslato calcolato alla quota $z_{ver.}$	$M_{Ed,ver.}$	7273.50 [kNm]	
Taglio involupato calcolato alla quota $z_{ver.}$	$V_{Ed,SLV}$	1839.90 [kN]	
Lunghezza in pianta della parete	$L_w$	11.30 [m]	
Coefficiente $\alpha_s$ "massimo" per la presenza di momento e taglio	$\alpha_s$	1.00 [-]	
Verifica da attuarsi nelle zone critiche	Zona Crit.	Si [-]	
Diametro delle armature orizzontali presenti nelle zone confinate	$\phi_{h,c}$	12.00 [mm]	
Passo delle armature orizzontali presenti nelle zone confinate	$s_{h,c}$	200.00 [mm]	
Diametro delle armature orizzontali presenti nelle zone non confinate	$\phi_{h,nc}$	12.00 [mm]	
Passo delle armature presenti nelle zone non confinate	$s_{h,nc}$	200.00 [mm]	
Numero delle braccia nelle zone confinate	$n_c$	2.00 [-]	
Numero delle braccia nelle zone non confinate	$n_{nc}$	2.00 [-]	
Area dei ferri orizzontali nelle zone confinate	$A_{h,c}$	226.19 [mm <sup>2</sup> ]	
Area dei ferri orizzontali nelle zone non confinate	$A_{h,nc}$	226.19 [mm <sup>2</sup> ]	
Rapporto geometrico d'armatura orizzontale nelle zone confinate	$\rho_{h,c}$	0.377%	OK
Rapporto geometrico d'armatura orizzontale nelle zone non confinate	$\rho_{h,nc}$	0.377%	OK
Rapporto geometrico medio pesato tra le zone confinate e non confinate	$\rho_{h,medio}$	0.377% [-]	
Braccio di leva delle forze interne	$z$	10170.00 [mm]	
Resistenza a flessione	$B_w$	300.00 [mm]	
Resistenza a taglio trazione dell'armatura d'anima in CD "B"	$V_{Rd,s,CDB}$	4501 [kN]	
Resistenza a taglio trazione dell'armatura d'anima in CD "A" se $\alpha_s \geq 2$	$V'_{Rd,s,CDA}$	4501 [kN]	



<b>Resistenza a taglio degli elementi non armati § 4.1.2.1.3.1</b>			
Altezza utile della sezione	d	11260.00 [mm]	
Coefficiente k	k	1.1333 [-]	
Rapporto geometrico dell'armatura verticale	$\rho_1$	0.0094 [-]	
Resistenza a taglio degli elementi non armati	$V_{Rd,cls,1}$	1382.52 [kN]	
	$V_{Rd,cls,2}$	768.78 [kN]	
<b>Resistenza a taglio degli elementi non armati</b>	<b><math>V_{Rd,cls}</math></b>	<b>1383 [kN]</b>	
Forza assiale minima derivante dall'analisi sismica	$N_{Ed,SLV,min}$	-2309 [kN]	
Forza assiale minima derivante dall'analisi sismica incrementata del 50%	$N'_{Ed,SLV,min}$	-2309 [kN]	
Forza assiale minima derivante dall'analisi sismica decrementata del 50%	$N''_{Ed,SLV,min}$	-2309 [kN]	
Forza assiale massima derivante dall'analisi sismica	$N_{Ed,SLV,max}$	0 [kN]	
Forza assiale massima derivante dall'analisi sismica incrementata del 50%	$N'_{Ed,SLV,max}$	0 [kN]	
Forza assiale massima derivante dall'analisi sismica decrementata del 50%	$N''_{Ed,SLV,max}$	0 [kN]	
<b>Resistenza a taglio degli elementi non armati da considerare nella verifica</b>	<b><math>V_{Rd,cls,SLV}</math></b>	<b>1383 [kN]</b>	
<b>Resistenza a taglio trazione dell'armatura d'anima in CD "A" se <math>\alpha_s &lt; 2</math></b>	<b><math>V'_{Rd,s,CDA}</math></b>	<b>5133 [kN]</b>	
Copriferro laterale	C	40.00 [mm]	
Larghezza del setto al netto del copriferro	$B_{w0}$	220.00 [mm]	
Resistenza delle armature orizzontali	$V_{Rd,h}$	3300.57 [kN]	
Massima forza di compressione	$N_{Ed,min}$	0.00 [kN]	
Resistenza delle armature verticali	$V_{Rd,v}$	11201.95 [kN]	
<b>Verifica in accordo con il punto [7.4.16]</b>	<b><math>\rho_{h/v}</math></b>		
<b>Verifiche di resistenza a taglio trazione</b>			
Verifica di resistenza a taglio trazione CD "B" nei confronti dello Stato Limite Ultimo	$\rho_{Vs,ULS}$	0.02	OK
Verifica di resistenza a taglio trazione CD "B" nei confronti dello Stato Limite di Vita	$\rho_{Vs,SLV}$	0.41	OK
Verifica di resistenza a taglio trazione CD "A" nei confronti dello Stato Limite Ultimo	$\rho_{Vs,ULS}$		
Verifica di resistenza a taglio trazione CD "A" nei confronti dello Stato Limite di Vita	$\rho_{Vs,SLV}$		
<b>Verifica di scorrimento nelle zone critiche § 7.4.4.5.2.2</b>			
Verifica da attuarsi nelle zone critiche	Zona Crit.	Si	[-]
<b>Resistenza dovuta all'effetto spinotto [7.4.19]</b>			
Area complessiva delle armature verticali	$\Sigma A_{sj}$	31808 [mm <sup>2</sup> ]	
<b>Resistenza offerta dall'effetto spinotto</b>	$V_{dd,1}$	3318.75 [kN]	
	$V_{dd,2}$	3111.65 [kN]	
	<b><math>V_{dd,min}</math></b>	<b>3111.65 [kN]</b>	
<b>Resistenza dovuta all'attrito [7.4.21]</b>			
Coefficiente di attrito del calcestruzzo sotto azioni cicliche	$\mu_f$	0.60 [-]	
Coefficiente $\eta$	$\eta$	0.53 [-]	
Posizione dell'asse neutro associato alla forza assiale che ne minimizza la dimensione	x	2052.00 [mm]	
Altezza utile della sezione	d	11260.00 [mm]	
Posizione adimensionale dell'asse neutro	$\xi$	0.182 [-]	
Braccio di leva delle forze interne	z	10170.00 [mm]	
Massima forza assiale (negativa se di trazione)	$N_{Ed}$	0.00 [kN]	
Momento flettente alla quota di verifica	$M_{Ed}$	7273.50 [kNm]	
<b>Resistenza offerta dall'attrito</b>	$V_{fd,1}$	1790.06 [kN]	
	$V_{fd,2}$	1977.38 [kN]	
	<b><math>V_{fd,min}</math></b>	<b>1790.06 [kN]</b>	

<b><u>Resistenza dovuta alle eventuali armature inclinate [7.4.20]</u></b>			
Diametro dell'armatura inclinata che attraversa il piano di scorrimento	$d_i$	0.00	[mm]
Angolo di inclinazione dell'armatura rispetto al piano di scorrimento	$\phi_i$	0.00	[°]
Numero totale delle armature inclinate	$n_i$	0.00	[-]
Area totale delle armature inclinate	$\Sigma A_{si}$	0	[mm <sup>2</sup> ]
<b><u>Resistenza offerta dalle armature inclinate</u></b>	<b><math>V_{id}</math></b>	<b>0.00</b>	<b>[kN]</b>
<b><u>Resistenza complessiva</u></b>			
<b><u>Resistenza offerta dalle armature inclinate</u></b>	<b><math>V_{Rd,s}</math></b>	<b>4901.71</b>	<b>[kN]</b>
<b>Verifica di resistenza a scorrimento nei confronti dello Stato Limite di Vita</b>	<b><math>\rho_{Vs,SLV}</math></b>	 <b>0.38</b>	<b>OK</b>
Fine documento			

Le verifiche risultano pienamente soddisfatte

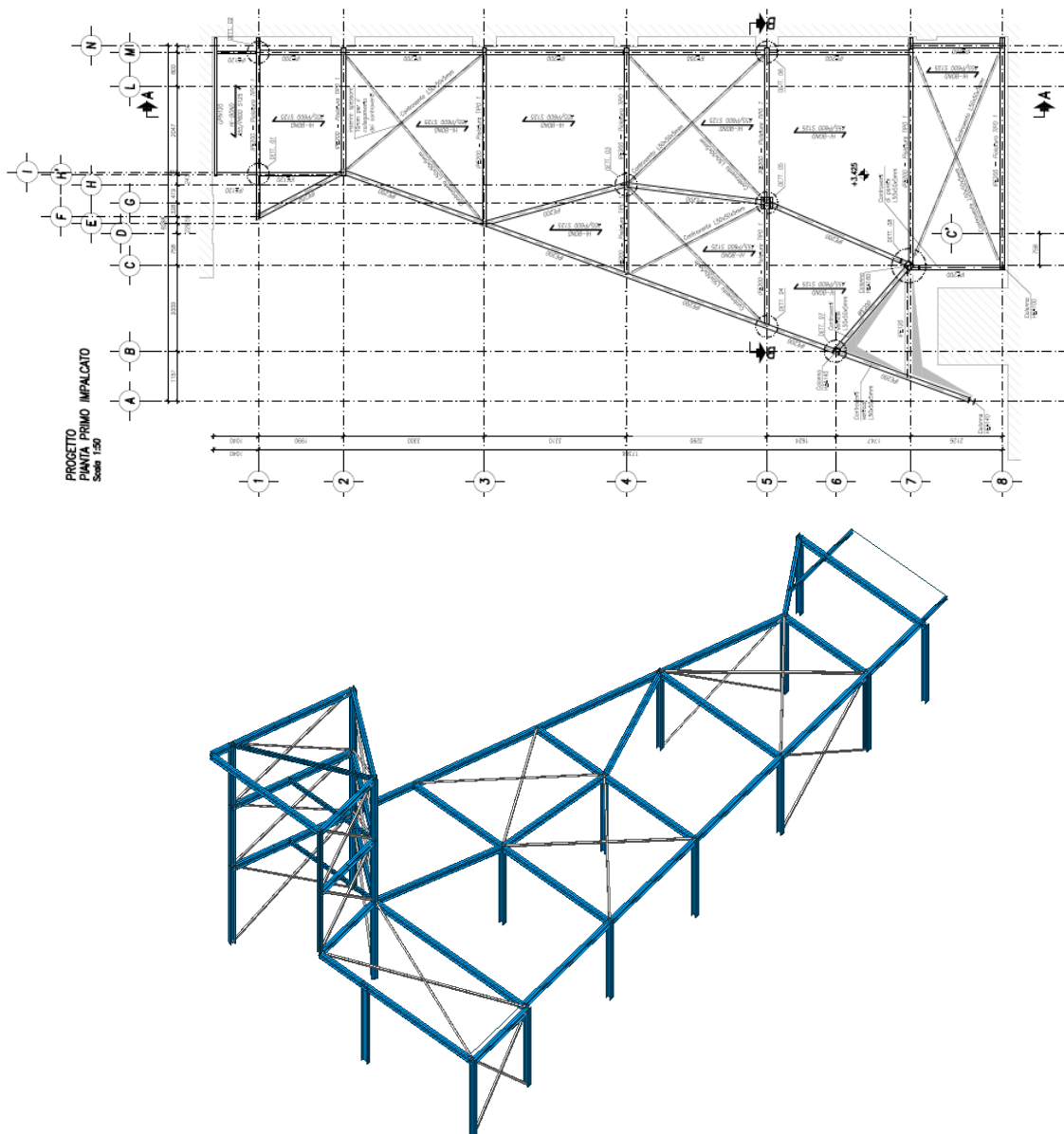


---

## 8 CORRIDOIO DISTRIBUTIVO

Sul lato sud dell'auditorium verrà realizzato un nuovo corridoio distributivo con funzione di “filtro” per l'accesso alla sala. Si compone delle strutture in acciaio fuori terra e delle fondazioni in c.a.. La copertura è realizzata con lamiera grecata del tipo collaborante. Le strutture verranno adeguatamente protette nei confronti delle azioni del fuoco mediante rivestimenti in laterizio o cartongessi idonei allo scopo (alternativamente si può prevedere l'applicazione di vernici intumescenti).

Nelle prossime immagini si riportano degli estratti dagli elaborati grafici.



Nel seguito si riportano le verifiche degli elementi principali delle strutture in oggetto.

---

---

## 8.1 CARICHI AGENTI

Le azioni agenti assunte su tale struttura, in accordo con le NTC 2008 sono di seguito riassunte:

- azioni accidentali solaio calpestio p. terra 5,00 kN/mq
- azioni accidentali sulla copertura 2,30 kN/mq
- carichi permanenti p.terra 3,25 kN/mq
- carichi permanenti copertura 1,30 kN/mq

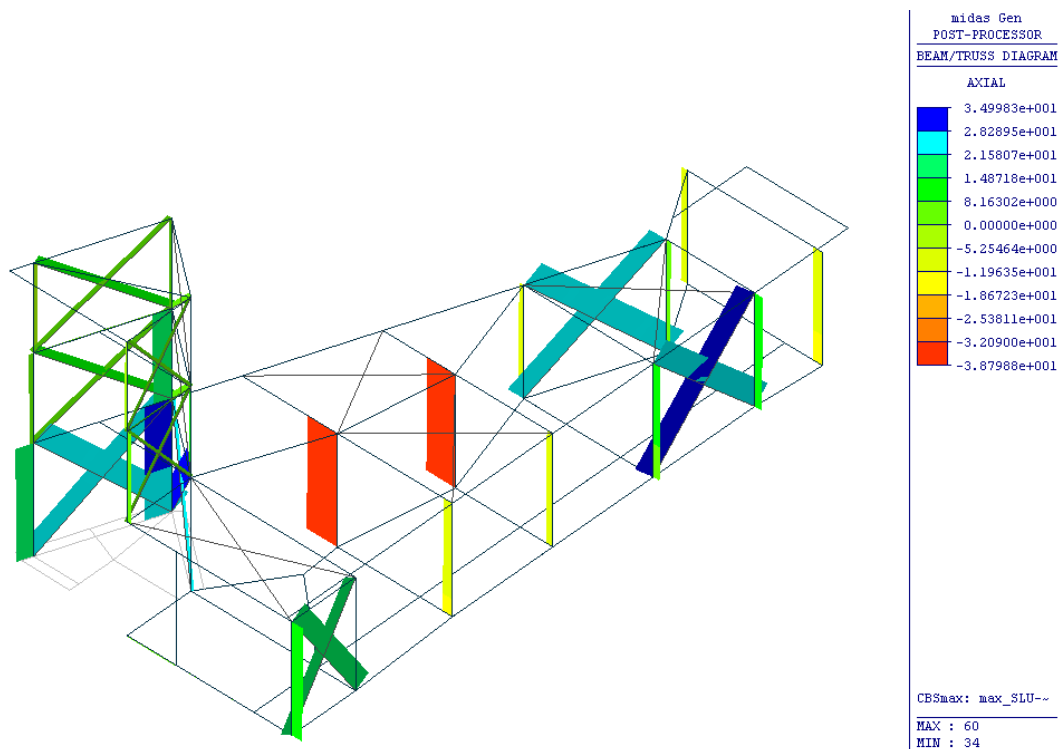
## 8.2 MODELLO FEM

Per la definizione delle massime sollecitazioni sulle strutture sia dal p.to di vista statico che sismico, è stato realizzato un elemento FEM.

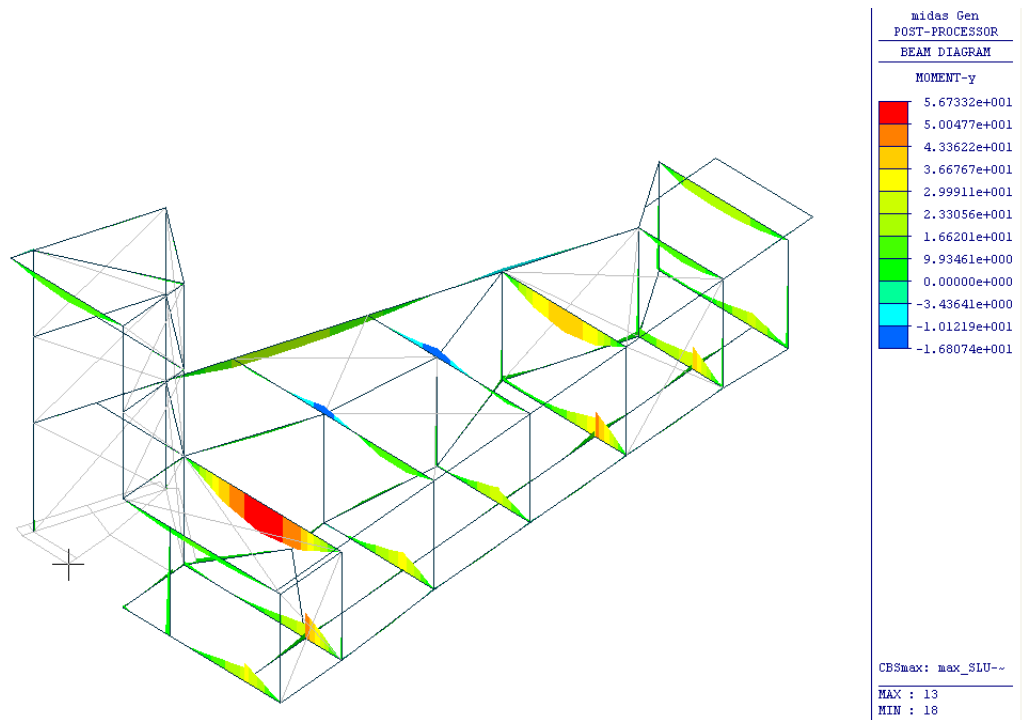
Le colonne (HEA 140, HEA 160 e HEA180) e le travi (IPE200, IPE120) sono state definite come beam, mentre i controventi di piano e di parete sono stati schematizzati come truss.

Si riportano nelle immagini seguenti i diagrammi sollecitanti.

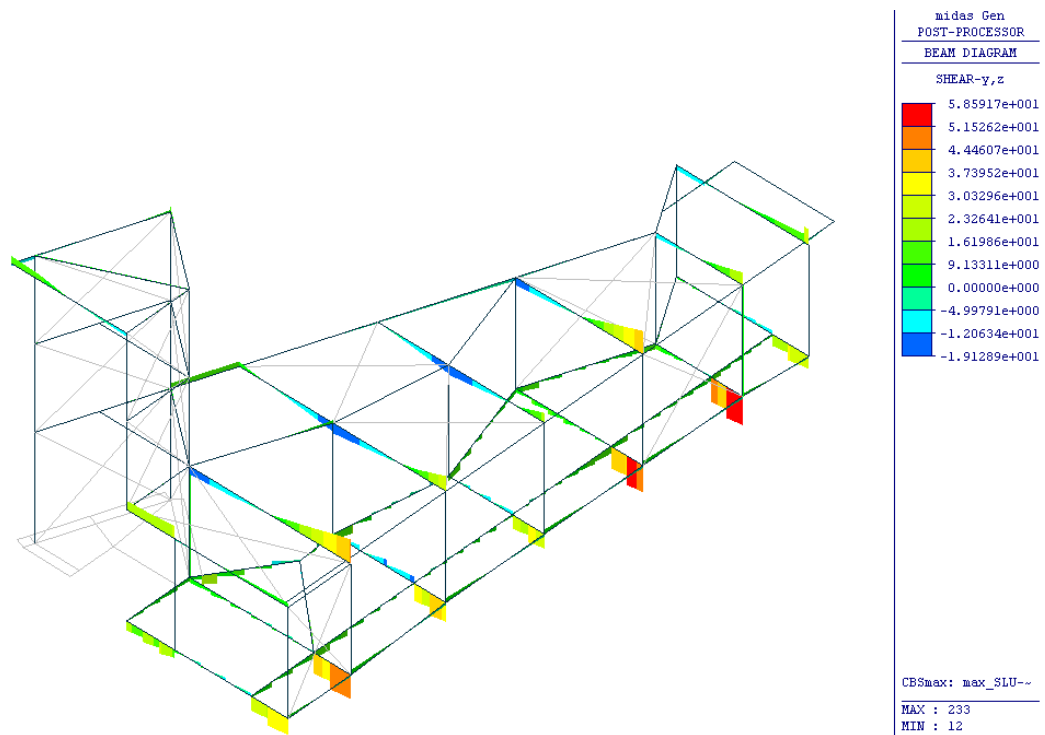
- SFORZI ASSIALI



- SFORZI FLETTENTI



- SFORZI TAGLIANTI



## 8.3 VERIFICHE STRUTTURALI

Si riporta la schermata delle verifiche strutturali per gli elementi in acciaio del programma MIDAS.

Eurocode3:05 Code Checking Result Dialog

Code : Eurocode3:05 Unit : kN , m

Sorted by ☐ Member ☒ Property Change... Update...

Primary Sorting Option ☐ SECT ☒ MEMB

CH K	MEMB COM	SECT SHR	SE L	Section		LCB	Len	Ly	Ky	Bmy	N_Ed	MbEd	MyEd	MzEd	Defa
				Material	Fy		Lb	Lz	Kz	Bmz	N_Rd	Mb_Rd	My_Rd	Mz_Rd	
OK	48	1	<input type="checkbox"/>	HEA160	275000	5	3.34000	3.34000	1.000	1.000	-72.468	-3.7037	-3.7037	-6.4020	0.00385
	0.374	0.010		S275			3.34000	3.34000	1.000	1.000	597.005	0.00000	67.6500	32.0117	0.00883
OK	78	2	<input type="checkbox"/>	IPE120	275000	5	3.71267	3.71267	1.000	1.000	0.00000	-4.5413	-4.5413	0.00000	-0.0007
	0.606	0.023		S275			3.71267	3.71267	1.000	1.000	363.000	7.48817	16.7200	3.69111	0.01123
OK	13	5	<input type="checkbox"/>	IPE200	275000	1	4.88011	4.88011	0.650	1.000	0.00000	56.7333	56.7333	0.00000	-0.0094
	0.938	0.193		S275			0.00000	4.88011	0.650	1.000	783.750	0.00000	60.5000	12.0620	0.01952
OK	34	7	<input type="checkbox"/>	HEA140	275000	1	3.34000	3.34000	2.000	1.000	-100.51	0.16102	0.16102	-0.0285	0.00016
	0.697	0.005		S275			3.34000	3.34000	2.000	1.000	145.171	0.00000	47.6850	23.1487	0.00883
OK	41	12	<input type="checkbox"/>	HEA100	275000	5	2.65000	5.30000	1.000	1.000	-18.617	-1.0621	-1.0621	-0.0520	0.00664
	0.152	0.003		S275			2.65000	2.65000	1.000	1.000	198.735	0.00000	22.8250	11.1375	0.00883
OK	64	13	<input type="checkbox"/>	HEA180	275000	9	3.34000	3.34000	1.000	1.000	-49.231	-3.0732	-3.0732	-2.4229	0.00612
	0.959	0.011		S275			8.64000	8.64000	2.000	1.000	57.8018	0.00000	89.1000	42.6987	0.00883

☐ Connect Model View View Result Ratio...

Select All Unselect All Re-calculation <<

Graphic... Detail... Summary... Close

Result View Option ☒ All ☐ OK ☐ NG

Summary by LCB... Copy Table

Come si può notare dalla finestra di dialogo sopra riportata, i valori resistenti sono sempre maggiori di quelli sollecitanti e pertanto le verifiche sono tutte soddisfatte.

Le verifiche automatiche del programma di calcolo condotte sui profili dei controventi L50x50x5mm riportano un valore di snellezza che non soddisfa il requisito di resistenza per compressione. Il profilo infatti è progettato per resistere alla massima trazione, e lo sbandamento non è preso in considerazione per la funzione resistente assegnata, il collegamento invece viene dimensionato per la sollecitazione massima.

La massima sollecitazione di trazione sui controventi è pari a 35 kN.

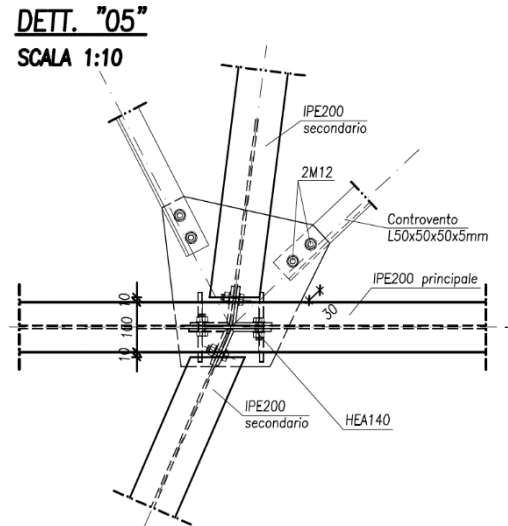
Il carico massimo resistente del profilo è pari a  $N_{Rd} = (275/1.05) \cdot 480 = 126$  kN e la verifica pertanto è soddisfatta.

### 8.3.1 COLLEGAMENTO TRAVI IPE 200 SECONDARIE

Come mostra l'immagine seguente, le travi IPE200 secondarie, (cioè quelle disposte parallelamente all'orditura delle lamiere grecate) sono fissate alle IPE 200 principali mediante squadrette e bulloni.

Lo schema statico assunto per tale elemento è quello di trave incernierata alle estremità. Il Taglio massimo sollecitante è pari a 10 kN.

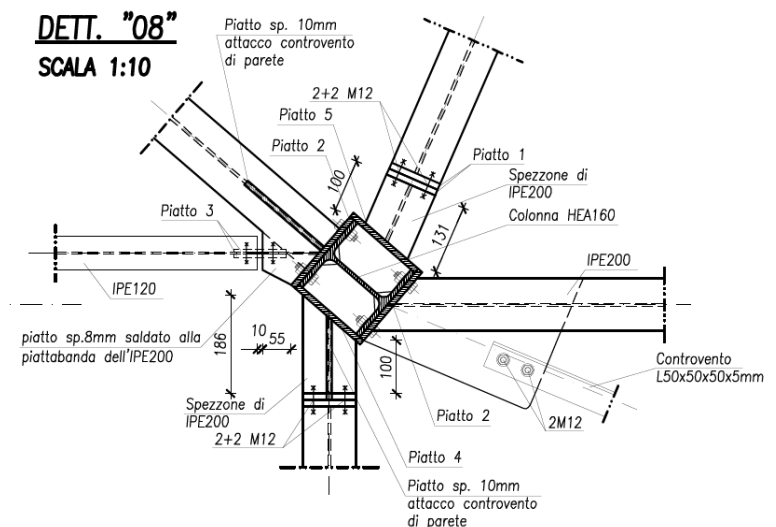
La resistenza a taglio di un bullone M12, per piano di taglio è pari a 24 kN, e pertanto il collegamento sul profilo, fissato con due bulloni in anima e con due piani di taglio, è verificato.



### 8.3.2 COLLEGAMENTO TRAVI IPE 200 PRINCIPALI

Come mostra l'immagine seguente (tipo b), le travi IPE200 principali sono collegate alle colonne mediante le seguenti tipologie:

- a) in testa alla colonne HEA 140
- b) collegamenti imbullonati flangiati
- c) giunto in anima a squadrette



Lo schema statico assunto per tale elemento è quello di trave incernierata alle estremità. Il Taglio massimo sollecitante è pari a -39 kN.

Si riporta di seguito la verifica del collegamento bullonato flangiato:

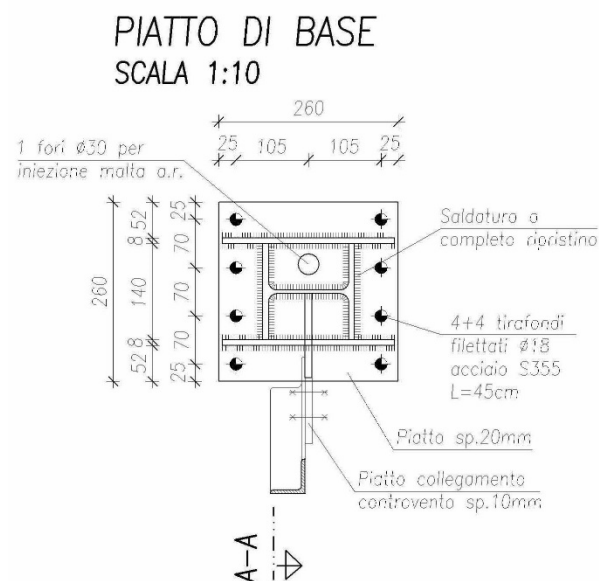
Bullone	A (mm <sup>2</sup> )	Xi (mm)	Yi (mm)	d <sub>gi</sub> (mm)	flessione risp asse x		flessione risp asse y		torsione		Verifica 1	Verifica 2
					Ja (mm <sup>4</sup> )	W (mm <sup>3</sup> )	Ja (mm <sup>4</sup> )	W (mm <sup>3</sup> )	Ja (mm <sup>2</sup> )	W (mm)		
1	84	25	300	301	8.E+06	5.E+04	5.E+04	1.E+05	9.E+04	7.E+02	0.55 ok	0.27 ok
2	84	135	300	329	8.E+06	5.E+04	2.E+06	2.E+04	1.E+05	7.E+02	0.55 ok	0.27 ok
3	84	25	30	39	8.E+04	5.E+05	5.E+04	1.E+05	2.E+03	6.E+03	0.38 ok	0.03 ok
4	84	135	30	138	8.E+04	5.E+05	2.E+06	2.E+04	2.E+04	2.E+03	0.38 ok	0.03 ok

### 8.3.3 VERIFICA DEL NODO DI BASE DELLA COLONNA HEA 140

Il nodo di base della colonna rappresenta un incastro in entrambe le direzioni principali. Questo nodo è realizzato con una piastra di base 26x26cm fissata alla fondazione con 8 tirafondi  $\Phi 18$ . Il dimensionamento del nodo viene svolto nel rispetto della gerarchia delle resistenze così come indicato al §7.5.4.6 delle NTC08, il momento resistente plastico del collegamento deve rispettare la seguente disuguaglianza:

$$M_{C,Rd} \geq 1.1 \cdot \gamma_{Rd} \cdot M_{c,pl,Rd}(N_{Ed})$$

Dove  $M_{c,pl,Rd}$  è il momento resistente plastico di progetto della colonna, calcolato per lo sforzo normale di progetto  $N_{Ed}$ . Il coefficiente  $\gamma_{Rd}$  dipende dal tipo di acciaio ed è pari a 1.10.



Il momento resistente della colonna nelle due direzioni principali è stato calcolato tenendo conto di uno sforzo normale nullo.

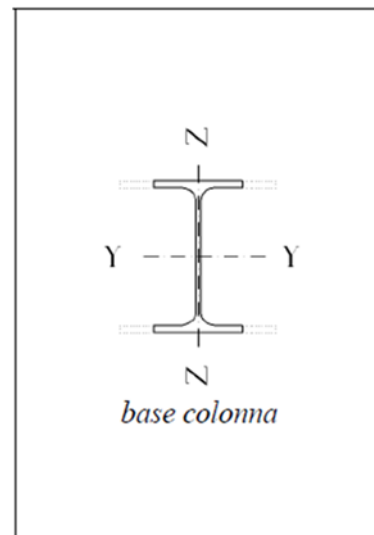
**COLONNA NORMALE "PROFILO HEA 140"**

Larghezza	140 [mm]
Altezza	133 [mm]
Area	3140 [mm <sup>2</sup> ]
Momento d'inerzia	Jy-y 1033 [cm <sup>4</sup> ]
Momento d'inerzia	Jz-z 389 [cm <sup>4</sup> ]

Moduli resistenti elastici		
Modulo resistente $W_{el,y-y} = J_{y-y}/z_{max}$	$W_{el,y-y}$	155.34 [cm <sup>3</sup> ]
Modulo resistente $W_{el,z-z} = J_{z-z}/y_{max}$	$W_{el,z-z}$	55.57 [cm <sup>3</sup> ]
Moduli resistenti plastici		
$b_{y-y}$		1.14
Modulo resistente $W_{pl,y-y} = b_{y-y} * W_{el,y-y}$	$W_{pl,y-y}$	177.09 [cm <sup>3</sup> ]
$b_{z-z}$		1.50
Modulo resistente $W_{pl,z-z} = b_{z-z} * W_{el,z-z}$	$W_{pl,z-z}$	83.36 [cm <sup>3</sup> ]

Momenti resistenti plastici	
$M_{el,y-y} = W_{el,y-y} * (f_{yk}/g_{M0}) =$	40.68 [kNm]
$M_{el,z-z} = W_{el,z-z} * (f_{yk}/g_{M0}) =$	14.55 [kNm]
$M_{pl,y-y} = W_{pl,y-y} * (f_{yk}/g_{M0}) =$	46.38 [kNm]
$M_{pl,z-z} = W_{pl,z-z} * (f_{yk}/g_{M0}) =$	21.83 [kNm]

Minimo momento resistente del collegamento	
inflexioni attorno all'asse y-y	
$1,1 * g_{Rd} * M_{pl,Rd,y-y}$	59 [kNm]
inflexioni attorno all'asse z-z	
$1,1 * g_{Rd} * M_{pl,Rd,z-z}$	28 [kNm]

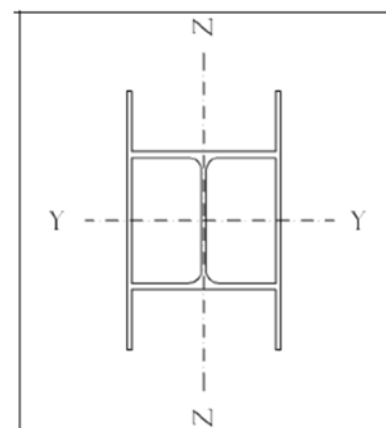


**CARATTERISTICHE GEOMETRICHE DELL'IRRIDIMENTO ALLA BASE**

Larghezza	156 [mm]
Altezza	250 [mm]
Area	7780 [mm <sup>2</sup> ]
Momento d'inerzia	3116 [cm <sup>4</sup> ]
Momento d'inerzia	2582 [cm <sup>4</sup> ]

Moduli resistenti	
Modulo resistente $W_{y-y} = J_{y-y}/z_{max}$	249.28 [cm <sup>3</sup> ]
Modulo resistente $W_{z-z} = J_{z-z}/y_{max}$	331.03 [cm <sup>3</sup> ]

Momenti resistenti	
$M_{el,y-y} = W_{y-y} * (f_{yk}/g_{M0}) =$	65.29 [kNm]
$M_{el,z-z} = W_{z-z} * (f_{yk}/g_{M0}) =$	86.70 [kNm]



Di seguito si riporta il calcolo del momento resistente nelle due direzioni:

Verifica C.A. S.L.U. - File: Tirafondi\_Rev05

File Materiali Opzioni Visualizza Progetto Sez. Rett. Sismica Normativa: NTC 2008 ?

Titolo: \_\_\_\_\_

N° Vertici: 4 Zoom N° barre: 8 Zoom

N°	x [cm]	y [cm]
1	13	13
2	13	-13
3	-13	-13
4	-13	13

N°	As [cm²]	x [cm]	y [cm]
2	1.92	-4	11.5
3	1.92	4	11.5
4	1.92	11.5	11.5
5	1.92	-11.5	-11.5
6	1.92	-4	-11.5
7	1.92	4	-11.5

Tipologia Sezione:  
☐ Rettan.re ☐ Trapezi  
☐ a T ☐ Circolare  
☐ Rettangoli ☒ Coord.

Metodo di calcolo:  
☒ S.L.U. + ☐ S.L.U. -  
☐ Metodo n

Tipologia flessione:  
☒ Retta ☐ Deviata

Calcola MRd Dominio M-N L<sub>0</sub> 0 cm Col. modello

Precompresso ☐

Sollecitazioni S.L.U. Metodo n

N<sub>Ed</sub> 0 kN  
 M<sub>xEd</sub> 0 kNm  
 M<sub>yEd</sub> 0 kNm

P.to applicazione N:  
☒ Centro ☐ Baricentro cls  
☐ Coord.[cm] xN 0 yN 0

Tipologia rottura:  
 Lato calcestruzzo - Acciaio snervato

Materiali: S355 C28/35

ε<sub>su</sub> 67.5 ‰ ε<sub>c2</sub> 2 ‰  
 f<sub>yd</sub> 338 N/mm² ε<sub>cu</sub> 3.5 ‰  
 E<sub>s</sub> 200'000 N/mm² f<sub>cd</sub> 15.87  
 E<sub>s</sub>/E<sub>c</sub> 15 f<sub>cc</sub>/f<sub>cd</sub> 0.8  
 ε<sub>syd</sub> 1.69 ‰ σ<sub>c,adm</sub> 11  
 σ<sub>s,adm</sub> 0 N/mm² τ<sub>co</sub> 0.6667  
 τ<sub>c1</sub> 1.971

M<sub>xRd</sub> 60.12 kNm  
 M<sub>yRd</sub> 0 kNm  
 σ<sub>c</sub> -15.87 N/mm²  
 σ<sub>s</sub> 338 N/mm²  
 ε<sub>c</sub> 3.5 ‰  
 ε<sub>s</sub> 34.17 ‰  
 d 24.5 cm  
 x 2.277 x/d 0.09292  
 δ 0.7

Verifica C.A. S.L.U. - File: Tirafondi\_Rev05

File Materiali Opzioni Visualizza Progetto Sez. Rett. Sismica Normativa: NTC 2008 ?

Titolo: \_\_\_\_\_

N° Vertici: 4 Zoom N° barre: 8 Zoom

N°	x [cm]	y [cm]
1	13	13
2	13	-13
3	-13	-13
4	-13	13

N°	As [cm²]	x [cm]	y [cm]
2	1.92	-4	11.5
3	1.92	4	11.5
4	1.92	11.5	11.5
5	1.92	-11.5	-11.5
6	1.92	-4	-11.5
7	1.92	4	-11.5

Tipologia Sezione:  
☐ Rettan.re ☐ Trapezi  
☐ a T ☐ Circolare  
☐ Rettangoli ☒ Coord.

Metodo di calcolo:  
☒ S.L.U. + ☐ S.L.U. -  
☐ Metodo n

Tipologia flessione:  
☒ Retta ☐ Deviata

Calcola MRd Dominio Mx-My

Precompresso ☐

Sollecitazioni S.L.U. Metodo n

N<sub>Ed</sub> 0 kN  
 M<sub>xEd</sub> 0 kNm  
 M<sub>yEd</sub> 0 kNm

P.to applicazione N:  
☒ Centro ☐ Baricentro cls  
☐ Coord.[cm] xN 0 yN 0

Tipologia rottura:  
 Lato calcestruzzo - Acciaio snervato

Materiali: S355 C28/35

ε<sub>su</sub> 67.5 ‰ ε<sub>c2</sub> 2 ‰  
 f<sub>yd</sub> 338 N/mm² ε<sub>cu</sub> 3.5 ‰  
 E<sub>s</sub> 200'000 N/mm² f<sub>cd</sub> 15.87  
 E<sub>s</sub>/E<sub>c</sub> 15 f<sub>cc</sub>/f<sub>cd</sub> 0.8  
 ε<sub>syd</sub> 1.69 ‰ σ<sub>c,adm</sub> 11  
 σ<sub>s,adm</sub> 0 N/mm² τ<sub>co</sub> 0.6667  
 τ<sub>c1</sub> 1.971

M<sub>xRd</sub> 0 kNm  
 M<sub>yRd</sub> 53.47 kNm  
 σ<sub>c</sub> -15.87 N/mm²  
 σ<sub>s</sub> 338 N/mm²  
 ε<sub>c</sub> 3.5 ‰  
 ε<sub>s</sub> 9.338 ‰  
 d 24.5 cm  
 x 6.68 x/d 0.2726  
 δ 0.7808

#### VERIFICA DEL COLLEGAMENTO COLONNA-FONDAZIONE

MC,Rd y-y > 1,1*g Rd*Mc,pl,Rd y-y (NEd)	60.1 kN m	>	58.7 kN m	OK
MC,Rd z-z > 1,1*g Rd*Mc,pl,Rd z-z (NEd)	53.5 kN m	>	27.6 kN m	OK

#### VERIFICA DEL COLLEGAMENTO COLONNA-PIASTRA DI BASE

MC,Rd y-y > 1,1*g Rd*Mc,pl,Rd y-y (NEd)	65.3 kN m	>	58.7 kN m	OK
MC,Rd z-z > 1,1*g Rd*Mc,pl,Rd z-z (NEd)	86.7 kN m	>	27.6 kN m	OK



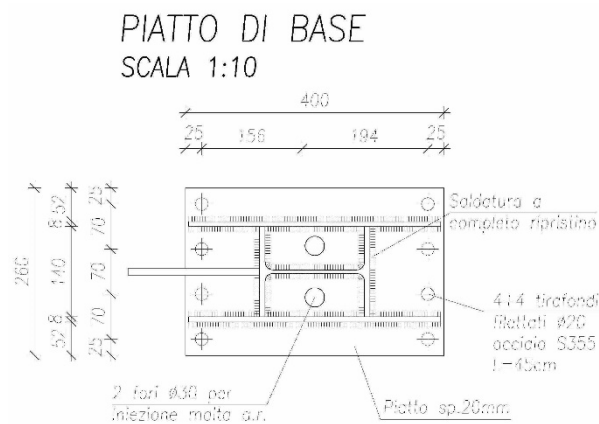
---

### 8.3.4 VERIFICA DEL NODO DI BASE DELLA COLONNA HEA 180

Il nodo di base della colonna rappresenta un incastro in entrambe le direzioni principali. Questo nodo è realizzato con una piastra di base 40x26cm fissata alla fondazione con 8 tirafondi  $\Phi 20$ . Il dimensionamento del nodo viene svolto nel rispetto della gerarchia delle resistenze così come indicato al §7.5.4.6 delle NTC08, il momento resistente plastico del collegamento deve rispettare la seguente disuguaglianza:

$$M_{C,Rd} \geq 1.1 \cdot \gamma_{Rd} \cdot M_{c,pl,Rd}(N_{Ed})$$

Dove  $M_{c,pl,Rd}$  è il momento resistente plastico di progetto della colonna, calcolato per lo sforzo normale di progetto  $N_{Ed}$ . Il coefficiente  $\gamma_{Rd}$  dipende dal tipo di acciaio ed è pari a 1.10.



Il momento resistente della colonna nelle due direzioni principali è stato calcolato tenendo conto di uno sforzo normale nullo.

**COLONNA NORMALE "PROFILO HEA 180"**

Larghezza	180 [mm]
Altezza	171 [mm]
Area	4530 [mm <sup>2</sup> ]
Momento d'inerzia	Jy-y 2510 [cm <sup>4</sup> ]
Momento d'inerzia	Jz-z 925 [cm <sup>4</sup> ]

<b>Moduli resistenti elastici</b>		
Modulo resistente W el,y-y=J y-y/zmax	W el,y-y	293.57 [cm <sup>3</sup> ]
Modulo resistente W el,z-z=Jz-z/ymax	W el,y-y	102.78 [cm <sup>3</sup> ]
Moduli resistenti plastici		
b y-y		1.14
Modulo resistente W pl,y-y=b y-y * Wel,y-y	W pl,y-y	334.67 [cm <sup>3</sup> ]
b z-z		1.50
Modulo resistente W pl,z-z=b z-z * Wel,z-z	W pl,z-z	154.17 [cm <sup>3</sup> ]

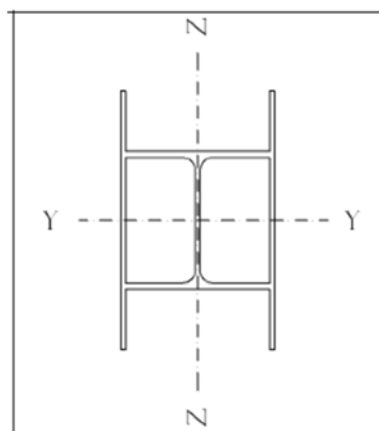
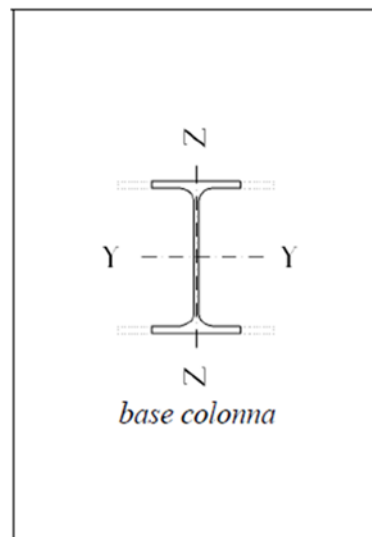
<b>Momenti resistenti</b>	
Mel y-y=W el,y-y*(fyk/g M0)=	76.89 [kNm]
Mel z-z=W el,z-z*(fyk/g M0)=	26.92 [kNm]
Mpl y-y=W pl,y-y*(fyk/g M0)=	87.65 [kNm]
Mpl z-z=W pl,z-z*(fyk/g M0)=	40.38 [kNm]

<b>Minimo momento resistente del collegamento</b>	
inflexioni attorno all'asse y-y	
1,1*gRd*Mpl,Rd y-y	111 [kNm]
inflexioni attorno all'asse z-z	
1,1*gRd*Mpl,Rd z-z	51 [kNm]

<b>CARATTERISTICHE GEOMETRICHE DELL'IRRIDIMENTO ALLA BASE</b>	
Larghezza	196 [mm]
Altezza	400 [mm]
Area	10925 [mm <sup>2</sup> ]
Momento d'inerzia	11043 [cm <sup>4</sup> ]
Momento d'inerzia	6583 [cm <sup>4</sup> ]

<b>Moduli resistenti</b>	
Modulo resistente W y-y=J y-y/zmax	552.15 [cm <sup>3</sup> ]
Modulo resistente W z-z=Jz-z/ymax	671.73 [cm <sup>3</sup> ]

<b>Momenti resistenti</b>	
Mel y-y=W y-y*(fyk/g M0)=	144.61 [kNm]
Mel z-z=W z-z*(fyk/g M0)=	175.93 [kNm]



Di seguito si riporta il calcolo del momento resistente nelle due direzioni:

Verifica C.A. S.L.U. - File: Tirafondi\_Rev05\_N

File Materiali Opzioni Visualizza Progetto Sez. Rett. Sismica Normativa: NTC 2008 ?

Titolo :

N° Vertici 4 Zoom N° barre 12 Zoom

N°	x [cm]	y [cm]
1	13	20
2	13	-20
3	-13	-20
4	-13	20

N°	As [cm²]	x [cm]	y [cm]
1	2.5	-11.5	17.5
2	2.45	-5	17.5
3	2.45	5	17.5
4	2.45	11.5	17.5
5	2.45	-11.5	-17.5
6	2.45	-5	-17.5

Sollecitazioni S.L.U. Metodo n

N<sub>Ed</sub> 24 0 kN  
M<sub>Ed</sub> 0 0 kNm  
M<sub>yEd</sub> 0 0

Materiali S355 C28/35

$\epsilon_{su}$  67.5 ‰  $\epsilon_{c2}$  2 ‰  
 $f_{yd}$  338 N/mm²  $\epsilon_{cu}$  3.5  
 $E_s$  210'000 N/mm²  $f_{cd}$  15.87  
 $E_s/E_c$  15  $f_{cc}/f_{cd}$  0.8  
 $\epsilon_{syd}$  1.61 ‰  $\sigma_{c,adm}$  11  
 $\sigma_{s,adm}$  0 N/mm²  $\tau_{co}$  0.6667  
 $\tau_{c1}$  1.971

P.to applicazione N Centro Baricentro cls  
Coord. [cm] xN 0 yN 0

Tipo rottura Lato calcestruzzo - Acciaio snervato

M<sub>xRd</sub> 121.3 kN m  
M<sub>yRd</sub> -0.1355 kN m  
 $\sigma_c$  -15.87 N/mm²  
 $\sigma_s$  338 N/mm²  
 $\epsilon_c$  3.5 ‰  
 $\epsilon_s$  32.17 ‰  
d 37.5 cm  
x 3.68 x/d 0.09812  
 $\delta$  0.7

Tipo Sezione Rettan.re Trapezi  
a T Circolare  
Rettangoli Coord.

Metodo di calcolo S.L.U. + S.L.U.  
Metodo n

Tipo flessione Retta Deviata

N° rett. 100

Calcola MRd Dominio Mx-My

angolo asse neutro  $\theta^\circ$  0

Precompresso

Verifica C.A. S.L.U. - File: Tirafondi\_Rev05\_N

File Materiali Opzioni Visualizza Progetto Sez. Rett. Sismica Normativa: NTC 2008 ?

Titolo :

N° Vertici 4 Zoom N° barre 12 Zoom

N°	x [cm]	y [cm]
1	13	20
2	13	-20
3	-13	-20
4	-13	20

N°	As [cm²]	x [cm]	y [cm]
1	2.5	-11.5	17.5
2	2.45	-5	17.5
3	2.45	5	17.5
4	2.45	11.5	17.5
5	2.45	-11.5	-17.5
6	2.45	-5	-17.5

Sollecitazioni S.L.U. Metodo n

N<sub>Ed</sub> 24 0 kN  
M<sub>Ed</sub> 0 0 kNm  
M<sub>yEd</sub> 0 0

Materiali S355 C28/35

$\epsilon_{su}$  67.5 ‰  $\epsilon_{c2}$  2 ‰  
 $f_{yd}$  338 N/mm²  $\epsilon_{cu}$  3.5  
 $E_s$  210'000 N/mm²  $f_{cd}$  15.87  
 $E_s/E_c$  15  $f_{cc}/f_{cd}$  0.8  
 $\epsilon_{syd}$  1.61 ‰  $\sigma_{c,adm}$  11  
 $\sigma_{s,adm}$  0 N/mm²  $\tau_{co}$  0.6667  
 $\tau_{c1}$  1.971

P.to applicazione N Centro Baricentro cls  
Coord. [cm] xN 0 yN 0

Tipo rottura Lato calcestruzzo - Acciaio snervato

M<sub>xRd</sub> -0.2957 kN m  
M<sub>yRd</sub> 73.14 kN m  
 $\sigma_c$  -15.87 N/mm²  
 $\sigma_s$  338 N/mm²  
 $\epsilon_c$  3.5 ‰  
 $\epsilon_s$  10.74 ‰  
d 24.5 cm  
x 6.022 x/d 0.2458  
 $\delta$  0.7473

Tipo Sezione Rettan.re Trapezi  
a T Circolare  
Rettangoli Coord.

Metodo di calcolo S.L.U. + S.L.U.  
Metodo n

Tipo flessione Retta Deviata

N° rett. 100

Calcola MRd Dominio Mx-My

angolo asse neutro  $\theta^\circ$  -90

Precompresso

#### VERIFICA DEL COLLEGAMENTO COLONNA-FONDAZIONE

MC,Rd y-y > 1,1*g Rd*Mc,pl,Rd y-y (NEd)	121 kN m	>	111 kN m	OK
MC,Rd z-z > 1,1*g Rd*Mc,pl,Rd z-z (NEd)	73 kN m	>	51 kN m	OK

#### VERIFICA DEL COLLEGAMENTO COLONNA-PIASTRA DI BASE

MC,Rd y-y > 1,1*g Rd*Mc,pl,Rd y-y (NEd)	145 kN m	>	111 kN m	OK
MC,Rd z-z > 1,1*g Rd*Mc,pl,Rd z-z (NEd)	176 kN m	>	51 kN m	OK